

554
2-83



E. N. XUDAYBERDIYEV, K.R. NASRIDDINOV,
L.Q. SAMANDAROV

UMUMIY FIZIKA
(ATOM, YADRO VA ELEMENTAR
ZARRALAR FIZIKASI) DAN
LABORATORIYA ISHLARI

551
R-83

O'ZBEKISTON RESPUBLIKASI
OLIV VA O'RTA MAXSUS TALIM VAZRUGI

TOSHKENT VILOYATI
CHIRCHIQ DAVLAT PEDAGOGIKA INSTITUTI

E. N. XUDAYBERDIYEV, K.R.NASRIDINOV,
L. Q. SAMANDAROV

UMUMIY FIZIKA (ATOM, YADRO VA
ELEMENTAR ZARRALAR
FIZIKASI) DAN LABORATORIYA
ISHHLARI

O'QUV QO'LLANMA

- 13701/23 -

O'ZBEKISTON RESPUBLIKASI OLIV VA O'RTA
MAXSUS TALIM VAZRUGI CHIRCHIQ DAVLAT
PEDAGOGIKA UNIVERSITETI

AXBOROT RESURS MARKAZI

«MALIK PRINT CO»
TOSHKENT-2022

UO'K: 551.510.3
KBK: 22.3ya73

Mundarija

SO'Z BOSHLI	5
Fizik kattaliklarni o'chashdagi xatoliklar va ularning turlari	7
№ 1 Laboratoriya ishi: Stefan –Bolsman qonuni: Absolyut qora jism nurlanish intensivligining haroratga bog'liqligini o'chash	13
№ 2 Laboratoriya ishi: Plank doimiyisini aniqlash	20
№ 3 Laboratoriya ishi: Ravshanlik pirometri yordamida nurlanayotgan jismlarning haqiqiy temperaturasini aniqlash	23
№ 4 Laboratoriya ishi: Elektronning chiqish ishlini aniqlash	32
№ 5 Laboratoriya ishi: Tashqi fotoeffekt hodisasini o'rganish	38
№ 6 Laboratoriya ishi: Tashqi fotoeffekt va Kompton effektiغا doir kompyuter eksperimentlari	45
№ 7 Laboratoriya ishi: Yadroning planetar modeliga doir kompyuter eksperimenti	54
№ 8 Laboratoriya ishi: Atomlarning spektrlariga doir kompyuter eksperimenti	61
№ 9 Laboratoriya ishi: Frank-Gers tajibasini o'rganish (atomlarning uyg'onish potensialini aniqlash)	69
№ 10 Laboratoriya ishi: Frank-Gers tajibasiga doir kompyuter eksperimenti	74
№ 11 Laboratoriya ishi: Bir va ikki tirkishli to'siqdan elektronlarning o'tishiga doir kompyuter eksperimenti	77
№ 12 Laboratoriya ishi: Gelyi-neon lazerini o'rganish	85
№ 13 Laboratoriya ishi: Yarim o'tkazgichli lazerni o'rganish	92
№ 14 Laboratoriya ishi: Lazer nurining suyuqlikda yutilish qonuniyatlarini o'rganish	100
№ 15 Laboratoriya ishi: Yadroviy nurlarning suyuqlikda yutilish qonuniyatlarini o'rganish	105
№ 16 Laboratoriya ishi: Radioaktiv nurlarning turli muhitarda yutilish koefitsiyentini virtual tajribada aniqlash	120
№ 17 Laboratoriya ishi: Alfa zarralarning havoda erkin yugurish masofasini virtual tajribada aniqlash	128

O'zbekiston Respublikasi Oliy va o'rta maxsus ta'lif vazirligining 2021 yil 25 dekabrdagi 538 – sonli buyrug'iغا asosan o'quv qo'llamma sifatida nashriga tavsiya etilgan.

№ 18 Laboratoriya ishi: Alfa zarralar energiyasini virtual tajribada

SO'Z BOSHI

aniqlash.....	134
№ 19 Laboratoriya ishi: Radioaktiv plutoniy-238 izotopining yarim yemirilish davrini virtual tajribada aniqlash	137
№ 20 Laboratoriya ishi: Elektromning solishtirma zaryadini magnetron usulida virtual tajribada aniqlash	140
Laboratoriya ishlarni bajarish va hisobot yozish bo'yicha My-test dasturidagi testlar.....	147
Ilovalar.....	158
Adabiyotlar	169
	179

Uzloksiz ta'lim tizimida fizika kursini o'qitishda nazarriy bilimlar bilan birlgilikda amaliy hamda laboratoriya ishlarni bajarish muhim ahamiyatga ega, chunki amaliy va laboratoriya mashg'ulotlari tulabatarning nazariy bitimlari tajriba va hisoblashlar orqali yanada mustahkamlanadi.

Hozirgi kunda umumiy fizika fanining Mexanika, Molekuljar fizika, Elektromagnetizm va Optika bo'limlari bo'yicha ko'plab laboratoriya jihozlari va laboratoriya komplekslari mavjud, lekin Atom, yadro va elementar zarralar fizikasi bo'limi bo'yicha laboratoriya ishlari maxsus tayyorlangan xonalar va maxsus qurilmalar zarur bo'lganligi uchun qoniqarli holatda emas. Xususan, Atom, yadro va elementar zarralar fizikasi bo'limini o'qitishda o'quv dasturlarida laboratoriya ishlari ko'zda tutilganligiga qaramasdan ko'pgina ta'llim massasatlarida ularni bajarish uchun sharoit yo'q. Buni hisobga olgan holda bu bo'lim bo'yicha laboratoriya ishlarni hozirgi kunning imkoniyatlaridan foydalanib, kompyuter texnikasi va multimedya vositalarini qo'llagan holda virtual holatda bajarish mumkin. Shu sababli ham bu bo'limning fan dasturida real laboratoriya ishlari bilan birlgilikda virtual laboratoriya ishlari va kompyuter eksperimentlaridan foydalanish nazarda tutilgan.

Kompyuter yordamida virtual laboratoriya ishlarni bajarish uchun talaba kompyuter dasturlarini chuqur bilmasa-da, undan foydalanish, malaka va ko'nkmalariga ega bo'lishi yetarli. Shu bilan birga laboratoriya ishini bajarishda uslubiy ko'rsatmalarga anal qilinishi, ishning nazariy qismi bilan tanishishi, o'ichov asboblari ishlash prinsipi va eksperimentni o'tkazishda bajariladigan ishlar ketma-ketligini bilishi, hisoblash formulalariga kiradigan fizikaviy kattaliklarning ma'mosini tushunishi, nazorat savollariga javob berishi, ya'ni bajariladigan eksperimentning maqsadini tushunishi lozim. Shunday qilib, kompyuterda virtual laboratoriya ishlarni bajarishda talabalarga qo'yiladigan talablar real fizika laboratoriya ishlarni bajarishga qo'yiladigan talablar bilan deyarli bir xil bo'ladi.

Virtual tajriba ishlarni bajarishning afzalligi shundaki, fanga qiziquvchi talaba yoshlar ma'lum bir tajriba ishini mustaqil bajarib ko'rishi uchun maxsus asbob-uskunalar, jihozlar izlab yurishi shart emas, istalgan holatda, xohlagan vaziyatda kerakli tajriba ishini

bajarishi mumkin bo'ladı, faqat buning uchun kompyuter bo'lsa yetari

bo'ladı. Qolganini nazariv qismdan o'qib, ishni bajarish taribi va olingan natijalarini hisoblash va ularni tahlil qilish bilan batafsil tanishib chiqishning o'zi kifoya.

Ushbu qo'llannada laboratoriya ishlari pedagogika oly ta'lim muassasalari 60110700 - "Fizika va astronomiya" ta'lim yo'naliishi fan dasturidagi ketma-ketligi asosida yoritilgan. Fan dasturida ayrim laboratoriya ishlarining real hamda virtual yoki kompyuter eksperimentlarini ham bajarish ko'zda tutilgan. Bunday hollarda talabalarga avvalo bu ishlarining virtual yoki kompyuter eksperimentini bajarish, keyin esa uning real laboratoriya ishini bajarish tavsija etiladi. Shunda bu ishlarining mazmun-mohiyati ~~kalabalar~~ tomonidan yaxshii o'zlashtirilishi ta'minlanadi. Qo'llanna oxirida laboratoriya ishlarini bajarish uchun zarur nazariv bilimlarni mustahkamlash maqsadida test savollari MyTest dasturida kiritilgan. Bundan tashqari ayrim virtual laboratoriya ishlari dasturida shu ishga mos test topshiriqlarini bajarish ham ko'zda tutilgan.

O'quv qo'llannaga kiritilgan barcha virtual laboratoriya ishlarining dasturiy ta'minoti, qo'llannadan foydalanuvchilarga elektron variantda latifbeksamandarov@mail.ru elektron pochta orqali taqdim etiladi.

Mualliflar ushu qo'llanna bo'yicha barcha taklif va mulohazzalarni minnatdorchilik bilan qabul qiladilar.

qo'yildi.

Ba'zi bir fizikaviy kattaliklar qiymatini jadvaldan olganda (zichlik,

solishtirma issiqlik sig'imi, elastiklik modullari va boshq.), ularni yaxlitlaganda, shuningdek, formulaga kiruvchi ba'zi doimiylar (π , e – natural logarifmning asosi, g – erkin tushish tezlanishi va boshq.) ning taqrifiy qiyamatlarini olganda sistematiq xatolikka yo'l qo'yildi. Masalan, $\pi = 3,14159265$ deb olish o'miga $\pi = 3; \pi = 3,1; \pi = 3,142$ deb, suvning sindirish ko'rsatkichi uchun $n = 1,333$ deb olish o'miga $n = 1,3; n = 1,33$ deb olsak ham biz har safar sistematiq xatolikka yo'l qo'yigan bo'lamiz. Sistematiq xatoliklar aniq sabablar tufayli yuz berib, uning kattaligi takroriy o'chashlarda o'zgarmay qolishi yoki muayyan qonun bo'yicha o'zgarishi mumkin. O'chash metodini o'zgartirib, asbobning ko'rsatishlariga tuzatishlar kiritib, sistemali ravishda ta'sir qiluvchi tashqi omillarni hisobga olish bilan bu xatolikni kamaytirish mumkin.

2. **Tasodifli xatolik** – oldindan hisobga olinishi qiyin bo'lgan va har bir o'chashga ta'siri har xil bo'gan tasodify sabablarga ko'ra yuz beradigan xatoliklardir. Masalan, elektr o'chashlarda elektr tarmoqdagi kuchlanishning o'zgarishi, plastinka qalinligini

Fizik kattaliklarni o'chashdagi xatoliklar va ularning turlari

Laboratoriya tajribalaridagi har qanday o'chashlar hamma vaqt qandaydir xatolik bilan bajariladi. Bu xatoliklar shartli ravishda sistematiq, qo'pol va tasodify xatoliklarga ajratiladi.

1. Sistematiq xatolik

– hamma vaqt mayjud bo'ladigan xatolikdir. Asbobning noto'g'ri o'matilishidan (asbobning o'chash aniqligiga bog'liq bo'lgan xatolik) va o'chash usulining noto'g'ri tanlanishidan kelib chiqadigan xatoliklar sistematiq xatoliklardir.

Bu xatoliklar ba'zi tashqi omillar ta'sirida, masalan, chizg'ich shkalasining notekis darajalanishi, termometr nolining haqiqiy noharatiga mos kelmasligi, termometr kapillyari kesim yuzining kapillyar bo'yicha bir xil bo'lmasligi, ampermetrdan elektr tok o'imagan vaqtda uning streklasining shkala noliga mos kelmasligi va boshqalar tufayli ham paydo bo'ladı. Suyuqlik va gazning hajmini o'chashda harorat o'zgarishi sababli ularning hajmi kengayishini, massasini o'chaganda o'chanayotgan jismga, tarzozi toshlariga havo tomonidan itarib chiqarish kuchi ta'sir qilishini va kalorimetrik o'chashlarda asbobning tashqi muhit bilan issiqlik almashinishini hisobga olmaslik tufayli sistematiq xatolikka yo'l qo'yildi.

o'chaganda qalnlikning hamma joyda bir xil bo'lmasi, o'chashlarda asbob shkalasining yetaricha yoritilmasi, asboblarning stol ustida yaxshi joylashtirilmasligi, sezgi organlarimizning tabiy notakomilligi oqibatida tasodifly xatolikka yo'q yamiz. Bu xatoliklar tufayli bior fizikaviy kattalikni bir necha marta o'chaganda har xil qiymat olinadi.

Ayrim o'chashdagi tasodifly xatolikni yo'qotib bo'lmasada, tasodifly hodisalar to'g'risidagi matematik nazarriyadan foydalaniib, bu xatolikning o'chash natijasiga ta'sirini kamaytirish va xatolik kattaligini hisoblash uchun ma'qulroq bo'lgan ifodani aniqlash mumkin. Tasodifly xatolikni kamaytirish uchun aniqlanayotgan fizikaviy kattalikni bir marta emas, bir necha marta takroriy o'chash kerak. Agar tasodifly xatolik sistematik xatolikdan katta bo'lsa, tasodifly xatolikni kamaytirish va uning asbob xatoligi bilan bir xil darajada bo'lishi uchun o'chashlar sonini ortirish lozim.

Sistematik va tasodifly xatoliklardan tashqari yana **qo'pol xatoliklar** ham bo'ladi. Qo'pol xatolik kuzatish va o'chashlar noto'g'ri bajarilishi tufayli yuz beradi. Hisoblashda bunday natijalar hisobga olimmasligi kerak. Bu xatolik shkala bo'yicha beparvo hisob olishdan, natijalarni pala-partish yozishidan kelib chiqadi. Bunday qo'pol xatolikni yo'qotish uchun yozilganlarni qayta qarab chiqib, o'chashlarni qayta bajarish kerak. Har qanday o'chashda qo'pol xatolikni yo'qotishning birdan-bir yo'li — o'chashni juda puxtalik va e'tibor bilan qayta bajarishdir.

Bevosita o'chash natijalarining xatoligi

Fizik kattaliklarning o'rtacha qiymati, o'chashning mutloq (absolyut) va nisbiy xatoliklari O'chash davomida o'chash asbobi beradigan xatolikdan boshqa har xil sistematik xatoliklar va qo'pol xatoliklar yo'qotilgan deb faraz qilib, bevosita o'chash xatoliklari nazariyasining asosiy qoidalarini qarab chiqamiz. Quyida keltiriladigan xatoliklar nazariyasida tasodifly xatoliklar son qiymat jihatdan sistematik xatoliklardan katta deb faraz qilingan.

Biror fizikaviy kattalikning o'chashlar natijasida topilgan $x_1, x_2, x_3, \dots, x_n$ qiymatlari ichida haqiqiy qiymatga eng yaqini ushbu

$$x = \langle x \rangle = \frac{\sum_{i=1}^n x_i}{n} \quad (1)$$

ifodadan aniqlanadi, bu yerda n — o'chashlar soni, $\langle x \rangle$ — fizik kattalikning o'rtacha qiymati.

1. O'chash vaqtida topilgan qiymatlar bir-biridan farqli bo'lib, ularning o'rtacha qiymatdan farqi ayrim o'chashning *mutloq (absolyut) xatoligi* deyiladi

$$\Delta x = |\langle x \rangle - x_i|.$$

Qaysi o'chashning mutloq xatoligi kichik bo'lsa, shu o'chash aniqroq bajarilgan deb hisoblanadi. O'rtacha qiymatdan katta farq qiluvchi qo'pol xatoliklar xatolikni hisoblash vaqtida tushirib qoldiriladi.

Agar n ta takroriy o'chash natijasida $\Delta x_1, \Delta x_2, \Delta x_3, \dots, \Delta x_n$ mutloq xatoliklar yuz bergan bo'lsa, o'chashlarning o'rtacha mutlaq xatoligi shu xatoliklar mutloq qiymatlarning o'rtacha arifmetik qiyatiga tengdir

$$\langle \Delta x \rangle = \frac{\sum_{i=1}^n \Delta x_i}{n}. \quad (2)$$

Tabiiyki, fizikaviy kattalikning haqiqiy qiymati topilgan o'rtacha qiymatdan $\pm \langle \Delta x \rangle$ qadar farq qiladi, ya'ni $x = \langle x \rangle \pm \langle \Delta x \rangle$.

2. Agar tajriba vaqtida bir qator fizikaviy kattaliklarni o'chash zarur bo'lsa, ularning har biri uchun o'chash xatoligini aniqlash kerak bo'ladi. Biroq har bir kattalikka oid mutloq (absolyut) xatolikni bilganimiz holda kattaliklar bir jinsli bo'lganligi sababli ularni o'zaro solishtirish mumkin emas. Bunday hollarda xatolikning nisbiy qiymati bilan ish ko'rish lozim. Biror kattalikning o'chashlar natijasida topilgan o'rtacha qiymati $\langle x \rangle$, mutloq (absolyut) xatolikning o'rtacha qiymati $\langle \Delta x \rangle$ bo'lsa, nisbiy xatolik $\varepsilon = \frac{\langle \Delta x \rangle}{\langle x \rangle}$ yoki foizlarda ifodalasak,

$$\varepsilon = \frac{\langle \Delta x \rangle}{\langle x \rangle} \cdot 100\%$$

bo'ladi.

O'chashlar soni n yetaricha katta bo'lganda ayrim o'chashlar mutloq (absolyut) xatoligining $\langle \Delta x \rangle$ o'rtacha mutloq (absolyut)

xatolikka ta'siri juda kichik bo'ladi. Shunday sharoit uchun $\langle \Delta x \rangle$ ning taqsimoti quyidagi qonun ko'rnishida ifodalanishi mumkin:

$$y = \frac{1}{\sqrt{2\pi} \sigma_{\langle x \rangle}} e^{-\frac{(\Delta x)^2}{2\sigma_{\langle x \rangle}^2}}, \quad (3)$$

$$\sigma_{\langle x \rangle}^2 = \lim_{n \rightarrow \infty} \frac{\sum_{i=1}^n (\langle x \rangle - x_i)^2}{n(n-1)} \quad \text{bundan,}$$

$$\sigma_{\langle x \rangle} = \lim_{n \rightarrow \infty} \sqrt{\frac{\sum_{i=1}^n (\langle x \rangle - x_i)^2}{n(n-1)}}; \quad (4)$$

$\sigma_{\langle x \rangle}$ -kattalik o'rtacha xatolik yoki o'rtacha arifmetik qiymatning o'rtacha kvadratik xatoligi deb ataladi.

Turli sabablarga ko'ra o'chashlar sonini juda katta qilib ($n \geq 15$) olishning imkoniyati bo'lmaydi. O'chashlar soni chekli bo'lganda ishonch intervalning chegaraviy qiymatini belgilovchi Gosset tomonidan 1908-yilda kiritilgan va Styudent koefitsiyenti deb ataluvchi $t_{\alpha}(n)$ koefitsiyent qo'llanildi. Bu koefitsiyentlar o'chashlar soni va ishonchilik intervali bilan quyidagicha bog'langan

$$t_{\alpha}(n) = \frac{\Delta x}{S_{\langle x \rangle}} \quad (5)$$

bu yerda,

$$S_{\langle x \rangle} = \sqrt{\frac{\sum_{i=1}^n (\langle x \rangle - x_i)^2}{n(n-1)}}, \quad (6)$$

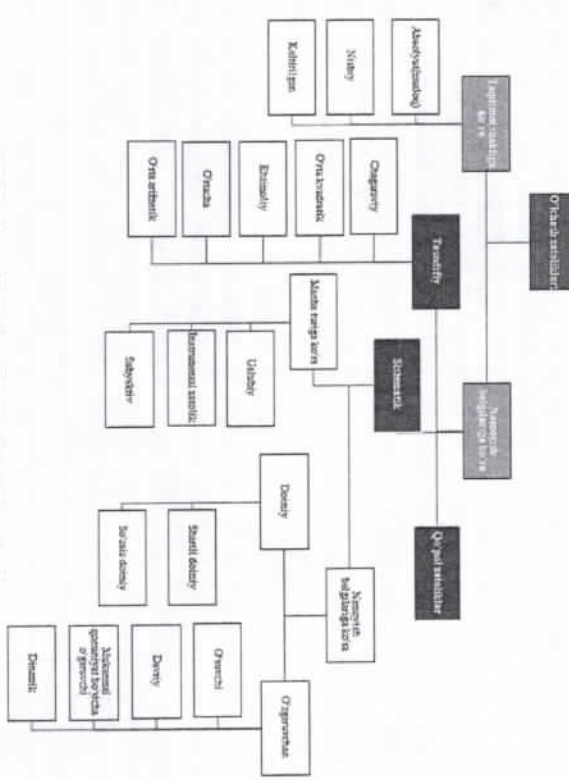
(6) kattalik n ta o'chash uchun o'rtacha kvadratik xatolikdan iborat bo'lib, u taqriban $\sigma_{\langle x \rangle}$ ga teng. (5) va (6) lar asosida o'chashlarning mutloq (absolyut) xatoligi uchun

$$\Delta x = t_{\alpha}(n) S_{\langle x \rangle} = t_{\alpha}(n) \sqrt{\frac{\sum_{i=1}^n (\langle x \rangle - x_i)^2}{n(n-1)}} \quad (7)$$

ifoda kelib chiqadi.

Fizikadan laboratoriya ishlarini bajarishda kuzatiladigan xatoliklar va ularning turlari haqidagi umumlashgan ma'lumotlar quyidagi 1-rasmida sxemada keltirilgan.

Atom va yadro fizikasi bo'yicha laboratoriya ishlarini bajarishda



1-rasm. O'chash xatoliklari va ularning klassifikatsiyasi

tasodifiy jarayonlar bilan ish ko'rildi. Masalan, har biri mustaqil ravishda yemirilayotgan radioaktiv yadrlar to'plami yoki ssintilliyatsion detektor fotoko'pavtingichi katodidan elektronlar hosil bo'lish jarayonlar bunga yaqol misol bo'ladi. Bunday hollarda olingan natijalar matematik statistika usullari yordamida tahlil qilinishi kerak. Faraz qilaylik har bir tushayotgan foton fotokatodda n ta fotoelektron urib chiqarsin. Agar o'chashlar soni N marta takrorlansa va har bir o'chashda n_i elektron urib chiqarilsa o'rtacha urib chiqarilgan elektronlar soni

$$\bar{n} = \frac{1}{N} \sum_{i=1}^N n_i$$

Ifodadan aniqlanadi. Eksperimental natijalarni statistik tahlil qilishning maqsadi olinayotgan natijalar bu o'rtacha qiymat atrofida qanday

taqsimlanishini aniqlashdan iborat. Bu holda ikkita holat mayjud: a) olingan o'rtacha qiymat kichik sondan iborat; b) urib chiqarilgan elektronlar soni ancha katta; Bunda birinchi holda n qiymatni kuzatishning ehitimoli $P(n)$ Puasson taqsimoti bilan ikkinchi holda esa normol yoki Gauss taqsimotiga bo'yisnadi. Qaralayotgan holatlar uchun taqsimot funksiyalarini va grafiklari quyidagi 2-rasmda keltirilgan.

Nº	Kam sonli zarralar statistikasi	Ko'p sonli zarralar statistikasi
1	Taqsimot Puasson taqsimoti $P(n) = \frac{(\bar{n})^n}{n!} e^{-\bar{n}}$	Gauss taqsimoti $P(n) = \frac{1}{(2\pi\bar{n})^{1/2}} e^{-(\bar{n}-n)^2/2\bar{n}}$
2	Taqsimot grafigi	

* Δn -taqsimot maksimumi yarmidagi to'la kenglik; ($\Delta n = 2,35\sigma$)

2-rasm. Eksperiment natijalarining statistik tahlili.

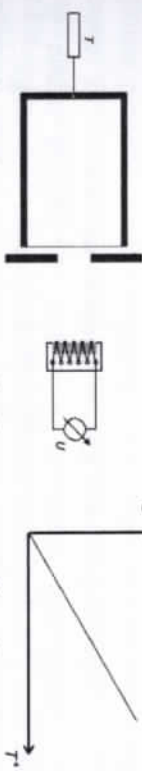
Nº 1 Laboratoriya ishi: Stefan –Bolsman qonuni: Absolyut qora jism nurlanish intensivligining haroratga bog'liqligini o'chash

Ishning maqsadi: Moll termoelementidan foydalaniib, 300-750 K haroratlari intervalida "absolyut qora jism" sifatida qaralayotgan elektr pechdag'i nurlanishning nisbiy intensivligini o'chash. Stefan-Bolsman qonunini tekshirish uchun nurlanish intensivligining absolyut haroratga bog'liqligi grafigini tuzish.

Kerakli jihozlar: 220 V da ishlovchi elektr pechi, absolyut qora jism detallari, elektr pech jihozlari, bir tarafi ochiq kirishli raqamli termometr, NiCr-Ni harorat datchigi, moll termoelementi, mikrovoltmetr, kichik optik kursi.

O'simcha tasvija qilinadi: Immersion suyuqliki nasos, silikon quvurlari.

Nazariy qism
Barsha qizdirilgan jismilar o'zidan issiqlik nurlantiradi. Bu issiqlik elektromagnit nurlanishning intensivligi harorat orishi bitan ortadi hamda shu jismning sirtiga ham bog'liq. Berilgan to'lin uzunligida jism nurni qanchalik yaxshiroq yutsa, shunchalik ko'proq issiqlik nurlantiradi. Barsha to'lin uzunlidagi issiqlik nurlanishini yutuvchi jism *absolyut qora jism* deb ataladi. Aynan Kirchoff birinchi bo'lib, berk bo'shliqdan virtual absolyut qora jism sifatida foydalanishni taklif qilgan. Absolyut qora jism eng katta yutish koefitsiyentiga ega va shu bilan, berilgan haroratda va to'lin uzunlikda maksimal mumkin bo'lgan nurlanishga ham ega.



Stefan-Bolsman qonuni absolyut qora jismning umumiy chiqarayotgan nurlanishi T absolyut harorating to'rinch darajasiga proporsional ekanligini tasdiqlaydi. Yanada aniqroq ifodalasak nurlanish manbasining nurlanuvchanligi ε , ya'ni sirtning bir tomonidagi nurlanishning umumiy quvvati nurlanayotgan sirt sohasiga nisbatan quyidagicha aniqlanadi:

$$\varepsilon = \sigma \cdot T^4; \quad (1)$$

$$(\sigma = 5,67 \cdot 10^{-8} \left(\frac{vt}{m^2} \right) K^4 \text{ Stefan-Bolsman doimysi})$$

Shu bilan bir vaqtida absolyut qora jism atrof muhitidan nur ham yutadi. Shunday qilib biz umumiyl nurlanuvchanlik — ε ni emas, aniqrog'i absolyut qora jism nurlanishidan olingen ε' nurlanish manbasining nurlanuvchanligi quyidagi teng:

$$\varepsilon_0 = \sigma \cdot T_0^4;$$

Shuning uchun, quyidagini yozish mumkin:

$$\varepsilon' = \sigma(T^4 - T_0^4); \quad (3)$$

Mazkur tajribada “absolyut qora jism” sifatida elektr pechdan foydalaniladi. Absolyut qora jism detallari jilvirlangan (siliqlangan) mis silindr va ekranidan iborat. Bir uchi izolyasiya qilingan mis silindr, elektr pechga kiritiladi va talab qilingan haroratgacha qizdiriladi. Zarur bo'lganda suv bilan sovutiladigan ekran elektr pechning oldiga shunday o'matilganki, qaynoq pechning tashqi devorlarining nurlanishini emas, faqat jilvirlangan (siliqlangan) silindring issiqlik nurlanishini o'lhash mungkin. Harorat datchigi NiCr-Ni mis silindrdagi haroratni o'lhash uchun qo'llaniladi. Issiqlik nurlanishi mikrovoltmetriga ulangan Moll termoelementidan foydalanib o'chanadi. Termoelement ulangan termoparalar seriyasidan tashkil topgan. O'chanayotgan nuqtalar tushayotgan numri to'liq yuradi, qiyoslash nuqtalari esa atrof mutib haroratida bo'ladi. Biz shunday qilib, termoelektrik batareyalarning chiqish kuchhanishini nurlanish manbasining M' -nisby nurlanuvchanligi o'lchovi sifatida olishimiz mumkin.

Tajriba qurilmasi haqida qisqacha izohlar:

- O'chanayotgan intensivlik juda past va shuning uchun u atrofdagi jismifardan nurlanish interferensiyalariga nihoyatda sezgir:
- O'chanayotgan nuqtalar tushayotgan numri to'liq yuradi, qiyoslash nuqtalari esa atrof mutib haroratida bo'ladi. Biz shunday qilib, termoelektrik batareyalarning chiqish kuchhanishini nurlanish manbasining M' -nisby nurlanuvchanligi o'lchovi sifatida olishimiz mumkin.
- Tajriba davomida xona haroratinining o'zgarishidan xoli bo'ling.
- Boshqa nurlanish manbalarning aralashishiga yo'l qo'y mang; zarur bo'lsa, harorat datchigi (yig'ma) ni karton qog'oz bilan ekranshtiring.

- Zarur bo'lsa, xonani qorong'ulashstiring.

Texnika xavfsizligi bo'yicha ko'rsatmalar

- Ushbu laboratoriya ishida kuyib qolish xavfi bor: elektr pechi tashqi devorining harorati 200 °C dan ortiq bo'lishi mumkin.
- Qaynoq elektr pechda terining kuyib qolishidan saqlaning.
- Elektr pechni faqat jhiozlar bilan boshqaring.
- Elektr pechdan foydalanish bo'yicha yo'riqnomalarni battafsil o'qib chiqing va yo'riqnomaga to'liq riyoja qiling.

Immersion nasos dvigatelei ichiga sizib kirgan suv qisqa tutashuvni keltirib chiqarishi mumkin.

- Botirish chuqurligini 17 sm dan oshirmang.
- Ishlatib bo'lingan ho'l immersion nasosni kallagi bilan qo'y mang.

Immersion nasosdan foydalanish bo'yicha yo'riqnomalarni batafsil o'qib chiqing va yo'riqnomaga to'liq riyoja qiling.

- Termoelektr batareya jismidan bevosita issiqlik nurlanishi, nurlanishning akslantiruvchi yuzalardan qaytishi (masalan: oqish rangli kiyim), issiqlik uzatgichlar, quyosh nuri va boshqa yorug'lik manbalari hisobiga *interference nurlanish* kelib chiqishi mumkin.

Tajribani boshlashdan olinin, mikrovoltmetning 10 minut davomida qizishiga imkon bering.

Qurilmaning orqa qismida joylashgan asosiy kalit yordamida mikrovoltmetni elektr tarmog'iga ulang.

Suv bilan sovutisidan foydalanilganda:

- Silikon quvurni immersion nasosga va ekrange shunday birkitingki, ekrange suvning oqib kelishi pastki naydan, chiqishi esa ekramning asosiy nayi orqali bo'isin.
- Idishni suv bilan to'ldirish va immersion nasosni suvli idishning gardishiga montaj qisqichdan foydalanib shunday mahkamlangki, kirish teshibi to'liq suvga botsin va maksimal botish chuqurligi 17 sm dan ortiq bo'lmasin (1.2-rasmga qarang; boshqa imkonii bor montaj uchun foydalanish bo'yicha yo'riqnomaga murojat qiling)
- Shundan so'ng:**
 - Elektr pechni, absolyut qora jism komplekti ekramini va termoelektrik batareyani 1.1-rasmda keltirilganidek shunday o'rnatishingki,

termoelektrik batareyaning sterjeni elektr pechning ochiq tarafi oldidan taxminan 15 sm da joylashsin.

Absolyut qora jism komplekti ekran metall tarafi bilan termoelektrik batareyaga qaralgan holda elektr pechning oldida taxminan 5-10 mm da joylashshtiring.

Izoh: *Shisha tuyinuk qisqa to'qin uzunlikli nurlanisinga ko'ra uzun to'qin uzunlikli nurlanishi ko'proq yutadi va shuning uchun nurlanish intensivligining haroratga bog'liqliigi o'lhashlarini sistematik tarzda soxtalashdiradi.*

- Termoelektr batareyaning shisha tuynugini olib tashlang.

- Harorat datchigini NiCr-Ni raqamli termometr bilan ulang va unijivilanganan (silliqlangan) mis silindrning markazidagi teshikka iloji boricha chuqurroq joylashshtiring.

- Harorat datchigini universal qichqich(S) bilan montaj qiling va raqamli termometrni ulang (0°C hash diapazoni $> 200^{\circ}\text{C}$).

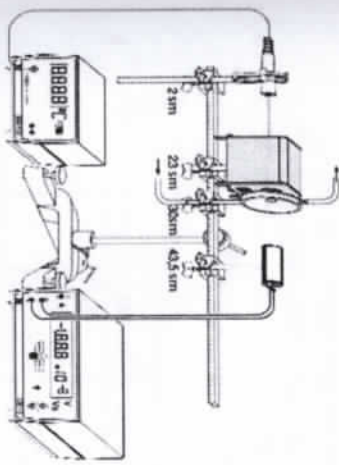
- Elektr pechning ochiq tarafini, absolyut qora jism komplekti ekranini va termoelektrik batareyani shunday to'g'rilangki, issiqlik nuri bevosita ochiq termoelektrik batareyaga tushsin.

- Suv bilan sovutishdan foydalanilganda, immersion nasosni qo'llang. keltirilganidek) ulang (0°C hash diapazoni 10^{-4}V); termoelektr batareyadagi qizil klemma mikrovoltmetrdagi qizil klemma bilan ulanganiga ishonch hosil qiling.

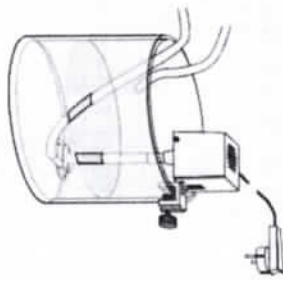
- Siljishni "avto kompensasiya" tugmasini bosish orqali kompensasiyalang; zatur bo'lsa, raqamli displeyni nolga keltirish uchun potensiometr yordamida aniq sozlashni bajaring (mikrovoltmetr uchun yo'riqnomaga qarang).

- 13701/23 -

1.1-rasm: Stefan-Bolsmannning issiqlikdan nurlanish qonunini o'rGANISH UCHUN TAJRIBA QURILMASI.



1.2-rasm: Suvli idishga immersion nasosni o'matish namunasi.



Ishni bajarish tartibi

1. Mis silindrning harorati (t) ni va termoelektrik batareyaning boslang'ich chiqish kuchlanishi (U) ni 0°C chang va bu qiymatlarni 0°Z tajriba daftaringizga yozib oling.
2. Elektr pechni ulang va harorat har 25°C ga oshganda, t va U ning qiymatlarini 0°C chang va ularni 0°Z tajriba daftaringizga yozib oling. Harorat 400°C va 500°C oralig'i darajasiga erishganda:
3. Elektr pechni uzing; va harorat har bir 25°C ga pasayganda, t va U ning qiymatlarni 0°Z tajriba daftaringizga yozib boring.
4. Harorat 100°C bilan xona harorati oralig'igacha pasayganda, elektr pechdan harorat datchigini oling, xona haroratini 0°C chang va bu qiymatni 0°Z tajriba daftaringizga yozib oling.
5. Termoelektr batareyani qoramitir karton bilan ekranlashtiring, voltmetringa nol ko'rsatishini tekshiring va bu qiymatni 0°Z tajriba jadvalingizga yozib oling.

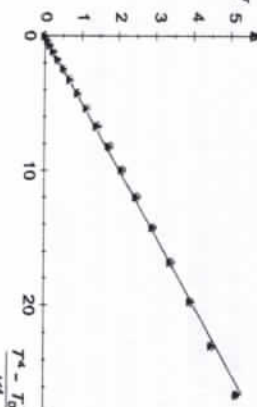
O'chash namunaları

I-jadval. Qizish va sovushidagi o'chhangan qiymatlar.

t (°C)	T (K)	$T^4 - T_0^4$ (K^4)	U_h (mV)	U_u (mV)
24	297	0	0	0
50	323	0,31	0,06	0,06
75	348	0,69	0,13	0,14
100	373	1,16	0,23	0,24
125	398	1,73	0,35	0,36
150	423	2,42	0,51	0,52
175	448	3,25	0,7	0,67
200	473	4,23	0,92	0,89
225	498	5,37	1,15	1,13
250	523	6,7	1,43	1,41
275	548	8,24	1,74	1,72
300	573	10	2,11	2,07
325	598	12,01	2,51	2,46
350	623	14,29	2,93	2,89
375	648	16,85	3,41	3,38
400	673	19,74	3,94	3,92
425	698	22,96	4,52	4,5
450	698	26,55	5,15	5,16

Doiralar
uchburchaklar

sovushidagi
qymallarga
1.3-rasmda
batareyani
 U chiqish
kuchlanishining
to'rtinchchi darajali absoluyut
harorati T bilan to'rtinchchi
darajali absolut xona



1.3-rasm: U chiqish kuchlanishining
 $T^4 - T_0^4$ funksiyasi sifatidagi
grafigi.

munosabat Stefan-Bolsman qonuni bashorat qilganidek, taxminan

to'g'ri chiziqlqa yaqin. Agar, egrilik sinchkovlik bilan o'rganisa, yaxshi mos kelgan to'g'ri chiziqlidan bir oz chetlanishni kuzatishimiz mumkin. Buning sababi quyidagi effektlarning natijasidir: termoelektr batareya bilan o'chashlarga konveksiya va muhitda nurlanish yo'qotishlari, ayniqsa shisha tuyruk olib tashlanganda, ta'sir qiladi. Bundan tashqari biz pech harorati ortganda, termoelektr batareya qiyoslash punktlarida issiqlikning ortib borishini to'liq bartaraf eta olmaymiz.

Nazorat savollari

- Jismning nurlanish qobiliyatini va va nur yutish qobiliyatini deb nimaga aytiladi?
- Absolyut qora jismning nurlanish qonunlarini aytilib bering.
- Nurlanishning yana qanday turlarini bilasiz?
- Pirometrning tuzilishi va uning elektr hamda optik sxemasini chizib bering. Pirometrning yana qanday turlarini bilasiz?
- Ravshanlik harorati deb qanday haroratga aytiladi?

№ 2 Laboratoriya ishi: Plank doimiyisini aniqlash

Ishning maqsadi: Plank doimiyisining qiymatini eksperimental baholash usullaridan biri bilan tanishish, talabalarda fizik tajribalar o'tkazish malka va ko'nikmalarni shakillantirish.

Kerakli jihozlar: Yarim o'tkazgichli yorug'lik diodi, tok manbai, voltmetr, reostat va ulovchi simlar.

Nazariv qism

Yorug'lik diodi (LED) ning ishlash prinsipi elektr energiyasini elektromagnit nurlanishga aylantirishga asoslangan bo'lib, uning spektri spektрining ko'rindigani (optik) yoki infrraqizil sohasida bo'tishi mumkin. Yorug'lik diodi (LED) ning tuzilishi elektron-teshikli o'tishdan iborat bo'lib, undagi sohalardan biri masalan n - emitter, boshqasi p - soha bazadir. Bazaga yarim o'tkazgichda qo'shimcha erkin zaryadlarni hosil qilmaydigan lekin yorug'lik hosil bo'lishiga olib keladigan maxsus aralashma qo'shiladi. p-n o'tishga to'g'ri qutbli kuchlanish berilganda elektronlarning emitterdan bazaga o'tishi bosylanadi. Ayni shu vaqida teshiklarning bazadan emitterga o'tishi bosylanadi. Zaryad tashuvchilarning rekombinatsiyasi bazzada ham, emitterda ham ro'y beradi, lekin bazada unga kelgan elektronlarni energiyasining nurlanish energiyasiga aylanishi kuzatiladi. Kvant nazariyasiga ko'ra, baza sohasiga o'tgan elektron teslik bilan rekombinatsiyalananish jarayonida nurlanish energiyasining kvantini chiqaradi. Bunda hosil bo'lgan yorug'lik kvantining energiyasi ($h\nu$) taqidlangan energetik zonasining kengligiga (valent va erkin energetik zonalari energiya farqi) ga teng. Rekombinatsiya jarayonida elektron beradigan energiya (E_{el}) ni p-n o'tishda oladi. Bu energiyaming qiymati elektron zaryadi (e) ni yorug'lik diodi(LED) p-n o'tishiga qo'yilgan to'g'ri kuchlanish qiymati (U_d) ko'paytmasi bilan aniqlanadi:

$$E_{el} = eU_d$$

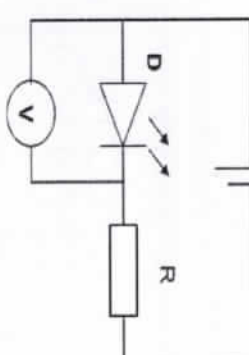
Bu ifodadan Plank doimiyisini aniqlash ishchi formulasi kelib chiqadi.

$$h = eU_d/v \quad (1)$$

(1) formuladan ko'rindiki Plank doimiyisini aniqlash uchun elektron zaryadi (e) ni bilgan holda, yorug'lik diodiga qo'yilgan kuchlanish (U_d) ni hamda yorug'lik diodi (LED) nurlanish chastotasi (v) ni o'chash kerak bo'ladi.

Tajriba qurilmasi

Plank doimiyisini yorug'lik diodi orqali aniqlash eksperimental qurilmasining sxemasi quyidagi 2.1-rasmda keltirilgan.



2.1-rasm. Laboratoriya qurilmasining tuzilish sxemasi.

Ishni bajarish tartibi

1. Tavsiya etilgan sxemada yorug'lik diodi (LED) ni tok manbaiga tok o'tadigan yo'nallishda to'g'ri ulang. Sxemaga qarshiliги $R = 10\Omega$ bo'lgan rezistor, kuchlanishi $9V$ li tok manbai va raqamli voltmetr yoki multimetrdan foydalaning.

2. Yorug'lik diodining to'g'ri kuchlanishini o'chchang.

3. Yorug'lik diodi nurlanish chastotasi(ν)ni davri $1mm$ da 100 da shtrix bo'lgan difraksiyon panjara yordamida aniqlang (optika bo'limida difraksiyon panjara yordamida yorug'lik chastotasini aniqlash bo'yicha laboratoriya ishini takroran o'rGANING).

4. Difraksiyon panjaradan ekrangacha bo'lgan masofa (L), shkala markazidan k-tartibli difraksiyon maksimumgacha bo'lgan masofa (x_k) va difraksiyon panjara doimysi (d) belgilasak yorug'lik diodi chastotasi(ν)ni quyidagi formuladan aniqlaymiz. $\nu = \frac{k \cdot L \cdot c}{x_k \cdot d}$ bu yerda c - yorug'likning vakuumdagi tezligi.

5. Tajribani sxema elementlарining turli parametrlarida yoki yorug'lik diodi nurlanish chastotasini aniqlashda tajriba parametrlarini (difraksiyon panjara davrini, difraksiyon panjaradan shkalagacha bo'lgan masofani) o'zgartirish bilan kamida uch marta takrorlang.

6. Kerakli o'chashlar bajarilgandan so'ng, yorug'lik diodi nurlanish chastotasining o'rtacha qiymati $v_{eksp,ort}$ uchun (1) (v) ni o'chash kerak bo'ladi.

formuladan foydalanib Plank doimiyini aniqlang. $h_{eksp,ort} = eU_d / \nu_{eksp,ort}$

7. Olingan qiymatni jadval qiymati (h_{naz}) bilan taqqoslang va o'chashlarning nisbiy xatosini ε ni aniqlang:
8. $\varepsilon = \frac{|h_{eksp} - h_n|}{h_n} \cdot 100\%$, bu yerda h_{eksp} va h_{naz} navbatil bilan, tajriba davomida va jadvaldan olingan Plank doimiyining qiymatlari.

Nº	$U_m(V)$	$R(\Omega)$	$U_d(V)$	h_{eksp} ($J \cdot s$)	h_{naz} ($J \cdot s$)	$h_{eksp,ort}$ ($J \cdot s$)	$\varepsilon \%$
1							
2							
3							

9. Ish bo'yicha xulosa va hisobot yozing.

Nazorat savollari

1. Plank doimiyining fizik mohiyatini tushuntiring.
2. Yorug'lik diodining tuzilishi va ishlash prinsipini tushuntiring.
3. Tajriba qurilmasining sxemasi hamda unga kiruvchi elementlarning funksiyalarini tushuntiring.
4. Yorug'lik diodi nurlanish chastotasini aniqlash bo'yicha tajriba sxemasini chizing va tushuntiring.
5. Tajribani o'zgaruvchan tok manbai bilan o'tkazish mumkinmi?
6. Yorug'lik diodi teskari ulangan holda tajribani o'tkazish mumkinmi? Fizikaviy jarayonini tushuntirib bering.
7. Plank doimiyini aniqlashning qanday usullarini bilasiz?
8. Yorug'lik nuri chastotasini aniqlashning qanday usullarini bilasiz?

№ 3 Laboratoriya ishi: Ravshanlik pirometri yordamida nurlanayotgan jism larning haqiqiy temperaturasini aniqlash

Ishning maqsadi: Haroratlari nurlanish hodisasiga asoslangan optik pirometrning tuzilishi va ishlash prinsipi bilan tanishish, uning yordamida absolut haroratni aniqlash.

Kerakli jihozlar: Optik pirometr, nurlanayotgan jism, tok manubai, kalit, reostat.

Nazariy qism

Modda atomlari va molekularining issiqlik harakati tufayli yuzaga keladigan elektromagnit nurlanish issiqlik nurlanishi deb ataladi.

Barcha qizdirilgan qattiq va suyuq moddalarining issiqlik nurlanishi tutash spektrni beradi. Spektrda energiya taqsimoti haroratga boy'liq bo'lib, past haroratlarda issiqlik nurlanishi asosan infraqizil nurlanishdan, yuqori haroratlarda esa ko'zga ko'rindigan va ultrabinafsa nurlanishdan iboratdir.

Agar biror jism o'z atrofidagi jismlardan chiqqan nurlarni yoki issiqlikni yutish yo'lli bilan o'zining nurlanish energiyasini tiklaydigan bo'lsa, unda nurlanish jarayoni muvozanat tarzda o'tadi. Shu vaqida nurlanuvchi jism holatini aniq bir o'zgarmas T harorat bilan karakterlash mumkin. Shuning uchun issiqlik nurlanishini *muvozanatlari nurlanish* deb ham yuritiladi. Issiqlik nurlanishi muvozanatlari jarayon bo'lgani uchun termodynamika prinsiplaridan kelib chiqadigan ba'zi umumiyy qonunlarga bo'yunsadi. Bu qonunlar bilan qisqacha tanishib chiqamiz.

1. *Kirxoff qonuni*. Bu qonuni ta'riflashdan oldin quyidagi ikki tushuncha bilan tanishib chiqamiz. Nur chiqarish va nur yutish jarayonlarini kattalik jihatdan baholash uchun jismning nur chiqarish va nur yutish qobiliyati degan tushunchalar kiritiladi. Nurlanayotgan jism sirtining birlik yuzidan birlik vaqtida nurlanadigan yorug'lik energetik jismning to'la (integral) nurlanish qobiliyati R_E yoki energetik yorutuvchanligi deb ataladi. Jismda yutilgan yorug'lik oqimining shu jisma tushayotgan yorug'lik oqimiga nisbati bilan o'chanadigan A_E kattalik jismning to'la (integral) nur yutish qobiliyati deb ataladi. R_E va A_E ning qiyatlari jismning tabiatiga va haroratiga boy'liq. Tajribalarning ko'rsatishicha, jismning chiqqargan hamda

yutgan yorug'lik energiyasi turli xil to'lqin uzunliklari uchun turlicha taqsimlanadi. Shuning uchun ham jismning $r_{\lambda T}$ spektral nurlanish va $a_{\lambda T}$ spektral nur yutish qobiliyati degan tushuncha kiritiladi. Jismning spektral nur chiqarish (nur yutish) qibiliyati deb to'lqin uzunliklarining $\lambda - \frac{\Delta \lambda}{2}$ -dan $\lambda + \frac{\Delta \lambda}{2}$ gacha bo'lgan qisqa $\Delta \lambda$ intervalidagi nur chiqarish (nur yutish) qibiliyati aytiladi. Barcha real jismnarning nur yutish qibiliyatlarini birdan kichik. Sirtiga tushayotgan hamma yorug'lik energiyasini istalgan haroratda to'lqin yuta oladigan jism absoloyut qora jism deb ataladi. Absolyut qora jismilar uchun $a_{\lambda T} = 1$. Kirxoff qonunini yuqorida keltirilgan tushunchalarga asosan quyidagicha ta'riflash mumkin. Jismnarning nurlanish qobiliyatining nur yutish qibiliyatiga nisbati ularning tabiatiga bog'iqliq bo'lmay, barcha jismilar uchun o'zgarmas kattalikdir va u to'lqin uzunligi hamda haroratning birday (universal) funksiyasi histoblanadi, ya'ni:

$$r_{\lambda T}/a_{\lambda T} = f(\lambda, T) \quad (1)$$

Absolyut qora jism uchun $a_{\lambda T} = 1$ ekanligini nazarda tutsak, (1) formuladan $r_{\lambda T}$ ning $f(\lambda, T)$ ga tengligi kelib chiqadi. Demak, Kirxgofting $f(\lambda, T)$ universal fuksiyasi absolyut qora jismning nurlanish qibiliyatining o'zginasidir.

2. *Stefan — Boltzman qonuni*. Absolyut qora jismning R_e to'la nurlanish qibiliyatini uming absolyut haroratning to'rinchchi darajasiga to'g'ri proporsionaladir:

$$R_e = \sigma T^4 \quad (2)$$

bu yerda, σ — Stefan — Boltzman doimisi bo'lib, uning qiymati $\sigma = 5,67 \cdot 10^{-8} \frac{W}{m^2 \cdot K^4}$ ga teng.

3. *Vinning siljish qonuni*. Absolyut qora jism nurlanish spektrining maksimum qiymatiga to'g'ri kelgan λ_{max} to'lqin uzunligi jism absoloyut haroratning orta borishi bilan unga teskari proporsional holda qisqa to'lqinlar sohasi tomon siljib boradi, ya'ni:

$$\lambda_{max} = b/T \quad (3)$$

bu yerda, b — Vin doimisi deb ataladi, uning qiymati $b = 0,28979 \cdot 10^{-2} m \cdot K$.

4. *Plank formulasi*. Absolyut qora jismning spektral nurlanish qobiliyati

$$r_{\lambda T} = \frac{2\pi hc^2}{\lambda^5} \frac{1}{e^{hc/\lambda kT} - 1} \quad (4)$$

formula yordamida aniqlanadi. Bunda λ — nurlanish to'lqin uzunligi, e — yorug'likning vakuumda tarqalish tezligi, k — Boltzman doimisi, h — Plank doimisi, T — absolyut harorat. (4) formulani nurlanishning bercha to'lqin uzunliklari bo'yicha integralansha, absolyut qora jismning integral nurlanish qobiliyati (yoki energetik yorituvchanligi) kelib chiqadi, ya'ni

$$R_e = \int_0^{\lambda} r_{\lambda T} d\lambda = \int_0^{\lambda} \frac{2\pi hc^2}{\lambda^5} \frac{1}{e^{hc/\lambda kT} - 1} \quad (5)$$

integrallash natijasi quyidagi ko'rinishga ega bo'лади:

$$R_e = \frac{2\pi^5 k^4}{15 c^2 h^3} \cdot T^4 \quad (6)$$

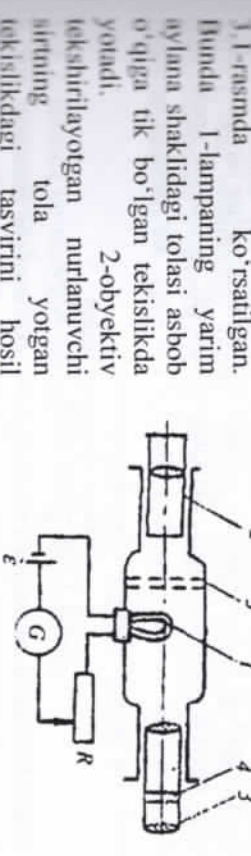
(6) ifodani (2) Stefan — Boltzman qonuni bilan taqoslash natijasida Stefan — Boltzman doimisi $\sigma = \sqrt{\frac{2\pi^5 k^4}{15 c^2 h^3}}$ kelib chiqadi, bundan Planck doimisini $h = \sqrt{\frac{2\pi^5 k^4}{15 c^2 \sigma^3}}$ ni topish mumkin.

Qizdirilgan jismnarning haroratini ularning nurlanish spektridan foydalanib aniqlash mumkin. Haroratni bunday aniqlash usuli *optik pirometriya*, tegishli asboblar esa *optik pirometrlar* deb ataladi.

Haroratni aniqlashning keng tarqalgan usuli nurlanuvchi jism spektrining ma'lum bir $\Delta \lambda$, to'lqin uzunligi intervalidagi nurlanishini absolyut qora jism spektrining o'sha intervalidagi nurlanishi bilan tuqqoslashga asoslangan. Odatta, spektrning $\lambda = 0,66 \mu$ atrofida yotuvchi qizil qismidan foydalaniladi. Haroratni bunday usulda aniqlashda yo'qolib boruvchi tolali pirometr deb ataluvchi ravshanlik pirometridan foydalaniladi.

3.1 — rasm. Optik

3.1-rasmida ko'rsatilgan. Bunda 1-tampaning yarim oyilma shakkidagi tolesi asbob o'qiga tik bo'lgan tekislikda yotdi.



3.1 — rasm. Optik

monoxromatik nurni o'tkazadi.

Pirometr okulyaridan qarab, uning R reostat yordamida tola ravshanligi nurlanayotgan jism ravshanligi bilan bir xil bo'lguncha o'zgartirib boriladi. Tolaning ravshanligi nurlanayotgan jism ravshanligiga tenglashganda tola nurlanish fonda sezilmay qoladi, ya'ni «yo'qoladi». Asbob absoluyut qora jism haroratiga nisbatan darajalangan bo'lib, G galvanometr shkalasi bo'ljinmalarinin to'g'risiga harorating tegishli qymatlari °C larda ko'rsatilgan bo'ladi.

Agar kuzatilayotgan jism absoluyut qora bo'lsa, aniqlangan haroratning T haqiqiy harorati bo'ladi. Absoluyut qora bo'lmanan jismilar uchun bu usulda aniqlangan T_{raw} harorat ravshanlik harorati deb ataladi. Bu ikkala harorat orasidagi bog'lanishini aniqlash uchun energetik ravshanlik deb ataladigan B_E kattalik kiritiladi. Φ -yorug'lik qimmi, R - yorituvchanlik va B -ravshanlik kabi fotometrik kattaliklar orasidagi bog'lanish Φ_E — energiya oqimi, R_E -energetik yorituvchanlik va B_E -energetik ravshanlik kabi energetik kattaliklar uchun ham o'rinali bo'ladi. Shuning uchun

$$R_E = \pi B_E \quad (8)$$

deb yozish mumkin. U holda (2) ni nazarda tutib, absoluyut qora jismning B_E^* energetik ravshanligi uchun

$$B_E^* = \frac{\sigma}{\pi} T^4 \quad (9)$$

ifodani hosil qilamiz. Energetik ravshanlik ham to'lqin uzunligi bilan harorating funksiyasidir. Absoluyut qora bo'lmanan jismilar uchun pirometr absoluyut qora jismning λ to'lqin uzunligiga to'g'ri kelgan $B_E^*(\lambda, T_{raw})$ ravshanligi tekshirilayotgan jismning T haqiqiy haroratidagi $B_E(\lambda, T)$ ravshanligiga teng, ya'ni

$$B_E^*(\lambda, T_{raw}) = B_E(\lambda, T) \quad (10)$$

bo'lgan vaqtidagi T_a haroratni ko'rsatadi. (9) munosabat har bir spektral tashkil etuvchi uchun o'rinali. Shuning uchun (8) ni har bir spektral tashkil etuvchi uchun quyidagi $B_E(\lambda, T) = \frac{1}{\pi} a_{\lambda T}$ ko'rinishda yoza olamiz. Bu ifodani Kirov qonuniga asosan

$$B_E(\lambda, T) = \frac{1}{\pi} a_{\lambda T} \cdot f(\lambda, T) \quad (11)$$

ko'rinishda yozish mumkin, bunda $a_{\lambda T}$ — nurlanuvchi jismning nur yutish qobiliyati. Absoluyut qora jism uchun $a_{\lambda T} = 1$ ekanini nazarda tutsak,

$$B_E^*(\lambda, T_{raw}) = \frac{1}{\pi} \cdot f(\lambda, T_{raw}) \quad (12)$$

bu holda (10), (11) va (12) formulalardan

$$a_{\lambda T} = \frac{f(\lambda, T_{raw})}{f(\lambda, T)} \quad (13)$$

ekanligi kelib chiqadi, bu ifodadagi $a_{\lambda T}$ — tekshirilayotgan jismning λ to'lqin uzunligini o'tkazadigan yorug'lik filtri uchun T haqiqiy haroratidagi yutish qobilyatini bildiradi. (4) Plank formulasiga asosan (13) ifodani $f(\lambda, T) = r_{\lambda T}$ absoluyut qora jismning spektral nurlanish qobilyatini ekanligini nazarda tutgan holda quyidagicha yozish mumkin:

$$a_{\lambda T} = \frac{e^{hc/\lambda kT}}{e^{hc/\lambda kT_{raw}} - 1}$$

Bu ifodada $e^{hc/\lambda kT}$ kattalik $\lambda = 0,66 \mu$, $T \approx t_{raw} \approx 3000 K$ da birdan ocha katta bo'lganligi uchun birmi nazarga olmasak ham bo'ladi. U holda

$$a_{\lambda T} = e^{\frac{hc}{\lambda k} \left(\frac{1}{T} - \frac{1}{T_{raw}} \right)}$$

bo'ladi, bunda logarifmlash natijasida T haqiqiy harorat uchun

$$T = \frac{c_1 \cdot T_{raw}}{\lambda T_{raw} \cdot \ln a_{\lambda T} + c_1} \quad (14)$$

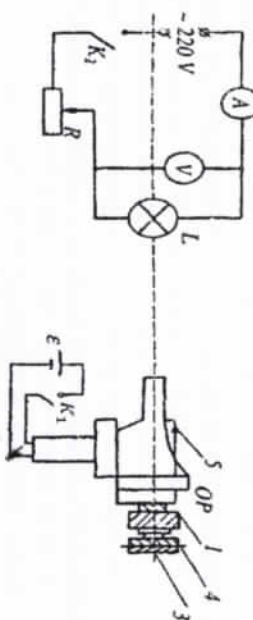
munosabatga ega bo'lamiz, bu ifodada $c_1 = 1,432 \cdot 10^{-2} mK$, $a_{\lambda T}$ — kattalikning qiymati jadvallarda beriladi. Masalan, volfram uchun $900^\circ C$ dan $2000^\circ C$ gacha bo'lgan harorat oralig'ida $a_{\lambda T} = 0,43$.

Pirometr yordamida T_{raw} ni o'chab, (14) formulaladan nurlanayotgan jismning T haqiqiy haroratini hisoblash mumkin. Pirometda harorating ikkita shkalasi bo'lib, bittasi $700 \div 1400^\circ C$ oralig'idiagi, ikkinchisi esa $1200 \div 2000^\circ C$ oralig'idiagi haroratlarni o'chash uchun mo'ljallangan. Pirometr lampasi tolasining harorati $1500^\circ C$ dan oshmasligi kerak. Shuning uchun ikkinchi shkaladan foydalanilganda 2 obyektiv bilan 1-tola (3.1-rasm) orasiga 5 xiralovali filtr kiritiladi.

Ishni bajarish tartibi:

1. 3.2-rasmida ko'rsatilgan sxema bo'yicha zanjir tuzing.
2. OP pirometri L elektr cho'g'lanma lampadan 1 m masofaga o'mating va pirometr obyektiini lampa tolasiga to'g'irlang.

3. Pirometr reostatining I buralma halqasidagi oq rangli nol belgisining qobig'idagi xuddi shunday belgi qarshisiga qo'ying (3.3-rasm), bu holda pirometrning strelkasi shkalaning nol belgisi qarshisiga kelishi kerak.



14. Harorat bilan tokning bog'lanish grafigini chizing.

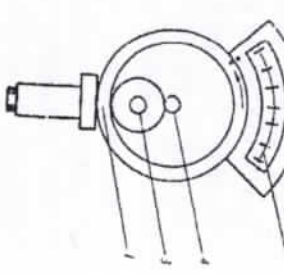
3.2 – rasm. Qurilmaning sxemasi.

4. K_1 kalitini ulang va pirometr lampasi tolasining harorati taxminan 1200°C bo'lganga qadar 1 halqani soat mili yo'nalishi bo'yicha burang. Harorat qiymatini 6 shkaladan (3.3-rasm) yozib oling.

5. 3 okulyarni asbobning optik o'qi bo'yicha surish bilan pirometr lampasi tolasining aniq ko'rinishiga erishing, so'ng K_1 kalitini uzing.
6. 4 kallak yordamida ko'rish maydoniga qizil rangli filtr kriting.
7. 5 kallakning «20» deb yozilgan indeksidan chorak aylana burab xiralovchi filtrni chetlashtiring.

8. K_2 kalit yordamida 1 cho'g'lamma lampani manbag'a ulang.

9. K_1 kalitni ulang va halqani pirometr (3.2-rasm) lampasi tolasining o'rita qismining ravshanligi 1 cho'g'lamma lampa tolasining ravshanligi bilan bir xil bo'lguncha astasekin burang. 6 — shkaladan (3.3-rasm)



3.3 – rasm. Optik pirometri darajalash.

10. Pirometr lampasining ravshanligini bir oz ko'paytirish yoki kamaytirish yo'li bilan 1 cho'g'lamma lampa tolasining haroratini uch marta o'chlab, o'rtacha qiymatini oling.

11. R reostat yordamida 1 lampaga turli kuchlanishlar berib, tokning turli qiymatlari uchun lampa tolasini haroratini aniqlang.

12. 1 cho'g'lamma lampa tolasining harorati 1400°C dan yuqori bo'lganda o'chashni xiralovchi 5 filtr (3.1-rasm) kiritilgan holda

haloring. Xiralovchi filtrni kiritish uchun 5 kallakdagi (3.2-rasm) muqoni «20» indeksning to'g'risiga qo'ying.

13. (14) formuladan foydalanimib cho'g'lamma lampa tolasining haqiqiy haroratini hisoblab toping.

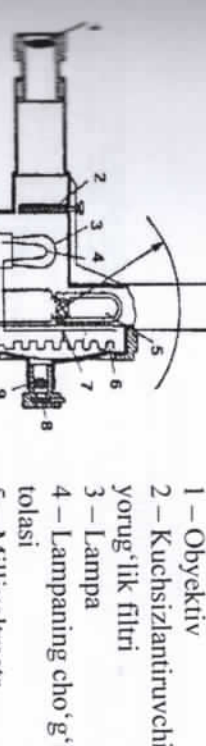
No	$T_{\text{harav}}(K)$	C_1	$\lambda(\text{nm})$	a_M	$T(K)$	$T_{\text{o'rsl}}(K)$	$\varepsilon(\%)$
1							
2							
3							

Mustaqil o'rganish uchun topshiriq

Zamonaviy optik pirometrlarning tuzilishi va ishlash prinsipini o'rganish:

Pirometrlar — jismlarning haroratini kontaktsiz usul yordamida antijash uchun qo'llaniladi. Pirometrlar ishlay prinzipiga ko'ra ikki turga bo'linadi:

1. Ko'rindigan nurlarda ishlaydigan Optik (ko'rindagan) diapazonda ishlovchi pirometrning tuzilishi quyidagi 3.4-rasmda keltiriladi.
2. Infragizil nurlanishda ishlaydigan Optik (ko'rindagan) diapazonda ishlovchi pirometrning tuzilishi quyidagi 3.4-rasmda keltiriladi.



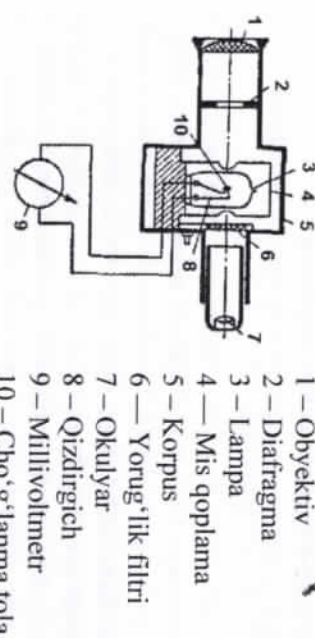
3.4-rasm. Ko'rindigan nurlarda ishlovchi piromet tuzilishi.

- 9 - Okulyar
- 10 - Reostatning halqali dastasi
- 11 - Asbobning tutqichi

- 9 - Okulyar
- 10 - Reostatning halqali dastasi
- 11 - Asbobning tutqichi

- 9 - Okulyar
- 10 - Reostatning halqali dastasi
- 11 - Asbobning tutqichi

Optik pirometrning ishlash prinsipi obyekt nurlanish yorqinligini nurlanishi oldindan ma'lum bo'lgan tolaning yorqinligi bilan taqqoslashga asoslangan. Bunda qizdirilgan jismdan chiqayotgan nur asbob obyektiwigiga tushadi, okulyar orqli jism yorqinligi va cho'g'lanna tola yorqinligi bilan taqqoslanadi. Bunday taqqoslash maxsus yorug'lik filtri yordamida olingan monoxromatik yorug'likda amalga oshiriladi. Cho'g'lanih tolasi akkumulyator yordamida qizdiriladi va reostat yordamida boshqariladi. Jismin harorati pirometrdagi haroratga darajalangan millivoltmetr yordamida aniqlanadi. Radiometr (infracizl nurlanishda ishllovchi pirometr)lar tuzilishi quyidagi 3.5-rasmda keltirilgan.



10 – Cho'g'lanna tola

3.5-rasm. Infracizl diapazonda ishllovchi pirometrning tuzilishi.

Bu pirometrning ishlash prinsipi quyidiagicha: qizdirilgan jismdan chiqayotgan issiqlik nurlanishi asbobning termopara bilan ulagan sezgir elementiga fokuslanadi, asbob obyektiwli korpusdan tashkil topgan. Pirometrning sezgir qismi termobatareya shaklidida tayyorlangan 4 ta termopara makhmalangan xochsimon platina plastinka ko'rinishida tayyorlangan. Pirometrning sezgir elementiga nurlanishni o'tkazuvchi tirkishli mis qoplama bilan o'ralgan shisha lampa ichida joylashgan. Lampa chiqishlari va termopara

chiqishlari qisqichlarga ulangan. Zamonaivy piometrlar ishlatilish sohasi bo'yicha ko'chma yoki statsonar, yuqori haroratlari ($> 400^{\circ}\text{C}$) yoki past haroratlari ($> -30^{\circ}\text{C}$ gacha) turlarga bo'linadi.

Zamonaivy piometrlarda o'ichovlarni amalga oshirishda obyektning yuzasi o'ichash kesim yuzasidan kattaroq bo'lishi kerak (3.6-rasm). Obyekt qanchalik kichik bo'lsa, piometr yaqinroq jaylashishi kerak. Zamonaivy piometrlar uchun obyektgacha bo'lgan masofaning o'chash kesimi yuzasiga nisbati (12:1), (10:1) bo'lishi mumkin. Bu nisbat pirometrning yo'riqnomasida va asbobning o'zida ko'rsatilgan bo'ladи.

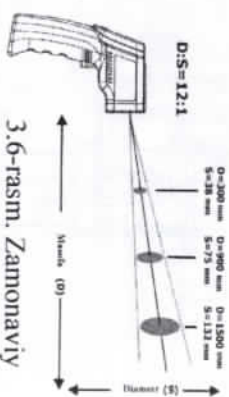
Standart piometrlar ko'rinishi 3.7.a,b-rasmda ko'rsatilgan. Bu piometrlarda suyuq kristalli indikator bo'lib o'chanayotgan harorat parametrlari haqidagi ma'lumotlarni ko'rsatadi. Standart piometrlar ko'rinishi 3.7.a,b-rasmda ko'rsatilgan. Bu piometrlarda suyuq kristalli indikator bo'lib o'chanayotgan harorat parametrlari haqidagi ma'lumotlarni ko'rsatadi.



3.7-rasm. a) Ko'chma piometrlar b) statsonar

Nazorat savollari

1. Jismin nurlanish qobiliyatini va va nur yutish qobiliyatini deb nimaga mytiladi?
2. Absolyut qora jismin nurlanish qonunlarini aytib bering.
3. Nurlanishning yana qanday turlarini bilasiz?
4. Pirometrning tuzilishi va uning elektr hamda optik sxemasini chizib bering.
5. Pirometrning yana qanday turlarini bilasiz?
6. Ravshanlik harorati deb qanday haroratga aytiladi?
7. $T = f(I)$ grafigini chizishdan maqsad nima?



3.6-rasm. Zamonaivy piometrlarda o'ichash rejimi.

Nº 4 Laboratoriya ishi: Elektronning chiqish ishini aniqlash

Ishning maqsadi: Metallardan elektronlarning chiqish ishini tajriba orqali aniqlash va qo'yilgan savollarga javob berish, o'chash xatoliklarini baholash.

Kerakli jihozlar: Kompyuter, elektronlarning chiqish ishini aniqlovchi qurilma, videoproktor, ekran, virtual laboratoriya ishi yozilgan disk.

Nazariy qism

Qattiq jism holatidagi materiallarda atomlar orasidagi masofa juda kichik bo'lganli uchun ular bir-birlari bilan q'zaro elektromagnit ta'sirlashadilar. Natijada, atomlar tashqi-valenti elektronlarini yo'qotib, ionlarga aylanadi va bu ionlar metall kristall panjarasini hosil qiladi. Valent elektronlar esa butun kristal panjaraga tegishi bo'lib qoladi va panjara ichida erkin harakatlanadi. Atomlarda valent elektronlar ruxsat etilgan diskret energetik sathlarga ega bo'ladi. Kristalda esa bu energetik sathlar birlashib va o'zaro ta'sir natijasida kengayib ruxsat etilgan energetik zonalarni hosil qiladi. Energetik zonalar esa bir-birlaridan taqiqlangan zonalar bitan ajralgan bo'lishlari mumkin (yarm o'tkazgichlar va dielektriklarda). Taqiqlangan energetik zonalar sohasidagi energiyalariga elektronlar ega bo'lmaydi (kristalda nussonlar va aralashmalar bo'lsagina shunday holat yuz berishi mumkin). Energetik va taqiqlangan zonalar kengligi har xil moddalar da har xil bo'lib, ular qattiq jismning turli xususiyatini, masalan, elektrik va fotoelektrik xususiyatini belgilaydi. 4.1-rasmda kristallardagi energetik zonalarning eng sodda chizmasi ko'rsatilgan. Rasmda ΔE kenglikdagi taqiqlangan zona, valent zona va qo'zg'atilgan energetik holatlar zonasini ko'rsatilgan.

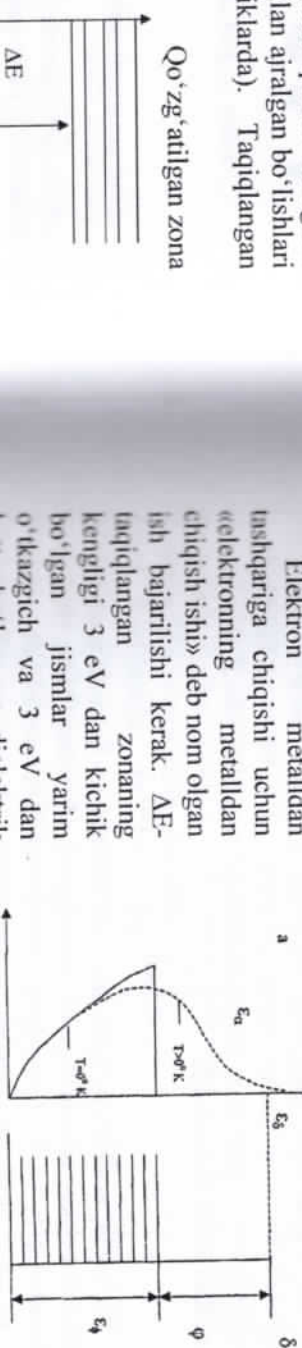
Qo'zg'atilgan zona yana o'tkazuvchanlik zonasini deb ham ataladi. Valent zonadagi elektronlar tashqi elektr maydon ta'sirida tok

hosil qilmaydi. Valent elektron tashqi kuch ta'sirida qo'zg'atilgan zonaga o'tib qolsa, u tashqi elektr maydon ta'sirida tok hosil qiliши numkin.

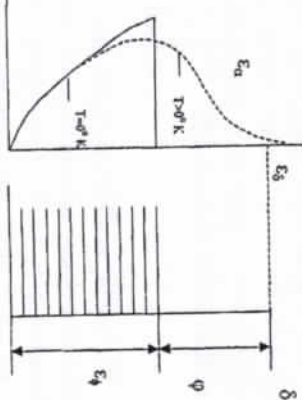
Metall qizdirilganda panjara tugunlarida joylangan ionlarning issiqlik tebranishi kuchayadi va ular bilan to'qnashib harakat qilayotgan erkin elektronlarning ham kinetik energiyasi ortadi. Natijada erkin elektronlarning energetik taqsimoti o'zgaradi. 4.2-rasmida $T=0$ K da elektronlarning energiya uzlksiz egri chiziq bilan ko'rsatilgan. Bu taqsimot Fermi-Dirak statistikasi yordamida olingan. Punktir chiziq bilan esa $T>0$ K dagi elektronlarning energiyaviy taqsimoti ko'rsatilib, bu taqsimot quyidagi formula bilan ifodalangan:

$$dn_e = C \frac{e^{1/2} d\varepsilon}{\exp\left[\frac{\varepsilon - \varepsilon_\phi}{kT}\right] + 1} \quad (1)$$

Bu yerda, dn_e — energiyasi ε va $\varepsilon + d\varepsilon$ de oraliqda bo'lgan birlik hujmli metalldagi erkin elektronlar soni, T -metall harorati, k -Bolzman doimiysti, S -doimiy kattalik.



4.1-rasm.
Kristallardagi energetik zonalar.



4.2-rasm. Elektronlarning energetik taqsimoti.

O'kazgichlarda esa valent zona elektronlar bilan butunlay to'lmagan bo'ladi yoki valent va qo'zg'atilgan zonalar qo'shilib ketgan bo'lishi mumkin. Metall bo'ylab erkin harakat qilayotgan elektronlar undan tashqariga chiqib keta olmaydi. Metall erkin elektronlar uchun potensial o'ra vazifasini bajradi (4.2-rasm). Potensial o'ra chuqurligi

ε_a ga teng. $T=0$ K da elektronlar potensial o'ra ichida energetik sathlarni Pauli prinsipiaga ko'ra ketma-ket to'ldiradi. Potensial o'ra ichidagi elektronlarning $T=0$ K dagi maksimal energiyasi ε_F -Fermi energiyasi deb ataladi.

Metall ichidagi elektronlar har xil energiyaga ega. Lekin Fermi energiyasiga yaqin energiyaga ega bo'lgan elektronning metalldan chiqishi osomroq. Shuning uchun ham energiyasi Fermi energiyasiga teng bo'lgan elektronning metalldan chiqishi uchun zarur bo'lgan energiya elektronning chiqish isiga teng deb olimadi. 4.2-rasmda elektronning chiqish ishi φ bilan ko'satilgan va $\varphi=\varepsilon_a-\varepsilon_F$ ga teng. Har xil metallar uchun φ turli qiymatga ega bo'lib, umuman metallar uchun qizdirilganda esa elektronlarning energetik taqsimoti o'zgaradi va ularning metalldan chiqishi ishi kamayib, metalldan chiqishi osonlashadi. (4.2-rasm)

Eksperimental qurilma chizmasi va ishlash prinsipi

Elektronlarning chiqish ishini turli usullar bilan o'chash mumkin. Biz bu yerda ikki elektrodi elektron lampada hosil bo'lувчи termoelektronlar to'yinish tokini o'chash yo'li bilan elektronning chiqish ishini o'chaymiz. Termoelektronlar to'yinish toki Richardson formulasi bilan ifodalanadi:

$$J = AT^2 \exp\left[-\frac{\varphi}{kT}\right] \quad (2)$$

Bu yerda, A-doimiy, T-harorat. (2) formuladan ko'rniib turibdi, termoelektronlar to'yinish toki haroratga kuchli bog'liqdir. Katod harorating T_1 va T_2 qiyatlarga mos keluvchi termoelektronlarning J_1 va J_2 to'yinish toklari qiyatlarni diodning volt-amper xarakteristikasini o'chash yo'li bilan aniqlab, katod materialidan elektronning chiqish ishini topish mumkin. Haqiqatan ham,

$$J_1 = AT_1^2 \exp\left[-\frac{\varphi}{kT_1}\right],$$

$$J_2 = AT_2^2 \exp\left[-\frac{\varphi}{kT_2}\right]$$

tenglamalardan

$$\frac{J_1}{J_2} = \left[\frac{T_1}{T_2}\right]^2 \exp\left[-\frac{\varphi}{k}\left[\frac{T_2 - T_1}{T_1 T_2}\right]\right] \quad (3)$$

kelib chiqadi. (3) tenglamaning ikkala tomonini $(T_2/T_1)^2$ ga ko'paytirib, so'ng logarifmlasak, chiqish ishi uchun quyidagi formulani olamiz:

$$\ln\left[\left(\frac{T_2}{T_1}\right)^2 \frac{V_1}{V_2}\right] = -\frac{\varphi}{k} \left(\frac{T_2 - T_1}{T_1 T_2}\right) \quad (4)$$

4.3-rasmda qurilmaning chizmasi ko'satilgan. D-diod katodi U_2 manbadan olinuvchi va R_H potensiometr yordamida 0 dan 6 V ga qadar o'zgartirilishi mumkin bo'lgan U_N kuchlanish bilan qizdiriladi.

Katod tokini A_N unpermetr yordamida o'chash mumkin. Diodning katodi bilan unodi orasiga berilgan anod kuchlanish esa U_1 manbadan olinib, uni R_a reostat yordamida 0 dan 300 V oralig'ida o'zgartirish mumkin. Anod kuchlanishi va toki U_a voltmetr va A ampermetr yordamida o'chanadi. U_1 va U_2 mamba sifatida UIP-2 dan toydalaniladi.

Katod kuchlanishing uch yoki to't qiyatida anod kuchlanishini o'zgartirib, unga mos keluvchi anod toki o'chanadi va diodning 4.4-rasmda ko'satilgan volt-amper xarakteristikalarini olinadi. Rasmda ikkita volt-amper xarakteristika egri chiziqlari ko'satilgan. Volt-amper xarakteristikalarning biror U_a anod kuchlanisinga mos keluvchi to'yinish toklari qiyati J_1 va J_2 uniqlanadi. (4.4-rasmdagi A va V nuqalarga mos keluvchi to'yinish toki).

Anod to'yinish tokiga mos keluvchi katod harorati quyidagi formula asosida aniqlanadi:

$$R_t = R_0(1 + \alpha\tau) \quad (5)$$

Bu formulada R_0 -diiodning ichki qarshiliqi, α -qarshiliqning harorat koefitsiyenti. R_0 va α berilgan diod uchun ma'lumdir. U holda

$$\tau = \frac{R_t - R_0}{\alpha R_0} \quad (6)$$

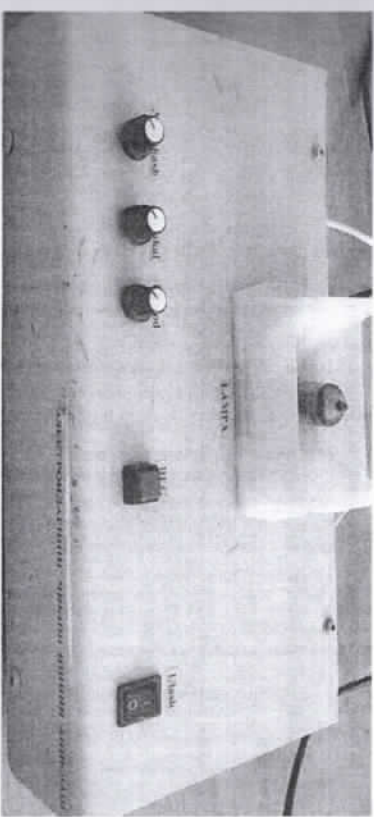
(6) formuladagi R_t ning qiymati quyidagi formuladan topiladi:

$$R_t = \frac{U}{J_n}$$

(J_n -A ampermetr yordamida o'lchanadi, U esa voltmetr yordamida o'lchanadi). (4) formuladagi Kelvinlarda o'lchanuvchi katod haroratining qiymati (6) dan aniqlangan va selsiyalarda kelib chiquvchi haroratning qiymati asosida hisoblanishini nazarda tutish kerak, albatta Shunday qilib, J_1 va J_2 hamda T_1 va T_2 lami bilgan holda (4) formula yordamida elektronning chiqish ishi hisoblanadi.

Ishni bajarish tartibi:

1. Laboratoriya qurilmasini tok manbaiga, kompyuterga ulang va qurilmani ish jarayoniga tayyorlash uchun 2 daqiqa kuting (4.5-rasm).
2. "Optika" laboratoriya dasturidan "Elektronlarning chiqish ishini aniqlash" nomli ishni tanlang.
3. "Bxor" tugmasini bosing.
4. "Выбрать" tugmasidan "COM 1" ni tanlang va "Положить" tugmasini bosish orqali ishga tushuntiring.
5. Qurilmadagi "O'ichash" tugmasini NEL ga qo'ying va "nakal" tugmasi orqali nakal kuchlanishini "Rec" tugmasi orqali kriting.
6. "Anod" tugmasi orqali anod kuchlanishini ortitrib borish bilan "Rec" tugmasini bosish orqali natijani jadvalga kiritib boring.
7. 5-6 punkti qayta bajarish orqali o'ichashlarni 1-jadvalga kriting.
8. "Отключить" tugmasi orqali laboratoriya qurilmasini o'chirning.



4.5-rasm. Laboratoriya qurilmasi
O'ichash namunalari

1-jadval

No	Seriya	In A	Ua, V		Ia, A	t, s	W	W/m²
			1	2				
1	*	223	159	1				
2	2.4	165	115	0				
3	3.1	203	146	0				
4	4.1	222	170	0				
5	4.3	244	176	1				
6	5.2	255	177	1				
7	6.6	266	184	1				
8	8.0	275	188	1				
9	10.3	282	192	1				
10	12.5	287	195	1				

Nazorat savollari

1. Elektron emissiya turlarini tushuntiring.
2. Termoelektron emissiya hodisasini tushuntiring.
3. Elektronning chiqish ishi nima?
4. $I_a = f(U_a)$ bog'lanishi tushuntiring.
5. Ishchi formulani keltirib chiqaring.
6. To'yinish toki va uning haroratga bog'lanishi tushuntiring.
7. Chiqish ishini aniqlashning boshqa usullarini bilasizmi?
8. Katod turlari deganda nimani tushunasiz?

№ 5 Laboratoriya ishi: Tashqi fotoeffekt hodisasini o'rganish

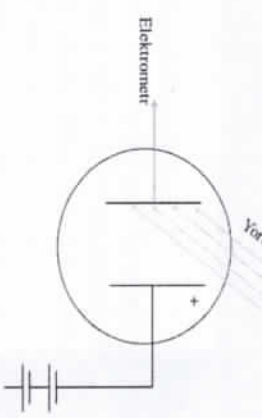
Ishning maqsadi: Tashqi fotoeffekt qonunlarini tajribada o'rganish.

Kerakli jihozlar: Kompyuter, videoproyektor, ekran, virtual laboratoriya ishi yozilgan disk.

Nazariy qism

Yorug'luk nuri ta'sirida jismiardan elektronlarning urib chiqarilishi hodisasi fotoelektrik effekt yoki qisqa fotoeffekt hodisasi deb ataladi. Bu hodisani 1887-yilda G.Gers gazlarda raziyad hodisasini o'rganish payida kuzatgan. Fotoeffekt hodisasini o'rganishda qo'llanadigan tajriba qurilmasining prinsipal chizmasi 5.1-rasmda ko'rsatilgan.

Katod yorug'luk nuri bilan yoritilganda undan chiqqan fotoelektronlar anod tomon harakatlantib, zanjirda fotoelektrik tokning hosil bo'lishiga sabab bo'ladı.



Fotoeffekt hodisasini sirti yaxshi tozalangan va va-kuumga joylashtirilgan metallarda kuzatish qulaydir. Tushayotgan yorug'luk intensivligi va chastotasi o'zgarishiga va chastotasi o'zgar-

5.1-rasm. Fotoeffekt hodisasining kuzatilish prinsipi

mas bo'lganda, katod va anod orasidagi U kuchlanishi oshirib borsak, hosil bo'igan fototok bilan kuchlanish orasidagi bog'lanish 5.2-rasmida ko'rsatilgan egrini chiziq bilan xarakterlanadi. Bu bog'-lanishga fotoelementning volt-

5.2-rasm. Fotoelementning voltamper xarakteristikasi.

Kuchlanish U=0 bo'lganda ham fototokning mayjud bo'lishi katoddan chiqayotgan elektronlarning ma'lum tezlikka ega bo'lishi bilan tushuntiriladi. B nuqtadan boshlab U ning yanada ortishi bilan

fototok kuchi o'zgarmay qoladi. Fototokning o'zgarmay qolgan qiymatiga to'yinish fototoki deyiladi. Katod va anod orasidagi kuchlanishning U>U_B qiyamatlarida yorug'luk urib chiqargan barcha fotoelektronlar anodga yetib kelishi sababli to'yinish fototok kuchi hosil bo'ladı.

Rus olimi A.G. Stoletov fotoeffekt hodisasini o'rganib, quyidagi qonuniyatni kashif etdi: Fotoeffekt vaqtida hosil bo'ladigan to'yinish tokining qiymati yutilgan yorug'luk intensivligiga proporsional o'zgaradi.

Lenard va boshqa olimlar o'tkazgan qator tajribalar natijasida fotoelektronlarning kinetik energiyasi tushayotgan yorug'luk nurining intensivligiga bog'liq bo'lmasdan, u faqat yorug'luk chastotasiga bog'liqligi aniqlandi. Shunday qilib, fotoelektronlarning kinetik energiyasi yorug'luk chastotasiga proporsional ravishda o'zgarar ekan. Bu holatni yorug'lukning korpuskulyar tabiatni asosida, ya'ni yorug'luk fotonlar oqimidan iborat degan nuqtai nazar asosida tushuntirish mumkin. Tushayotgan yorug'luk fotoni metall yoki atom tarkibida bog'langan elektronga o'z energiyasini butunlay beradi va elektron atom yoki metallidan uolib, tashqariga ma'lum kinetik energiya bilan uchib chiqadi. Agar fotoeffekt hodisasi metall ichida ko'p uchraydigan erkin elektronlarda yuz berayotgan bo'lsa, elektron kinetik energiyasining bir qismi elektronni metalldan urib chiqarish uchun zatur bo'lgan *Achiqish*-chiqish ishiga sarflanadi. Fotoelektron metall atomlari bilan to'qnashib, bir qism energiyasini yo'qotadi, va uning ishiga sabab bo'ladı. Agar bu yo'qotish sodir bo'lmasa, elektron metalldan maksimal kinetik energiya bilan uchib chiqadi:

$$\frac{1}{2} m_e v_{max}^2 = h\nu - A_{chiqish} \quad (1)$$

Bu yerda, A-ko'rileyotgan metall uchun xarakterli bo'lgan chiqish ishi, m_e -elektrommning massasi, $h\nu$ -foton energiyasi. Bu formulani birinchi marta Eynshteyn olgan va shuning uchun bu formula Eynshteyn nomi bilan yuritiladi.

Eynshteyn formulasidan tajribada tasdiqlanuvchi quyidagi ikkita xulosa kelib chiqadi:

1. Fotoelektrik effekt natijasida urib chiqarilgan elektronlarning maksimal kinetik energiyasi yorug'lukning chastotasiga chiziqli bog'langan bo'lib, uning intensivligiga bog'liq emas. Shunisi qiziqki, (1) formulani xarakterlovchi to'g'ri chiziqning chastota o'qiga nisbatan

og'ish burchagining tangensi Plank doimiyisini beradi. Bu usul bilan Plank doimiyisini o'chash mumkin.

2. Fotoeffektning shunday ν_0 kichik chastotali chegarasi mavjudki, undan kichik chastotalarda fotoeffekt kuzatilmaydi.

Haqiqatan ham, (1) formuladagi A ni $h\nu_0$ ga teng deb olsak,

$$\frac{1}{2}m_e\nu_{max}^2 = h(\nu - \nu_0) \quad (2)$$

bo'ladi.

$\nu < \nu_0$ da bu tenglamaning o'ng tomoni manfiy bo'ladi. Lekin bunday bo'lishi mumkin emas, chunki fotoelektronning kinetik energiyasi $\frac{1}{2}m_e\nu^2 > 0$ bo'lishi kerak. Demak, $\nu < \nu_0$ da fotoeffekt hodisasi yuz bermaydi. ν_0 esa fotoeffekt hodisasining past chastotali chegarasiga mos keladi. Shunday qilib, yorug'lik fotonining energiyasi $h\nu_0$ minimal energiyadan katta bo'lgandagina fotoeffekt hodisasi ro'y berar ekan. Bu energiyaga mos keluvchi yorug'lik to'lqin uzunligining qiymati λ_0 - fotoeffektning qizil chegarasi deb ataladi.

Biz yuqorida ko'rib chiqqan metallarda yuz beradigan fotoeffekt hodisasi *tashqi fotoeffekt* deb ataladi. Bundan tashqari, ichki fotoeffekt deb ataluvchi fotoeffekt hodisasi ham mavjud bo'lib *ichki fotoeffekt yarim o'tkazgich va dielektriklarda sodir bo'ladi*. Bunda yorug'lik ta'sirida elektronlarning bir qismi valent zonasidan o'tkazuvchanlik zonasiga o'tadi. Natijada yarim o'tkazgich yoki dielektrik ichida zaryad tashuvchi elektronlar konsentratsiyasi ortadi va foto'o'tkazuvchanlik hosil bo'ladi, ya'ni yorug'lik ta'sirida moddalarining elektr o'tkazuvchanligi ortadi.

Fotoeffekt hodisasingning yuz berish ehtimolligi elektronning atomdagи bog'lanish energiyasiga qarab o'zgaradi. Elektronning atomdagи bog'lanish energiyasi qancha katta bolsa, fotoeffektning yuz berish ehtimolligini xarakterlovchi fotoeffektning effektiv kesimi δ_f shuncha katta bo'ladi. Shuning uchun ham atomning turli qobiqlarida joylashgan elektronlarda fotoeffektning yuz berish ehtimolligi har xil bo'ladi. Buning natijasida fotoeffekt effektiv kesimining foton energiyasi (E_Y) ga bog'lanishini ko'rsatuvchi egrи chiziqa keskin o'zgarishlar kuzatiladi (5.3-rasm).

Rasmdagи J_k , J_b , J_m lar K, L va M qobiqdagi elektronlarining bog'lanish energiyasi

(ionizatsiya potensiali). $E_Y > J_k$ da $\delta_f \sim Z/E_Y^{7/2}$ bo'ladi, ya'ni fotoeffekt kesimi muhit atomlarining tartib nomeri – Z ga kuchli bog'liq va foton energiyasining

$E_Y^{7/2}$ qiymatiga teskari proporsional o'zgaradi. $E_Y < J_k$ bo'lganda K qobiqdagi elektronlar foton ta'sirida urib chiqarilmaydi va fotoeffekt L, M va boshqa qobiqa joylashgan elektronlarda yuz berishi mumkin. Shu kabi $E_Y < J_l$ bo'lganda fotoeffekt jarayonida K va L qobiqlardagi elektronlar qatnashmaydi va h.k. Turli atomlarning har xil qobiqlarida joylashgan elektronlar uchun fotoeffekt kesimining foton energiyasiga bog'lanishini ko'rsatuvchi formulalar kvant-mexanik hisoblashlar asosida keltirib chiqarilgan. Masalan, E_Y kichik bo'lgan hol uchun

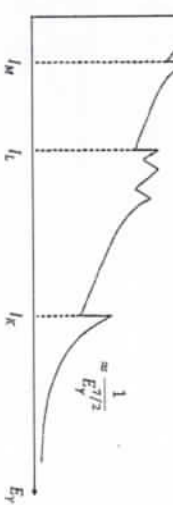
$$\delta_f^K = 1,09 \cdot 10^{-6} Z^5 \left[\frac{13,61}{E_Y} \right]^{7/2} \quad (3)$$

va $E_Y > m_e c^2$, ya'ni foton energiyasi elektronning tinchlikdagi energiyasiga mos keluvchi $m_e c^2 = 0,511 \text{ MeV}$ energiyadan ancha katta bo'lganda

$$\delta_f^K = 1,34 \cdot 10^{-33} \frac{Z^5}{E_Y} \approx n\gamma \quad (4)$$

kabi ifodalananadi.

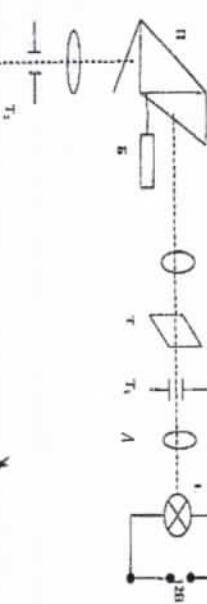
Bu yerda, δ_f^K qobiqdagi elektronlarda sodir bo'luvchi fotoeffektning effektiv kesimi. E_Y (3) formulada eV larda, (4) formulada esa MeV larda olingan.



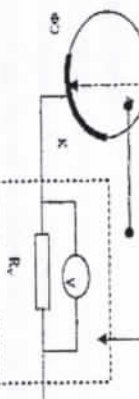
5.3-rasm. Fotoeffektning effektiv kesimi (δ_f)ning elektronlarning bog'lanish energiyasi (E_Y) ga bog'liqlik grafigi.

Eskperiment qurilmasining ishlash prinsipi va sxemasi

Bu ishda to'yinish fototokining (yoki kuchlanishining) tushayotgan yorug'lik intensivligiga va to'lqin uzunligiga bog'iqliq ravishda qanday o'zgarishi o'rganiladi. Qurilma chizmasi 5.4-rasmda berilgan.



5.4-rasm. Tashqi fotoeffekti hodisasi qonunlarini o'rganish qurilmasi



5.4-rasm. Tashqi fotoeffekti hodisasi qonunlarini o'rganish qurilmasi

Uning asosiy qismlarini UM-2 monoxromator, STSV-4 fotoelement, L-cho'g'lanma lampa va V lampali voltmetr tashkil etadi. L-cho'g'lanma lampadan chiqayotgan yorug'lik λ linzadan o'tib, monoxromatorning T_1 kirish tirkishiga tushadi. Monoxromator ichida joylashgan T to'siq yordamida yorug'lik nurining P prizmalar sistemasiga boradigan yo'lini to'sish va ochish mungkin. P prizmalar holati B barabanli vint yordamida o'zgartiriladi. Prizmalar holati barabanda joylashgan va graduslarga bo'lingan shkala yordamida aniqlanishi mumkin. P prizmadan o'tib spektrga ajralgan monoxromatik yorug'lik nuri monoxromatorning T_2 tirkishidan chiqib, havosi so'rib olingan shisha balon ichida joylashgan — fotoelementning K fotokatodiga tushadi. Fotoelement anodi A shisha balon markaziga joylashgan.

Fotoelementda hosil bo'lgan to'yinish fototokining kuchi lampali voltmetr yordamida o'chanadi.

Lampali voltnetrning ishlash prinsipi quyidagichadir. Lampali voltnetrda qo'sh triodlarning to'rlariga tashqi kuchlanish berilmaganda ularning anodlaridagi potensial bir xil bo'lib, anodlari orasiga tok o'tmaydi. Agar triodlarning biror to'riga tashqi kuchlanish berilsa, anod tokining kuchi o'zgarishi tufayli, tegishli anod kuchlanishi ham o'zgaradi va milliampermestr orqali to'rga berilgan kuchlanishga proporsional bo'lgan tok oqa boshlaysi.

Triod to'riga ulangan qarsilik orqali fototokning o'tishi tufayli to'rga berilgan kuchlanish o'zgaridi. Triod to'riga ulangan qarsilik juda katta bo'lgani uchun (10^7 om), kichik fototok ham to'r kuchlanishining katta o'zgarishiga sabab bo'ladi. Bu esa triod anodlari orasidagi tokning orishiga sabab bo'ladi.

Shunday qilib, lampali voltmeter fotoelement anodida hosil bo'lgan surʼi (kichik) tokni kuchaytirib, uni o'chanash imkonini yaratadi.

Ishni bajarilish tartibi:

1. Ikkinchada to'yinish fototokining yorug'lik intensivligiga bog'lanishi o'rganiladi. Buning uchun T_1 tirkish maksimal ochiladi va barabansi vintni burab, fototokning maksimal qiymatiga mos keluvchi holati topiladi. So'ng T_1 tirkish oralig'i ma'lum qadam bilan kamaytirilib, unga mos keluvchi fototok yozib olinadi. Fotoelementga tushayotgan yorug'lik nurining intensivligi T_1 tirkish kengligi (d) ga to'g'ri proporsional bo'lgani uchun, T_1 tirkish kengligi bilan fototok orasidagi bog'lanishni aniqlash kifoya. O'chanashlarda tirkish oralig'ini 0,2 mm qadam bilan o'zgartirib borish ma'qul.
2. Fotoeffekting qizil chegarasiga mos keluvchi λ_0 ni aniqlab, unga mos keluvchi fotoelektronlarning chiqish ishi quyidagi formula hisoblanadi.

$$\varphi = \frac{hc}{\lambda_0}$$

Bunda tirkish 2 mm , baraban 3500^0 ; fototok bilan λ orasidagi bog'lanish chizib o'rganiladi.

3. Ish bajarijib bo'lingach, qurilmaga berilayotgan tok manbalarini o'chirish esdan chiqmasligi kerak.

Nazorat savollari

1. Fotoeffekt hodisasini tushuntiring?
2. Ichki va tashqi fotoeffekt hodisasida umumiylik va farqlar.
3. Fotoeffekt uchun Eynshteyn tenglamasini tushuntiring?
4. Fotoeffektning qizil chegarasini tushuntiring?
5. Erkin elektronda fotoeffekt hodisasi yuz bermasligini saqlanish qonunlari yordamida isbotlang.

№ 6 Laboratoriya ishi: Tashqi fotoeffekt va Kompton effektiga doir kompyuter eksperimentlari

Ishning maqsadi: 1-tajriba: Tashqi fotoeffekt hodisasini kompyuter eksperimenti orqali kuzatish, savollarga javob berish va o'chish xatoliklarini baholash;

2-tajriba: Kompton effektini kompyuter eksperimenti orqali kuzatish, savollarga javob berish va o'chish xatoliklarini baholash;

Kerakli jihozlar: Kompyuter, videoproktor, ekran, virtual laboratoriya ishi yozilgan disk.

I-tajriba. Tashqi fotoeffektga doir kompyuter eksperimenti

Nazariy qism

Kichik energiyali fotonning atom elektronni bilan o'zaro ta'sirida ikkitu holatni alohida qarash kerak: 1) elektron atom bilan kuchli bog'langan bu holda asosan fotoeffekt hodisasi kuzatiladi; 2) elektron atom bilan kuchsiz bog'langan bu holda asosan Kompton effekti kuzatiladi.

Fotoeffekt hodisasi bo'yicha to'liq ma'lumotlar №5 laboratoriya ishidu keltirilgan.

Qurilmanning tuzilishi va ishlari bajarish bo'yicha ko'rsatmalar

Agar fotoelementning emitteri (elektron chiqaruvchi elektrodi) ga yetarlicha qisqa to'lqin uzunlikdagi yorug'lik tushsa, u holda bu elektroddan elektronlar chiqishi kuzatiladi. Eynshteyn nazariyasiga ko'ra, foton metall yuzasida elektronni urib chiqadi. Bunday holda fotonning barcha energiyasi elektronga o'tadi va foton yo'qoladi. Barcha elektronlar Kulon tortishish kuchlari bilan metallda ushlab turilganligi sababli, metall yuzasidan elektronni urib chiqarish uchun mu'lum bir A_0 ishlini bajarish talab qilinadi (*bu ishl chiqishi ishl deb nomlanadi va ko'pchilik metallar uchun bu qiymat bir nechta elektron-chiqishi uchun tashqi atom elektronlariga qaratganda ko'proq energiya talab qilinadi.*) Atomning tubida joylashtган elektronlar ajralib

Agar tushayotgan nurning chastotasi kichik bo'lsa, u holda $h\nu < A_0$ bo'lib, foton energiyasi metall siridan elektronni urib chiqarishi uchun yetarli emas. Agar $h\nu > A_0$ bo'lsa, unda elektronlar

metall yuzasidan chiqadi va bunday jarayonda energiyaning saqlanish qonuni quyidagi ko'rindi.

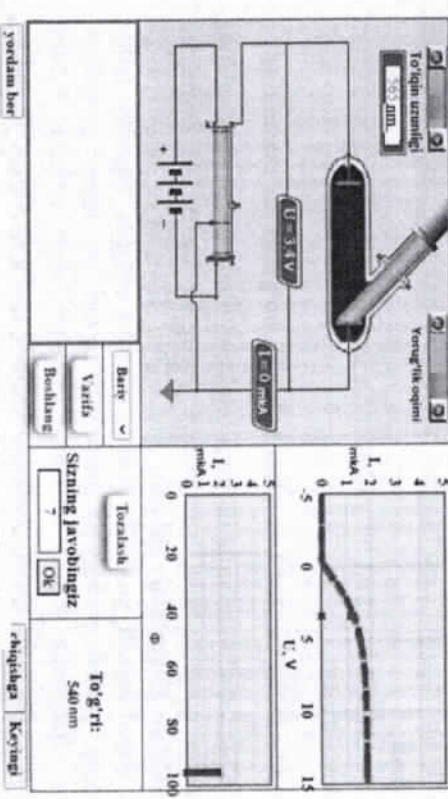
$$hv = W_{kin} + A_0 \quad (1)$$

yoki

$$hv = mv^2/2 + A_0. \quad (2)$$

bu yerda m — elektronning massasi, v — uning tezligi.

Monoxromatik nurlar dastasida, hamma fotonlar bir xil hv energiyaga sonining ko'payishini anglatadi, lekin chastota o'zgarishsiz qolsa, ularning energiyasiga ta'sir qilmaydi. Shunday qilib, fotonlar nazariyasi xususiyatlariiga yangi xususiyatlarni qo'shadi (difraksiya va qutblanish). Bu eski yorug'lik g'oyasidan voz kechishni talab qilmaydi; bu faqat fotonlar tushunchasini elektromagnit to'lqlar tushunchasi bilan birlashirishni talab qildi.



6.1-rasm. Virtual tajriba qurilmasi.

Fotoeffekt deganda, nurlanish ta'sirida metall yuzasidan elektronlar uchib chiqishiga aytildi. Fotoeffekt boshqa materiallarda ham kuzatilsada, metallarda oson kuzatildi.

Fotoeffekt elektromagnit nurlanishning kvant tabiatini tushuntirish uchun muhimdir. Eynishteyn 1921-yilda Nobel mukofotini "nazariy fizikaga qo'shgan hissasi va ayniqsa fotoeffekt qonunini kashf etganligi uchun" olgan.

Ushbu tajriba ishida fotoeffekt hodisasini o'rganish uchun qurilma mavjud. Havosi so'rib olingan shisha balon ichida kuchlanish manbaiga ulangan ikkita plastinka mavjud va tokni o'chash qurilmasi suiddi shu zanjirga ulangan. Yorug'lik oqimi diafragma tomonidan boshqariladi. Tajribalarni bajaring va "vazifa" tugmasini bosib virtual tajriba bo'yicha ekranida chiqadigan savollarga javob bering (6.1-rasm).

2-tajriba. Kompton effektiga doir kompyuter eksperimenti

Ishning maqsadi: Kompton effekti hodisani kompyuter eksperimenti orqali kuzatish, savollarga javob berish va o'chash solotliklarini baholash.

Kerakli jibozlar: kompyuter, videoproyektor, ekran, virtual laboratoriya ishi yozilgan disk.

Nazariy qism

Fotoeffekt bo'yicha o'tkazilgan tajribalardan ma'lum bo'ladiki, elektronlar modda atomiga bog'langan bo'lib bu bog'lanish energiyasi bir necha elektron-volt tartibida bo'lar ekan. Kompton o'z tajribasida energiyasi 17,5 keV bo'lgan rentgen fotonlaridan foydalangan. Ushbu energiya elektronlarning bog'lanish energiyasidan ancha yuqori bo'lgani uchun, bu elektronlarni erkin zarralar deb hisoblash sezilarli xatoga olib kelmaydi.

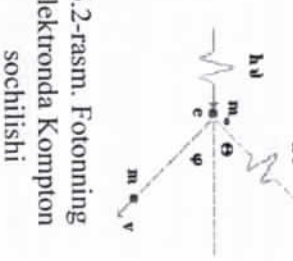
Energiyasi hv bo'lgan foton tinch holatdagi elektronga tushayotgan bo'lsin (6.2-rasm). Energiya va impulsning saqlanish qonunlarini ifodalovchi tenglamalarni yozamiz:

1) energiyaning saqlanishi: to'qnashuvgacha bo'lgan energiya (foton energiyasi hv va elektronning tinchlikdagi energiyasi) to'qnashuvdan keyingi energiya (sochilgan foton hv' va tepki elektronning umumiyligi energiyasi) ga teng bo'lishi kerak.

$$hv + m_0 c^2 = hv' + mc^2, \quad (3)$$

bu yerda, m_0 — tinchlik holatdagi elektronning massasi, m — horakatlanayotgan elektronning massasi, c — yorug'lik tezligi;

2) impulsning tushayotgan foton yo'nalishidagi komponentasining inqilishi: tushayotgan fotonning impulsi $p = E/c = hv/c$ elektron va



6.2-rasm. Fotonning elektronda Kompton sochiishi

sochilgan foton impluslarining, tushayotgan foton yo'nalishidagi impuls tashkil etuvchilarini yig'indisiga teng bo'lishi kerak

$$p = p' \cos\theta + m v \cos\varphi; \quad (4)$$

3) tushayotgan foton yo'nalishiga perpendikulyar impuls tashkil etuvchilarining saqlanishi: agar to qnashuvgacha ko'ndalang yo'nalishlarda impuls mavjud bo'lmasa, to qnashuvdan keyin foton va elektronning to'la impulsi nolga teng bo'lishi kerak. Boshqacha qilib aytganda, sochilgan foton va tepki elektron impulslarining ko'ndalang tashkil etuvchilari miqdor jihatdan teng va qarama-qarshi yo'nalgan bo'lishi kerak.

$$0 = p' \sin\theta + m v \sin\varphi; \quad (5)$$

4) tepki elektronlarining tezligi katta bo'lganligi sababli, nisbiylik nazariyasiga ko'ra, harakatlanayotgan elektron massasining relyativistik o'zgarishini hisobga olish kerak:

$$m = \frac{m_0}{\sqrt{1 - (v/c)^2}} \quad (6)$$

Kerakli matematik amallarni bajarib sochilgan foton chastotasining, tushayotgan foton chastotasiga hamda sochilish burchagiga bog'lanish ifodasini topamiz:

$$\frac{1}{v'} = \frac{1}{v} + \frac{h(1 - \cos\theta)}{m_0 c^2}, \quad (7)$$

yoki chastotalardan to'lqin uzunliklariga o'tsak,

$$\lambda = \lambda' + \frac{h(1 - \cos\theta)}{m_0 c}. \quad (8)$$

$h/m_0 c$ — kattalik *elektronning Kompton to'lqin uzunligi* deyiladi, uning son qiymati $\lambda = \frac{h}{m_0 c} = 2,4263096(15) \cdot 10^{-12} \text{ m}$.

Bu to'lqin uzunligi elektronning tinch holatdagi energiyasiga teng energiyali fotoning to'lqin uzunligidir. Tepki elektron harakat yo'nalishini ifodalovchi φ burchagini topish uchun yuqoridaq tenglamalardan quyidagi ifodani olamiz.

$$tg\varphi = \frac{1}{1 + \frac{hv}{m_0 c^2}} \operatorname{tg}\left(\frac{\theta}{2}\right). \quad (9)$$

Qurilmaning tuzilishi va ishni bajarish bo'yicha ko'rsatmalar

Foton detektoriga tushganda, detektor chiqishida elektr impulsi (tok va kuchlanishning qisqa vaqtida o'zgarishi) hosil bo'ladi. Bu impulsning amplitudasi (A) (6.3-rasm) yutilayotgan foton energiyasi $h\nu$ ga proporsional bo'ladi.

Tajriba davomida ekranada impuls analizatori bajarjan ishning natijasi chiqadi: absissa o'qi bo'yicha — impulsning amplitudasi, ordinata o'qi bo'yicha — shunduy amplitudali impulslar soni (ΔA) joylashtiriladi.

Foton detektorda qayd etilganda analizator detektor chiqishidagi impulsning amplitudasini o'chaydi va olingen qiymat bo'yicha shu amplitudali impulslar soniga birni qo'shadi. Analizatorni darajalash uchun energiyasi ma'lum bo'lgan fotonlarni o'chash kerak. Bizning qurilmada sochilmagan fotonlarning energiyasi 100 keV ga teng deb qabul qilingan. Birinchi tajribada detektor to'g'ri turgan holda o'chash kerak. Impuls amplitudasi energiyaga to'g'ri proporsional deb faraz qiling, va amplitudaning energiyaga bog'lanish koefitsiyentini aniqlang. Qat'iy belgilangan foton energiyasining turli fluktuatsiyalari to'fayli amplitudalarning ma'lum bir taqsimoti hosil bo'ladi. Shuning uchun energiyani o'rtacha amplituda orqali aniqlaymiz.

To'lqinlar qaytadigan yoki to'siqlarni aylanib o'tadigan hollarda, to'lqin uzunligi yoki chastota o'zgarmaydi. Shuning uchun, atomlarda sochilgan rentgen nurlari bilan o'tkazilgan Kompton tajribasida doshtabki v_0 chastotadan farq qiluvchi v' chastotaning hosil bo'lishi tushunarsiz edi. Chastotaning bunday o'zgarishi(siljishi) bilan kuzatiladigan sochilish Kompton effekti deb ataladi. Δv qiymati juda kichik bo'gani uchun, Kompton effekti faqat qisqa to'lqinli nurlanishda kuzatildi. Ushbu tajriba natijalarini fotoning impulsiga ega ekamligi, hamda u elektronlarni o'zaro to'quashgan ikkita shar kabi o'zaro ta'sirlashadi deb tushuntirish mumkin.

Kompton effektini o'rganish qurilmasi (6.4-rasm) rentgen tubkasiidan (1), monoxromatik rentgen nurlanishining ingichka distasini ajratuvchi ikkita diafragmadan (2), o'rganilayotgan moddadan tuyorlangan folgadan (3) va nurlanishni qayd etuvchi detektor (4) dan iborat.

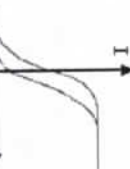
qanday Φ potensialgacha zaryadlash mumkin? Ruxning chiqish ish 1,74 eV.

teshilish(dielektrik teshilish, chaqnash) hosil bo'lganicha

4.0 V

2.5 V

6.2 V



sharcha zaryadlanmaydi

To'g'ri javobni belgilang va "kiritish" tugmasini bosing

A-savol. Grafikda vakuumlü fotoelementning volt-amper karakteristikaları ko'rsatilgan. Nikel katodi monoxromatik nur bilan yoritilgan. Egri chiziqlardagi farqlarning sababi nimada?

tushayotgan yorug'lik intensivligi

anodli material

yorug'lik chastotasi

aniq javob yo'q

savolga javob berish uchun ma'lumot yetarli emas

To'g'ri javobni belgilang va "kiritish" tugmasini bosing

4-savol. Kompton sochilishida elektron impulsi ... ga teng.

ortadi

γ -kvantining impulsiga teng bo'ladi

nolga kamayadi

o'zgarishsiz qoladi

nolga teng bo'lmagan qiymatgacha kamayadi

To'g'ri javobni belgilang va "kiritish" tugmasini bosing

5-savol. Kompton effekti natijasida atom elektronlaridan biri energiya oldi. Elektronning energiyasi γ -kvantning energiyasiga teng bo'lishi munkimi?

munkimi?

bu atomning tartib soniga bog'liq

bo'lishi mumkin emas

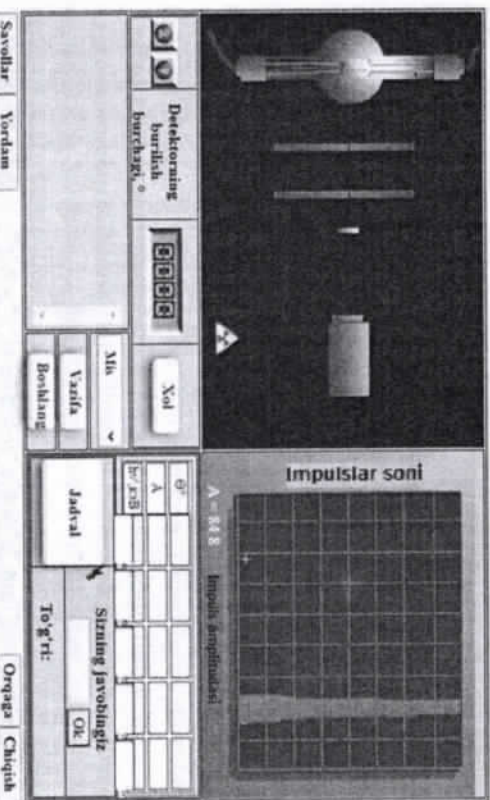
mumkin

bu elektronning asosiy kvant soniga bog'liq

γ -kvantning boshlang'ich energiyasiga bog'liq

To'g'ri javobni belgilang va "kiritish" tugmasini bosing

2-savol. To'lqin uzunligi 200 nm bo'lgan ultrabinafsha nurlanish bilan nurlantirish orqali boshqa jismlardan uzoqda turgan rux sharchani



6.4-rasm. Kompton effektni o'rjanish tariba qurilmasi

Detektorni folgaga nisbatan burish mumkin. Artur Kompton o'zining tajribalari va ularning natijalarini talqin qilganligi uchun (1922) 1927-yilda Nobel mukofotiga sazovor bo'ldi.

Virtual tajriba ishi qurilmasidagi "vazifa" tugmasini bosib savollarga javob bering va "savollar" tugmasini bosib ekran da chiqadigan quyidagi test savollariiga javob bering.

Test savollari

1-savol. Fotoeffekti natijasida biror gaz bilan to'ldirilgan kamerada elektron urib chiqariladi, uning energiyasi kvant energiyasidan 13,6 eV kam. Kamera qanday gaz bilan to'ldirilgan?

- ✓ to'g'ri javob uchun ma'lumot yetarli emas
- ✓ natruiy bug'i
- ✓ seziy bug'i
- ✓ getiy
- ✓ vodorod

To'g'ri javobni belgilang va "kiritish" tugmasini bosing

2-savol. To'lqin uzunligi 200 nm bo'lgan ultrabinafsha nurlanish bilan nurlantirish orqali boshqa jismlardan uzoqda turgan rux sharchani

6-savol. 10 keV energiyali rentgen nurlanishidan himoya qilish uchun, aluminijydan emas, qo'rg'oshin ekrandan foydalanish yaxshiroqdir,

chunki

to'g'ri javob berilmagan.

qo'rg'oshin atomida elektronlar ko'p.

qo'rg'oshin yadrosi katta zaryadga ega va elektronlar kuchli bog'langan.

qo'rg'oshin nurlanishni kuchliroq tarqatadi.

qo'rg'oshin atomi o'lchami katta.

To'g'rijavobni belgilang va "kiritish" tugmasini bosing

7-savol. Rasmda to'g'ri chiziqlardan biri fotoelektronlar maksimal kinetik energiyasining yorug'lik chastotasiga bog'iqligini ko'rsatadi.

Qaysi biri?

aniq javob yo'q

2

to'rt

bitta

3

To'g'rijavobni belgilang va "kiritish" tugmasini bosing

8-savol. Rasmda tormozlash kuchlanish Uning tushayotgan yorug'lik chastotasiga bog'iqligi ko'rsatilgan. Bu chiziqlar olingan shartlari qanday farq qiladi?

tushayotgan yorug'lik intensivligi
yorug'lik chastotasi

savolga javob berish uchun ma'lumot yetarli emas

katod moddasi
aniq javob yo'q

To'g'rijavobni belgilang va "kiritish" tugmasini bosing

9-savol. Fotoeffekt tajribasi natijalariga ko'ra qaysi doimiyning qiymatini topish mumkin?

Ridberg doimisi

Bolsman doimisi

Plank doimisi

bularning barchasi

yo'q

To'g'rijavobni belgilang va "kiritish" tugmasini bosing

10-savol. Kompton sochilishiha γ -kvantning to'lqin uzunligi ...

o'zgarishsiz qoladi

uzluksiz nolgacha kamayadi

diskret ravishda $h/2\pi$ ga karrali ko'payadi

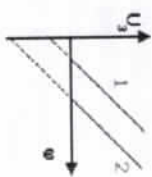
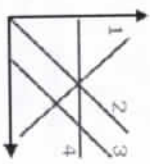
ortadi

minimal darajaga tushadi

To'g'rijavobni belgilang va "kiritish" tugmasini bosing

Nazorat savollari

1. Fotoeffekt hodisani ta'riflang.
2. Kompton effektini ta'riflang.
3. Kompton effektini o'rGANISH bo'yicha tajriba qurilmasi va ishlash prinsipini tushuntiring.
4. Fotoeffekt va Kompton effekti farqi nimada?



№ 7 Laboratoriya ishi: Yadroning planetar modeliga doir kompyuter eksperimenti

Ishning maqsadi: Tomson modeli va Rezervford tajribasini kompyuter eksperimenti orqali kuzatish, va qo'yilgan savollarga javob berish, o'lchash xatoliklarini baholash.

Kerakli jihozlar: kompyuter, videoproyektor, ekran, virtual laboratoriya ishi yozilgan disk.

Nazariy qism

Atom so'zi "bo'llimas" degan ma'nioni anglatadi. Bunga qadim zamonalardan beri ishonishgan. XIX asrning so'nggi o'n yilligida bir qator kashfiyotlar qilindi (rentgen nurlari, **Vabiy** radioaktivlik, elementar zaryad tashuvchisi — elektron mavjudligi), bu atomlarning murakkab tuzilishga ega ekanligini anglashga olib keldi.

Atomning birinchi modeli J. Tomson tomonidan taklif qilingan: musbat zaryad atomning butun hajmini egallaydi va unda elektronlar tekis taqsimlangan. Rezervford va uning hamkasbleri ishning haqiqiy holatini aniqlashni o'z zimmalariga oldilar. Ular atomlarni alfa zarralari bilan tekshirish bo'yicha tajribalar o'kkazdilar. Ushbu zarralar radiy va boshqa elementlarning parchalanishi vaqtida hosil bo'ladi va geliy yadrolari, ya'ni to'liq ionlashgan geliy atomlaridan iborat. Alfa-zarrachaning massasi elektronnikidan deyarli 8000 marta ko'pdir, shuning uchun ular elektronlar bilan to'qnashganda yo'nalishda sezilarli o'zgarish bo'jadi deb kutmaslik kerak. Sochilish (harakat yo'nalishi o'zgarishi) faqat atomning musbat zaryadlangan qismida kelib chiqishi mumkin. To'qnashuvda itarish burchagi qiymati, aniqrog'i sochilgan zarralar soni $N(\varphi)$ ning sochilish burchaga ga bog'liqligi, atom ichidagi musbat zaryad va massaning taqsimlanish xususiyatini aniqlay oladi. 180° ga yaqin burchak ostida sochilishlar kuzatilganligi sababli, Rezervford atomning asosiy qismi va musbat zaryad juda kichik hajnda — atom yadrosoida to'plangan deb gumon qildi. Yadro o'lchamini atom o'lchamiga nisbatan ahamiyatsiz deb faraz qilib, Rezervford nazariv $N(\varphi)$ bog'liqlikni hisoblab chiqdi. Olingan natijalarning eksperiment natijalari bilan qanchalik to'g'ri kelishimi, kompyuter tajribasini o'tkazish orqali tekshirish mumkin. Ekranda tajriba qurilmasining qisqacha tavsifi ko'rsatiladi.

Tajribalar va hisoblashlar natijasida, atomning markazida musbat zaryadlangan yadro joylashgan, va uning atrofida elektronlar harakat qilishi ma'lum bo'ldi. Quyidagi savol tug'iladi: elektronlar atonda qanday harakatlanadi? Ularning yadro atrofidagi turli nuqtalarda topilish ehtimoliyati qanday?

Nils Bor elektronlar statcionar orbitalarda harakat qiladi deb

luxmin qildi. Bu faraz unga o'sha paytgacha ma'lum bo'igan vodorod spektridagi qonuniyatlarni tushuntirishga imkon berdi. Chastotani hisoblashning ariqligi milliondan bir ulushda tajriba bilan mos tushadi.

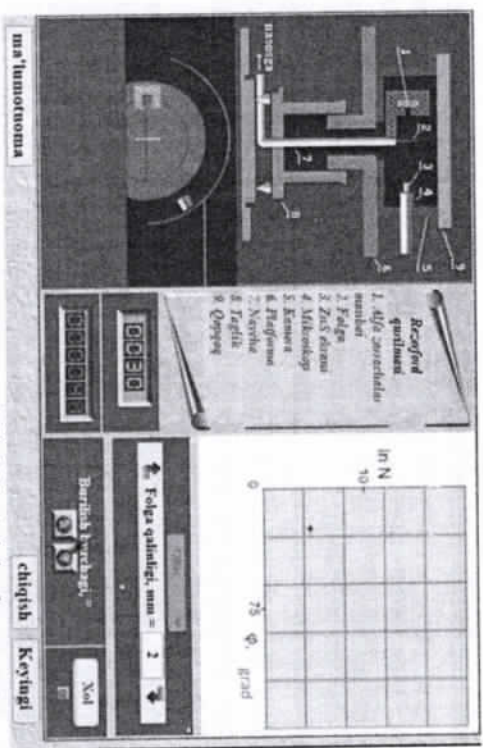
Anno keyingi tajribalar shuni ko'rsatdiki, atomdagи elektronlar harakatining tabiatini Quyosh tizimi sayyoralar bilan umuman bir xil emas. Buni zarrachalarning sochilish tajribalari natijalarini turli nazariy modellar asosida hisoblashlar orqali tekshirish mumkin. Tajribada murlantiruvchi zarralar sifatida yengil elektronlarni olish maqsadga muvofiq. Ular harakatining dastlabki yo'nalishidan cheitanishi atom elektronlari soni va joylashishiga sezgir. Alfa zarralardagi kabi, sochilgan elektronlarning $N(\varphi)$ burchak taqsimlanishini o'lchash kerak bo'ladi. Shunday qilib tajriba g'oyasi oddiy bo'lib quyidagi tartibda bajaritadi: biz atomlarda elektronlar harakatining u yoki bu usulini o'mamatiz, sochilgan elektronlarning burchak taqsimotini hisoblaymiz, va tajriba o'kkazamiz. Nazariy va eksperimental bog'liqlikarni tueqqoslagandan so'ng biz harakat modelini qabul qilamiz yoki rad etamiz va yangi modelga ega bo'lamiz.

Zarralarning sochilishi. Rezervford tajribasi

Ushbu laboratoriya ishida atom tuzilishini o'rganish maqsadida zarralarning sochilishi bo'yicha kompyuter eksperimenti (7.1-rasm) taklif etiladi. Bu tajriba birinchi marta 1906-yilda Rezervford tomonidan bujarilgan bo'lib yupqa folgada sochilgan α -zarralar soni N ning sochilish burchagi φ ga bog'lanishi o'rGANILGAN. Olingan eksperimental bog'lanish chizig'i ini Tomson modeli (musbat va manfiy zaryadlarning atomda bir tekis taqsimlanishi) va Rezervford modeli (musbat zaryadlar atom markazida to'plangan) bilan taqoslanadi.

Tajriba ishini bajarishni folga materiali va qalinligini tanlashdan boshlang. Keyin esa detektorning turli holatlari (φ ning turli qiyatlari) sochilgan α -zarralar sonini o'lchang. Eksperiment natijalari bo'yicha xulosalarini yozing.

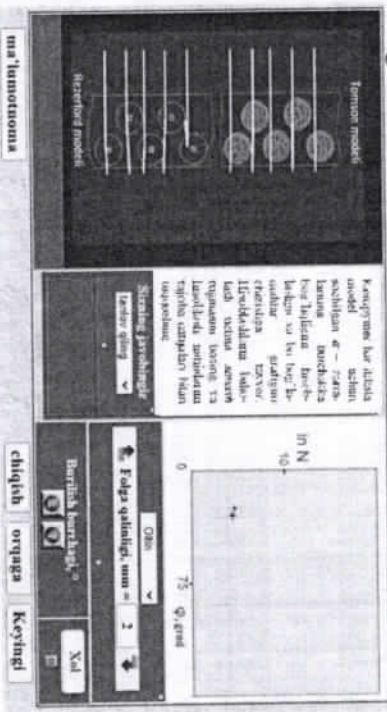
“Keyingi” tugmasini bosing va ekranda 7.3-rasmagi tasvir paydo bo’ladi. Hisoblashlarni baholash uchun *sanash* tugmasini bosing va hisoblash natijalarini tajriba natijalari bilan taqoslang.



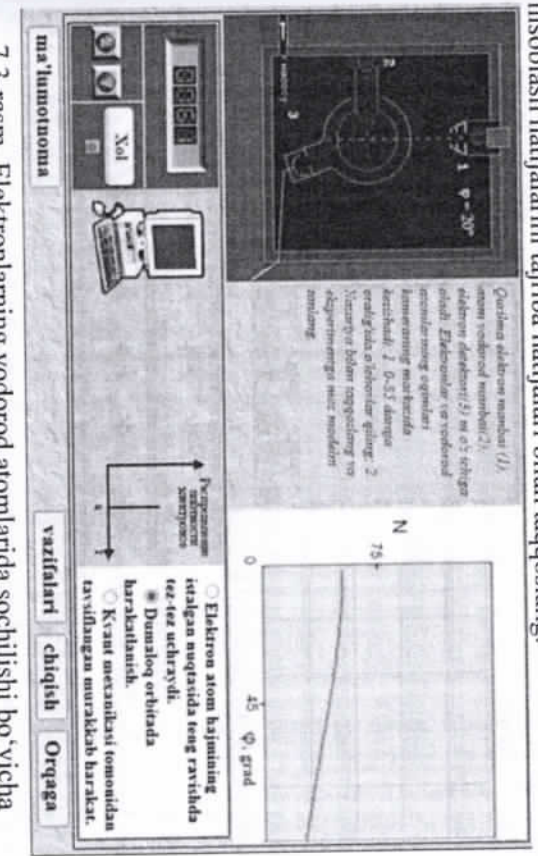
7.1-rasm. α – zarralarning sochilishi bo'yicha kompyuter eksperimenti.

“Keyingi” tugmasini bosing va Thomson modeli va Rezervford modelini solishtiring.

Kompyuter har ikkala model uchun sochilgan α – zarralarning burchakka bog’liqligini hisoblashga va bu bog’lanishlar grafigini chizishga imkon beradi(7.2-rasm). Hisoblashlarni baholash uchun *sanash* tugmasini bosing va hisoblash natijalarini tajriba natijalari bilan taqoslang.



7.2-rasm. Virtual tajriba davomida Thomson va Rezervford modellarini solishtirish.



7.3-rasm. Elektronlarning vodorod atomlarida sochilishi bo'yicha kompyuter eksperimenti.

Elektronlarning sochilishi

Endi “Atomda elektronlar harakati qanday?” — degan savolga javob beramiz. Elektronlar qanday hajmi egallaydi, qayerda kamroq uchraydi? Bu savollarga javob berish uchun elektronlarning sochilishi bo'yicha tajribalar o'tkazib o'chash natijalarini turli modellar bo'yicha hisoblash natijalari bilan taqoslaymiz. Buning uchun yengil zarralar — elektronlar bilan atomni nurlantirish lozim, chunki ularning dastlabki yo'nalishidan og'ishi atom elektronlari joylashuviga juda sezgir bo'ladi. Alfa zarralar bilan o'tkazilgan tajibalardagi singari sochilgan elektronlarning burchak taqsimoti $N(\varphi)$ o'chanadi.

Dastlab elektronlar sochilishi bo'yicha tajribani o'tkazing va bu natijalarni atomda elektronlar harakatiga doir biror model bilan taqoslang. Nazriy va eksperimental $N(\varphi)$ bog’lanishlarning mosligiga qarab tanlangan modelning yaroqiligi haqida xulosa chiqaring. Bu tajribani boshqa modellar uchun takrorlang. “Vazifalar” tugmasini bosit kompyuter ekranida ko'rindigan test savollariiga javob bering va tajriba bo'yicha bilimingizni baholang.

Test savollari

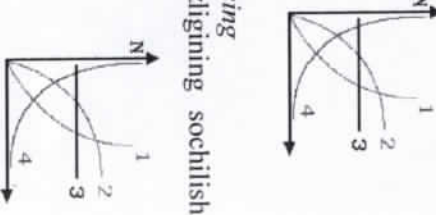
1-savol. Sanash tezligining yadrolearning zaryadiga bo'liqligini qaysi egri chiziq ko'rsatishi mumkin?

1. ♂ to'rt
2. ♂ 3
3. ♂ Hammasi mumkin
4. ♂ T.J.Y
5. ♂ bitta

To'g'rijavobni belgilang va "kiritish" tugmasini bosing

2-savol. Grafikdagi qaysi egri chiziq sanash tezligining sochilish burchagiga bog'liqligini ko'rsatishi mumkin?

1. ♂ 2
2. ♂ Hammasi mumkin
3. ♂ T.J.Y
4. ♂ 3
5. ♂ to'rt



To'g'rijavobni belgilang va "kiritish" tugmasini bosing
3-savol. Agar yadrolearning kattaligi bir xil zaryadga ega bo'lgan atomlar o'lchamiga ostgan bo'lsa, biz buni aniqlay olamizmi?

1. ♂ aniq javob yo'q

2. ♂ yo'q, chunki detektorni sanash tezligi juda kam o'zgaradi
3. ♂ ha, chunki detektorning sanash tezligi o'zgarmaydi
4. ♂ yo'q, chunki detektorning sanash tezligi o'zgarmaydi
5. ♂ ha, chunki detektorning sanash tezligi oshadi

To'g'rijavobni belgilang va "kiritish" tugmasini bosing
4-savol. Grafiķning qaysi egri chiziq'i sanash tezligining nishon qalinligiga bog'liqligini ko'rsatadi?

1. ♂ 2
2. ♂ T.J.Y
3. ♂ to'rt
4. ♂ Hammasi mumkin
5. ♂ 3

To'g'rijavobni belgilang va "kiritish" tugmasini bosing
5-savol. Sochilish burchagini 5 dan 10 darajagacha oshirish ...

1. ♂ sochilgan zarrachalar sonini 2 barobar ko'paytiradi
 2. ♂ sochilgan zarrachalar sonini taxminan 16 baravar kamaytiradi
 3. ♂ sochilgan zarrachalar sonini 2 baravar kamaytiradi
 4. ♂ sochilgan zarrachalar sonini o'zgartirmaydi
 5. ♂ sochilgan zarrachalar sonini 4 baravar kamaytiradi
- To'g'rijavobni belgilang va "kiritish" tugmasini bosing*
6-savol. Rezerford formulasi neytronlearning sochilishini tavsiflash uchun o'rinnimi?
1. ♂ bu ularning dastlabki energiyasiga bog'liq
 2. ♂ ha, chunki ularning massasi taxminan protonlarning massasiga teng
 3. ♂ bu nishon materialga bog'liq
 4. ♂ ha, chunki ular, protonlar singari, yadroviy ta'sirga ega
 5. ♂ yo'q, chunki neytronlar Kulon ta'sirlashuvida qatnashmaydi

To'g'rijavobni belgilang va "kiritish" tugmasini bosing
7-savol. Nishonga tushayotgan zarralar tezligi o'zgarmagan holda, nishon materiali va qalniliqi o'zgartirildi. Bu holda sochilgan zarralarni sanash tezligi o'zgarmasligi mumkimi?

1. ♂ ha, agar siz faqat nishon qalniliqini oshirsangiz
2. ♂ bu ularning dastlabki energiyasiga bog'liq
3. ♂ bu nishon materialga bog'liq

4. ♂ bu o'zgarishlar sanash tezligiga ta'sir qilmaydi
5. ♂ ha, agar Z ning ortishi bilan nishonning qalniliqi pasaysa

To'g'rijavobni belgilang va "kiritish" tugmasini bosing
8-savol. Nishon qalniliqini 5 dan 10 nmkm gacha oshirish ...

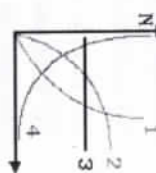
1. ♂ sochilgan zarrachalar sonini o'zgartirmaydi
2. ♂ sochilgan zarrachalar sonini ko'paytiradi
3. ♂ sochilgan zarrachalar sonini kamaytiradi, chunki zarrachalarning detektorga yetib borishi qiyinroq
4. ♂ aniq javob yo'q
5. ♂ sochilgan zarrachalar sonini kamaytiradi, chunki nishondagi energiya yo'qotishlari ko'payadi

To'g'ri javobni belgilang va "kritish" tigmashini bosing
9-savol. Birlamchi nurning energiyasini boshqa parametrlar o'zgarishsiz holda oshirish ...

1. ⚡ detektorni sanash tezligini pasaytiradi
2. ⚡ zarralar turiga qarab sanash tezligini o'zgartiradi
3. ⚡ nishon materialga bog'liq holda sanash tezligini o'zgartirradi
4. ⚡ detektorning sanash tezligini o'zgartirmaydi
5. ⚡ detektorni sanash tezligini oshiradi

To'g'ri javobni belgilang va "kritish" tigmashini bosing
10-savol. Grafikdagi qaysi chiziq nishondagi yadolar soni o'zgarmagan holda, uning zichligiga bog'lanishini ko'rsatadi?

1. ⚡ Hammasi mumkin
2. ⚡ T.J.Y
3. ⚡ to'rt
4. ⚡ 3
5. ⚡ 2



To'g'ri javobni belgilang va "kritish" tigmashini bosing

Nazorat savollari

1. Yadroming planetar modeli haqida nimalarни bilasiz?
2. Tomson modeli qanday?
3. Rezerford modelini tushuntiring?
4. Tomson modeli bilan Rezerford modelining farqi nimada?

$$\frac{1}{\lambda} = R \left(\frac{1}{2^2} - \frac{1}{m^2} \right)$$

bu yerda, $m = 3, 4, 5, \dots$

$$R = 1,097 \cdot 10^7 m^{-1}$$
 (Ridberg doimisi).

Keyinchalik ultrabinafsa va infraqizil sohalarda to'iqin uzunligi shunga o'xshash formula bilan tavsiflangan boshqa chiziqlar seriyasi mayjudligi aniqlandi. Nurlanish spektrining chiziqli xarakterini tushuntirish uchun, N. Bor atomning diskret energiyali statisjonar holatlari tushunchasini kiritdi. Shunga o'xshash spektral qonumiylattar vodorodsimon atomlarda ham kuzatildi. Atomga katta energiya berilganda uning ionlanishi, ya'ni atomdan elektronning ajralish kuzatildi.

Vodorod atomi spektridagi nurlanish seriyalari (8.1-rasm) to'iqin uzunliklari uchun Balmerning umumlashgan formulasidan foydalanim mungkin.

№ 8 Laboratoriya ishi: Atomlarning spektrlariga doir kompyuter eksperimenti

Ishning maqsadi: Atomning nurlanish spektrlari hodisani kompyuter eksperimenti orqali kuzatish, va savollarga javob berish, o'lchash xatoliklarini baholash.

Kerakli jihozlar: kompyuter, videoproyektor, ekran, virtual laboratoriya ishi yozilgan disk.

Nazariy qism

Siyrak gazlarni ular o'zlaridan nur chiqaradigan qilib uyg'otish mumkin. Bunga kuchli qizdirish yoki gaz razyad trubasiga yuqori kuchlanish berish orqali erishish mumkin. XIX asrning boshlardida siyraklashgan gazlarning nurlanish spektri chiziqli ekanligi, ya'ni nurlanish intensivligi ma'lum bir to'iqin uzunliklar uchun noldan farqli bo'lishi aniqlandi. Shu bilan birga, har bir atom uchun o'zing to'iqin uzunligi to'plami mavjud. Vodorod eng oddiy atom bo'sib, u yadro va bitta elektronдан iborat. Vodorodning spektri eng oddiy ko'rinishda bo'ladi. Spektrining ko'rindagidan qismidagi chiziqlar orasidagi masofalar 1885-yilda Shveytsariya maktab o'qituvcisi va ayni payda Bazel universiteti doktori logann Balmer tomonidan topilgan qonunga muvofiq kamayib boradi,

$$\frac{1}{\lambda} = R \left(\frac{1}{2^2} - \frac{1}{m^2} \right)$$

$$\frac{1}{\lambda} = R \left(\frac{1}{n^2} - \frac{1}{m^2} \right)$$

bu yerda, $n = 1, 2, 3, \dots, m = n + i, i = 1, 2, \dots$

Layman seriyasi: $n = 1, m = 2, 3, 4, \dots$

Balmer seriyasi: $n = 2, m = 3, 4, 5, \dots$

Pashen seriyasi: $n = 3, m = 4, 5, 6, \dots$ va hokazo.

N. Bor atomdag'i elektron yuqori energiyali holatdan kichikroq energiyali holatga o'tishida nuriyanish chiqarishini hamda bu holatlar energiyalari diskret ekanligini taxmin qildi. Har bir o'tishda chiqayotgan fotomning energiyasi quyidagi formuladan aniqlanadi (energiyaning saqlanish qonuni).

$$h\nu = E_m - E_n$$

bu yerda, m -yuqori energiyali holat tartibi, n — past energiyali holat tartibi.

Agar kvant energiyasi elektronvoltlarda ifodalangan bo'lsa, unda foton energiyasi uchun quyidagi ifodadan foydalanish mumkin:

$$h\nu = 13,6 \left(\frac{1}{n^2} - \frac{1}{m^2} \right) \text{ eV.}$$

Agar ikkita zaryad bir-biridan cheksiz uzoqda bo'lsa, ularning o'zaro ta'sir kuchi nolga teng. Zaryadlarni bir-biriga yaqinlashtirish uchun energiya sarflash kerak bo'lsa potensial energiya (o'zaro ta'sir energiyasi) musbat hisoblanadi. Atomga bog'langan elektronlar yadroga tortilganligi uchun energiyasi manfiy ($E < 0$) bo'ladi:

$$E = \frac{13,6}{n^2} \text{ eV,}$$

$n = 1, 2, 3, \dots$

Yadroga bog'langan bitta elektroni bo'lgan ionlashgan atomlar (He^+ , Li^{++}, \dots), vodorodsimon atomlar deyiladi va ularning spektrlari vodorod spektriga o'xshash bo'lsada, mos chastotalari vodorod spektridagi chastotadan Z^2 marta katta bo'ladi (Z -yadrodag'i protonlar soni):

$$h\nu = 13,6 Z^2 \left(\frac{1}{n^2} - \frac{1}{m^2} \right) \text{ eV,}$$

bu yerda, $n = 1, 2, 3, \dots$

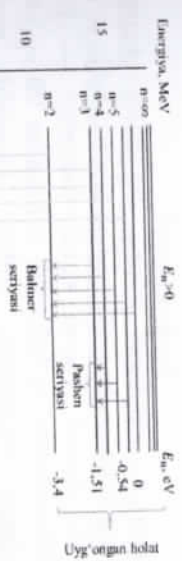
$m = n + i, \quad i = 1, 2, \dots$

Atomdan elektronlarni ajratish uchun zarur bo'lgan minimal energiya elektronning bog'laniш energiyasi yoki E_i — atomning ionizatsiya energiyasi deb ataladi. Agar yutilgan kvantning energiyasi

elektronning bog'laniш energiyasidan kattaroq bo'lsa, u holda bu energiyalar farqi kinetik energiya ko'rinishida uzatiladi (energiya biqqlanish qonuni amal qiladi!)

$$\frac{mv^2}{2} = h\nu - E_i$$

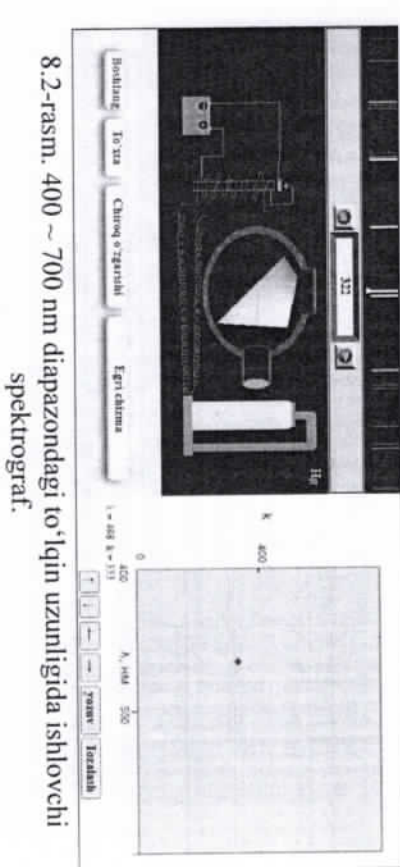
Spekt'r chiziq'i	Simob spektrining eng yorqin chiziqlari
Birinch'i binafsa rang	To'iqin uzunligi (nm)
Ikkinchi binafsa rang	404.6
Moviy (ko'k olsasining eng yorqin rangi)	407.8
	435.8
Birinch'i ko'k	491.6
Ikkinchi ko'k	494.0
Yashil rangli	546.1
Birinch'i sariq	577.0
Ikkinchi sariq	579.0
Ozil (oxiqi qizil)	690.7



8.1-rasm. Vodorod atomi nurlanishining spektral seriyalari.

Qurilmaning tuzilishi va ishlari bajarish tartibi

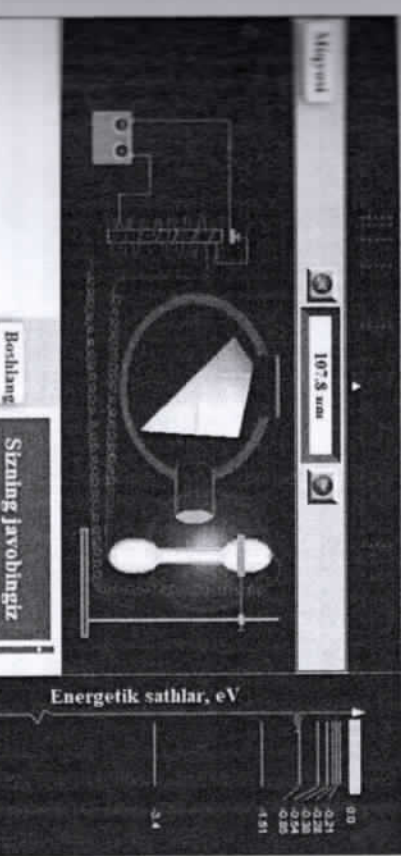
Eksperimental qurilma (8.2-rasm) dastlab simob bug'lari bilan to'ldirilgan naychadan (kvarts shisha), yuqori voltli konvertor — Rumkorff g'altaklari va 400 ~ 700 nm diapazondagi to'lqin uzunligida ishlovchi spektrografdan iborat. Zanjirdagi kalitni ulash orqali, naychaga yuqori kuchlanish beriladi va unda gaz razyadi hosil bo'adi. Gaz atomlarining nurlanishi spektrlarga ajratiladi. Siz ixtiyoriy chiziqning to'lqin uzunligini bu spektr chizig'ini sijitish va bu chiziqni ko'rsatgich to'g'risiga keltirish orqali nisbiy k birlilikarda aniqlashingiz mumkin. Spektrografni darajalash uchun simobi lampa kerak (simobning eng yorqin chiziqlarining to'lqin uzunligi "ma'lumotnomalar" da keltirilgan). Grafikda darajalash chiziq'i chizildi. "Boshlash" tugmachasini bosib tajribani boshlang.



8.2-rasm. 400 ~ 700 nm diapazondagi to'lqin uzunligida ishlovchi spektrograf.

"Davom etirish" tugmasini bosing. Bu holda eksperimental qurilma yuqorida holatdan farq qilib simob bug'lari bilan to'ldirilgan naychadan (kvarts shisha), yuqori voltli konvertor — Rumkorff g'altaklari ultrabinafsidan to infraqizil sohagacha 90 ~ 5000 nm bo'lgan spektrlarni kuzatishga imkon beruvchi mukammal spektrografdan iborat (8.3-rasm). Zanjirdagi kalitni ulash orqali, naychaga yuqori kuchlanish beriladi va unda gaz razyadi hosil bo'adi. Gaz atomlarining nurlanishi spektrlarga ajratiladi. Ultrabinafsha va infraqizil diapazonning chiziqlari ko'zga ko'rinnmaydi va shartli ravishda uzlukli chiziqlar bilan ko'rsatilgan. Siz o'z xohishingiz bo'yicha tasvir mashtabini yoki spektrografning ajrata olish qobiliyatini o'zgartirishingiz, spektrni tugmachani bosish orqali sijitib

sohlagan chiziqni ko'rsatkich ostiga joylashtirish va uning to'lqin uzunligini aniqlashingiz mumkin. Tajribani "boshlash" tugmachasini hujrida orqali boshlang.



8.3-rasm. 90 ~ 5000 nm diapazondagi to'lqin uzunligida ishlovchi spektrograf.

"Vizifalar" tugmasini bosib kompyuter ekranida ko'riadiqan test savollari javob bering va tajriba bo'yicha bilimingizni baholang.

Test savollari

I savol. Rasmda atomning energiya sathlari diagrammasi keltirilgan. Keltirilgan qaysi sathlar orasida maksimal chastotali foton chiqishi nolni bo'adi?

- 1. 1 > 2
- 2. 3 > 2
- 3. 2 > 3
- 4. 2 > 1
- 5. 3 > 1

To'g'ri javobni belgilang va "kiritish" tugmasini bosing

2-savol. Vodorod atomidagi elektronning beshinchchi energetik sathdan ikkinchi energetik sathga o'tishda chiqadigan elektromagnit nurlanishining to'lqin uzunligini aniqlang.

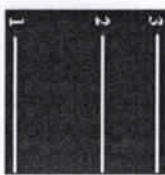
1. ♂ 411 nm
2. ♂ 434 nm
3. ♂ 365 nm
4. ♂ 486 nm
5. ♂ 656 nm

To'g'rijavobni belgilang va "kiritish" tugmasini bosing

3-savol. Rasmida atomning energiya sathlari diagrammasi keltirilgan.

Kelturilgan qaysi sathlar maksimal to'lqin uzunligiga ega bo'lgan fotomning yutilishi bilan sodir bo'ladi?

1. ♂ 2->1
2. ♂ 3->2
3. ♂ 1->2
4. ♂ 3->1
5. ♂ 2->3



To'g'rijavobni belgilang va "kiritish" tugmasini bosing

4-savol. Vodorod atomida birinchi energetik sathdan beshinchchi energetik sathga o'tishi uchun elektronlarning minimal tezligi qanday bo'lishi kerak?

1. ♂ 2,06 mm / s

2. ♂ 2,19 mm / s
3. ♂ 2,12 mm / s
4. ♂ 2,14 mm / s
5. ♂ 1,89 mm / s

To'g'rijavobni belgilang va "kiritish" tugmasini bosing

5-savol. Vodorod atomining birinchi energiya holatidan uchinchisiga o'tish paytida uning energiyasi necha marta o'zgaradi?

1. uch baravar ko'payadi
2. ♂ to'g'rijavob berilmagan
3. ♂ to'qqiz marta ko'payadi
4. ♂ to'qqiz marta kamayadi

5. ♂ uch baravar kamayadi

To'g'rijavobni belgilang va "kiritish" tugmasini bosing

6-savol. Vodorod atomi gamma kvantini yutib, ikkinchi energetik sathdan uchinchchi energiya sathiga o'tdi. Tushayotgan nurlanishing to'lqin uzunligi qanday?

1. ♂ 486 nm
2. ♂ 434 nm
3. ♂ 656 nm
4. ♂ 411 nm
5. ♂ 365 nm

To'g'rijavobni belgilang va "kiritish" tugmasini bosing

7-savol. To'lqin uzunligi 498 nm bo'lgan foton bilan nurlanrilganda vodorod atomidagi elektronning energiyasi qancha o'zgargan?

1. ♂ 2,40 eV
2. ♂ 2,34 eV
3. ♂ 2,22 eV
4. ♂ 2,63 eV
5. ♂ 2,50 eV

To'g'rijavobni belgilang va "kiritish" tugmasini bosing

8-savol. Vodorod atomini ionlashtirish uchun qanday maksimal to'lqin uzunlikli yorug'lik bilan uni nurlantirish kerak?

1. ♂ 102,6 nm
2. ♂ 66,8 nm
3. ♂ 40,2 nm
4. ♂ 121,6 nm
5. ♂ 91,2 nm

To'g'rijavobni belgilang va "kiritish" tugmasini bosing

9-savol. 1897-yilda astronom Pikerin yulduz spektrida Balmer formulasi bilan ifodalanishi mumkin bo'lgan, ammo kvant raqamlari = 2,5; 3; 3,5; 4; 4,5; bo'lgan chiziqlar to'plamini topdi. Ushbu ifolyaning paydo bo'lishi sababi...

2-savol. Vodorod atomidagi elektronning beshinchchi energetik sathdan ikkinchi energetik sathga o'tishda chiqadigan elektromagnit nurlanishining to'lqin uzunligini aniqlang.

1. ♂ 411 nm
2. ♂ 434 nm
3. ♂ 365 nm
4. ♂ 486 nm
5. ♂ 656 nm

To'g'rijavobni belgilang va "kiritish" tugmasini bosing

3-savol. Rasmida atomning energiya sathlari diagrammasi kelturilgan.

Kelturilgan qaysi sathlar maksimal to'lqin uzunligiga ega bo'lgan fotonning yutilishi bilan sodir bo'ladi?

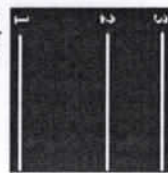
1. ♂ 2->1

2. ♂ 3->2

3. ♂ 1->2

4. ♂ 3->1

5. ♂ 2->3



To'g'rijavobni belgilang va "kiritish" tugmasini bosing

4-savol. Vodorod atomida birinchi energetik sathdan beshinchchi energetik sathga o'tishi uchun elektronlarning minimal tezligi qanday bo'lishi kerak?

1. ♂ 2,06 mm / s

2. ♂ 2,19 mm / s

3. ♂ 2,12 mm / s

4. ♂ 2,14 mm / s

5. ♂ 1,89 mm / s

To'g'rijavobni belgilang va "kiritish" tugmasini bosing

5-savol. Vodorod atomining birlinchi energiya holatidan uchinchisiga o'tish paytida uning energiyasi necha marta o'zgaradi?

1. uch baravar ko'payadi
2. ♂ to'g'rijavob berilmagan
3. ♂ to'qqiz marta ko'payadi
4. ♂ to'qqiz marta kamayadi

5. ♂ uch baravar kamayadi

To'g'rijavobni belgilang va "kiritish" tugmasini bosing

6-savol. Vodorod atomi gamma kvantini yutib, ikkinchi energetik sathdan uchinchchi energiya sathiga o'tdi. Tushayotgan nurlanishning to'lqin uzunligi qanday?

1. ♂ 486 nm

2. ♂ 434 nm

3. ♂ 656 nm

4. ♂ 411 nm

5. ♂ 365 nm

To'g'rijavobni belgilang va "kiritish" tugmasini bosing

7-savol. To'lqin uzunligi 498 nm bo'lgan foton bilan nurlanrilganda vodorod atomidagi elektronning energiyasi qancha o'zgargan?

1. ♂ 2,40 eV

2. ♂ 2,34 eV

3. ♂ 2,22 eV

4. ♂ 2,63 eV

5. ♂ 2,50 eV

To'g'rijavobni belgilang va "kiritish" tugmasini bosing

8-savol. Vodorod atomini ionlashtirish uchun qanday maksimal to'lqin uzunlikli yorug'lik bilan uni nurlantirish kerak?

1. ♂ 102,6 nm

2. ♂ 66,8 nm

3. ♂ 40,2 nm

4. ♂ 121,6 nm

5. ♂ 91,2 nm

To'g'rijavobni belgilang va "kiritish" tugmasini bosing

9-savol. 1897-yilda astronom Pikering yulduz spektrida Balmer formulasi bilan ifodalanishi mumkin bo'lgan, ammo kvant raqamlari = 2,5; 3; 3,5; 4; 4,5; bo'lgan chiziqlar to'plamini topdi. Ushbu nurlanishing paydo bo'lishi sababi...

- c uzoqdagi yulduzzagi jarayonlarda energiyaning saqlanib qolmasligi
- c gelij ionlarining emissiyasi
- c ishqoriy metallarning bug'larini chiqarish
- c hodisani tushuntirish sir bo'lib qoldi
- c vodorod atomlarining maxsus holatdag'i nurlanishi

To 'g'ri javobni belgilang va "kiritish" tugmasini bosing

- 10-savol.** Vodorod atomining ikkinchi statcionar holatdan birinchi holatga o'tishi paytda chiqadigan yorug'lik chastotasi qanday? R — Ridberning doimiyisi, c — yorug'lik tezligi.

- c $3Rc/4$
- c $8Rc/9$
- c $Rc/2$
- c $Rc/4$
- c $2Rc/3$

To 'g'ri javobni belgilang va "kiritish" tugmasini bosing

Nazorat savollari

- Vodorod atomi uchun Bor nazariyasining asosiy g'oyalalarini tushuntiring.
- Vodorod atomi spektral seriyalari uchun Balmerning umum-lashgan formulasini tushuntiring.
- Balmerning umumlashgan formulasi xususiy holatlarni tushuntiring.

№ 9 Laboratoriya ishi: Frank-Gers tajribasini o'rganish (atomlarning uyg'onish potensialini aniqlash)

Ishning maqsadi: Nils Bor nazariyasining to'g'riligini Frank va Gers tajribalari asosida tekshirish.

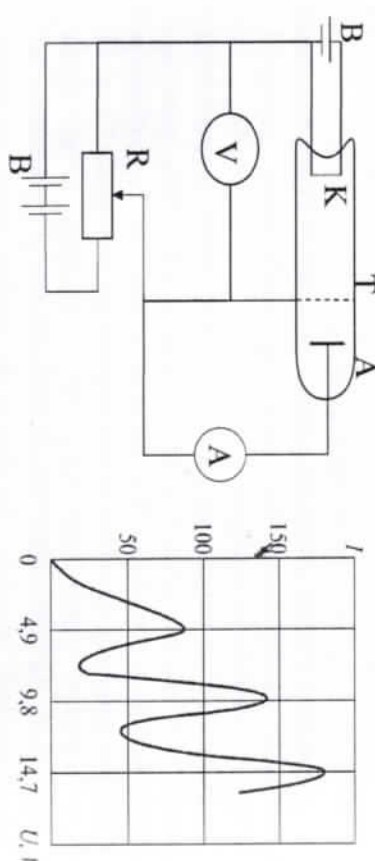
Kerakli jihozlar: Argon to'ldirilgan TG -1-0,1/0,3 tiratron, (10-10)V mo'ljallangan voltmetrlar, 160 μA ga mo'ljallangan mikroampermetr, 1A ga mo'ljallangan ampermetr.

Atomning diskret energetik sathlari mavjudligi Frank va Gers tajribalrida tasdiqlangan. Bu tajribadagi qurilmaning principial ikkemasi 9.1-rasmda ko'rsatilgan.

Havosi so'rib olingan shisha trubka 1 mm simob ustuni bosimi ostida simob bug'lari bilan to'ldirilgan va unga katod (K), anod (A), to'r (T) vazifasini o'taydigan elektrodlar joylashtirilgan. Termoelektron emissiya natijasida katoddan uchib chiqayotgan elektronlar katod va to'r orasidagi potensiallar farqi (U) hisobiga to'rga qarab tezlashdiriladi. Bu potensiallar farqini potensiometr (P) yordamida bir tekis o'zgartirish mumkin. To'rdan o'tib anodga qarab yo'nalган elektronlarning harakatini tormozlash maqsadida to'r bilan anod orasida kuchsiz elektr maydon hosil qilinadi.

Anod zanjiridagi I tok kuchi G galvanometr bilan o'chanadi va uning U kuchlanishga bog'liqligi aniqlanadi. Tajribadan olingan natijalar 9.2-rasmda keltirilgan. Rasmdan ko'rinib turibdiki, kuchlanish orta borishi bilan tok kuchi avval monoton ortib borib, $U = 4,9$ V ga yetganda, keskin kamayib ketadi va minimumga tushib qoladi va kuchlanishni ortira borsak, tok kuchi yana orta boshlaysdi va shu tarifa tok kuchining keskin kamayishlari kuchlanishning 9,8 V, 14,7 V va h.k qiymatlarda takrorlandi.

Tok kuchi kuchlanishing yuqorida ko'rsatilgan qiyatlarda keskin kamayib ketib, minimum qiyatlarga tushib qolishi atom energetik sathlarining diskretligi, ya'ni atomlar energiyani faqat ma'lum porsiyalar tarzida qabul qila olishi bilan tushuntiriladi. Bu tajribada termoelektronlarning energiyasi $\Delta W = 4,9 \text{ eV}$ ga yetguncha ular simob atomlari bilan elastik to'qashadi. Bu vaqda kuchlanishning ortishiga qarab tok odatdagi qonun bo'yicha orta



9.1-rasm. Tajriba qurilmasining sxemasi.

boradi. Kuchlanish qiyamati 4,9 V.ga yetganda to'qashish noelastik bo'lib, bunda elektron simob atomiga o'z energiyasini butunlay beradi. Bunday elektronlar anodga yetib bora olmaydi, to'rda tutiladi, natijada anod toki keskin kamayadi.

Agar elektronlar energiyasini ottirishni davom ettirisa, elektronlar to'qnashishda o'z energiyalarining bir qismini simob atomiga berib, o'zida yetaricha ortiqcha energiya saqlab qoladi va to'r bilan anod orasidagi tormozlovchi maydonni yengib anodga yetib bora oladi. Natijada anod toki yana orta boradi. Tokning ortishi elektrodlar orasidagi kuchlanishning qiyamati 9,8 V ga yetguncha davom etadi, kuchlanish $U=9,8 \text{ V}$ ga etganda tok kuchi yana keskin kamayib ketadi. Tok kuchi qiymatining yana keskin kamayib ketishi $U=14,7 \text{ V}$ da yuz beradi va h.k. Elektronning atom bilan noelastik to'qashishi uchun kerak bo'lgan potensialni atomning kritik potensiali yoki uyg'onish potensiali deb ataladi. Masalan, simob atomining uyg'onish

potensiallari 4,9 V; 9,8 V; 14,7 V va h.k. ga teng. Bunday potensiallar furgini o'tgan elektron atom bilan noelastik to'qashib, uni normal holatdan uyg'ongan holatga o'tkazadi. Atomning normal holatdan birinchi uyg'otilgan holatga o'tishiga mos ($U=4,9 \text{ V}$) kelgan potensialni atomning birinchi uyg'omish potensiali yoki rezonsans potensiali deb ataladi. Shuningdek, ikkinchi ($U=9,8 \text{ V}$), uchinchi ($U=14,7 \text{ V}$) va h.k. uyg'omish potensiallari haqida gapirish mumkin. Shunday qilib, Frank va Gers tajribalaridan atomlarda diskret energetik sathlar mavjudligiga bevosita ishonch hosil qilish va bunday tajriba orqali atomning uyg'omish potensiallarni eksperimental aniqlash mumkin.

Elektron bilan noelastik to'qashishda energiya olgan atom bu olgan energiyani o'zida juda qisqa vaqt ($\sim 10^{-8} \text{ s}$) saqlaydi, keyin bu energiyani nurlanish energiyasi ko'rinishida yoki boshqa turda qaytarib, ya'ni normal holatga o'tadi. Agar gaz bosimi yetarlicha kichik bo'lsa, bu qayta o'tishning eng katta ehtimoli energiyani yonug'lik ko'rinishida chiqarib o'tishdir. Bu hol Bor postulatlari eksperimental tekshirishga yana imkon yaratadi. Simob atomi uchun birinchi uyg'omish potensiali 4,9 V bo'lganidan

$$\Delta W = W_2 - W_1 = eU = 4,9$$

bo'lishi kerak, bunda W_1 , W_2 — simob atomining mos ravishda normal, birinchi uyg'otilgan holatdag'i energetik sathlari.

Borning ikkinchi postulatiga asosan, atom normal holatga o'tishda bu ΔW energiyani

$$\Delta W = h\nu = \frac{hc}{\lambda}$$

ko'rnishda chiqarishi kerak. Bundan

$$\lambda = \frac{hc}{\Delta W} = 2520 \text{ \AA}$$

Shunday qilib, agar nazaroya to'g'ri bo'lsa, u holda 4,9 eV energiyali elektronlar oqimi bilan nurlantirilayotgan simob bug'i faqat bitta $\lambda = 2520 \text{ \AA}$ to'iqin uzunligini ko'rsatuvchi ultrabinafsa chiziqdan ibrat spekt'r berishi kerak. Haqiqatdan ham tajribada Bor postulatini tasiqlovchi bitta $\lambda = 2537 \text{ \AA}$ ga ega bo'lgan ultrabinafsa chiziq kuzatiladi.

Atomning birinchi uyg'otilgan holatdan normal holatga o'tishida bu chiziqning vujudga kelishiga optik uyg'otish tajribalari asosida ham ishonch hosil qilish mungkin. Agar siyrak ashlirilgan simob bug'ini

$\lambda = 2537 \text{ Å}$ li monoxromatik yorug'lik bilan yoriltsa, u holda

yuqorida aytilganidek, simob atomlari normal holatdan $W_2 = +4,9 \text{ eV}$ energiyali uyg'ongan holatga o'tishi kerak. Lekin 10^{-8} sekund o'tgandan keyin normal holatga qayta o'tishda, xuddi o'sha to'lqin uzumlikli bita spektral chiziq beradiqan yorug'lik nurlashi lozim.

Tajriba bu fikrning ham to'g'riligini isbotlaydi. Bunday spektral chiziqlar rezonans chiziqlar deb ataladi, chunki ularning to'lqin uzunligi optik uyg'otishda yutiladigan to'lqin uzunlikka aynan teng bo'ladi. Demak, rezonans chiziqlarning to'lqin uzunliklarini aniqlash bilan ham birinchi uyg'onish potensialini hisoblab topish mumkin.

Ishni bajarish taribi:

1. Laboratoriya qurilmasi (9.3-rasm) ni tok manbaiga, kompyuterga ulang va qurilmani ish jarayoniga tayyorlash uchun 2 daqiqa kuting.

2. "Optika" laboratoriya dasturidan "Frank Gers" nomli ishni tanlang.

3. "Вход" tugmasini bosing.

4. "Выбрать" tugmasidan "COM 1" ni tanlang va "Положить"

5. Qurihmadagi "O'ichash" tugmasini №1 ga qo'ying va "nakal" tugmasini orqali nakal kuchlanishini "Rec" tugmasi orqали kiriting.

6. "Setka" tugmasi orqali anod kuchlanishini orttirib borish bilan, "Rec" tugmasini bosish orqali natijani jadvalga kiritib boring.

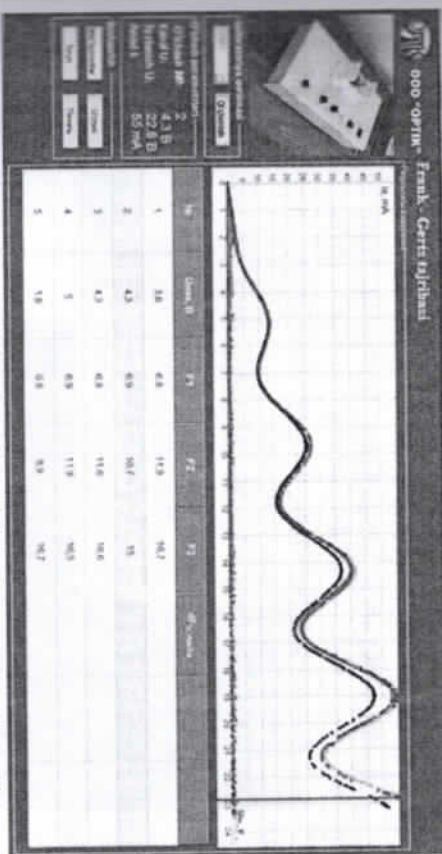
7. 5-6 bandlarni qayta bajarish orqali o'ichashlarni jadvalga kiritib boring.

8. "Отключить" tugmasi orqali laboratoriya qurilmasini o'chiring.



9.3-rasm. Laboratoriya qurilmasi.

Tajriba namunasi



9.4-rasm. Frank-Gers tajribasi natijalarining kompyuter ekranida ko'rinishi.

Nazorat savollari:

1. Frank va Gers tajribasining mazmunini tushuntiring.
2. Tiratron lampanning nurlanish sababini aniqlang.
3. Elektron bilan atomlar orasida elastik va noelastik to'qnashishlar qonday sharoitida yuz beradi?
4. Atomning birinchi uyg'onish potensialini nima uchun rezonans potensiali deb ham ataladi?

Nº10 Laboratoriya ishi: Frank-Gers tajribasiga doir kompyuter eksperimenti

o'chanadi. Reostat (4) yordamida tezlatuvchi kuchlanishni o'zgartirish mumkin. Tajriba namoyishi "start" tugmasini bosish bilan boshlanadi (10.1-rasm).

Bunda zanjirni ulaymiz va elektronlarni tezlatuvchi kuchlanishni ottiramiz.

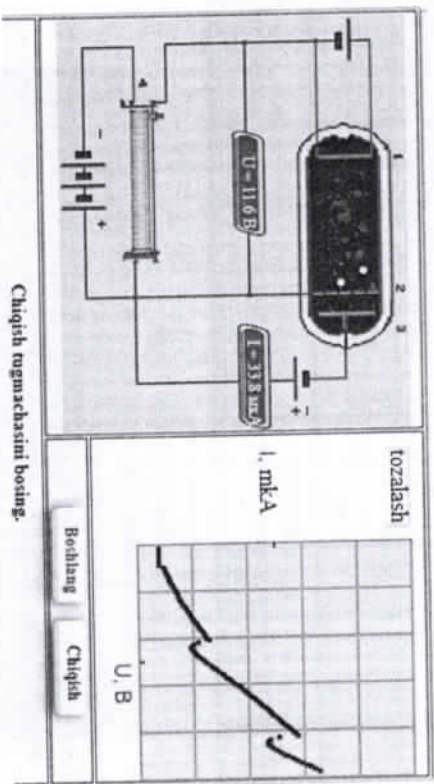
Ishning maqsadi: Frank-Gers tajribasida turli moddalarining atomlari uyg'onishi kuchlanishning qanday qymatlarida sodir bo'lishini kompyuter eksperimenti orqali kuzatish va savollarga javob berish, o'chash xatoliklarini baholash.

Kerakli jihozlar: kompyuter, videoproyektor, ecran, virtual laboratoriya ishi yozilgan disk.

Ushbu laboratoriya ishining nazariy ma'lumotlari № 9
laboratoriya ishida batafsil yoritilgan.

Qurilmaning ishlashi bo'yicha yo'riqnomma

Vakuum balondan havo so'rib olingan va unga 1 mm.sim.ust bosimdag'i simob bug'lar (yoki boshqqa biror modda) kiritilgan.



10.1-rasm. Tajriba qurilmasining sxemasi va tajriba natijalari.

Qizdirilgan katoddan chiqayotgan elektronlar katod (1), to'r (2) va anod (3) orasidagi o'zgarmas elektr maydoni ta'sirida tezlashadi. To'r va anod orasiga kichik $\sim 1 \text{ eV}$ seklinashiruvchi kuchlanish beriladi. Shuning uchun ham kollektorga (anodga) 1 eV dan katta energiyali elektronlarning tusha oladi. Kollektor toki mikroampermetr yordamida



10.2-rasm. Atomdag'i energetik sathlarni o'rganish.

Tajribaning 2 va 3 bosqichlarida atomlarning energetik sathlari hamda uyg'ongan atomlarning nurlanish spektrini o'rganiladi. Tajribaning 2 bosqichida 10.2-rasmda berigan "start" tugmasini bosish orqali beriladigan savollarga javob bering va unga mos spektrlarni kuzating. Tajribaning 3 bosqichida uyg'ongan atomning sathlari orasidagi o'tishlarga mos nurlanishlar hamda ularning to'lqin uzunliklari ekan(10.3-rasm)dagi elektromagnit to'lqlinlar shkalasidan foydalanimiqlang.



10.3-rasm. Uyg'ongan atomlarning nurlanish spektrini o'rganish.

Nazorat savollari

1. Elektron bilan atomlar orasida elastik va noelastik to'qnashishlar qanday sharoitda yuz beradi?
2. Kompyuter eksperimenti qurilmasi ishlash principini tushuntirring.
3. Frank — Gers tajribasining mazmumini tushuntirring.
4. Titatron lampanning nurlanish sababini aniqlang.
5. Atomning birinchi uyg'onish potensialini nima uchun rezonans potensiali deb ham ataladi?

№11 Laboratoriya ishi: Bir va ikki tirkishli to'siqdan elektronlarning o'tishiga doir kompyuter eksperimenti

Ishning maqsadi: Bir va ikki tirkishli to'siqdan elektronlarning o'tishida difraksiya hodisasini kompyuter eksperimentida kuzatish orqali mikrozarralarning to'lqin xossalarni va mikrodunyo hodisalarining kvantmexanik xususiyatlariiga ega ekanligini o'rganish.

Kerakli jihozlar: kompyuter, videoproktor, ekran, virtual laboratoriya ishi yozilgan disk.

Nazariy qism

1923-yilda fransiyalik fizik Louis De-Broyl (1892-1987) korpuskulyar-to'lqin dualizmning universalligi to'g'risidagi, ya'ni har qanday mikrobyekt to'lqin va korpuskula xususiyatlarni namoyish qilishi mumkin degan farazni ilgari surdi. Bir qator optik hodisalar (nuring aks etisi, bosimi va simishi), umuman, korpuskulyar nazariya va to'lqin nuqtai nazardan ham tushuntirilishi mumkin. Ushbu vaziyatarni tahsil qilib, Louis De-Broyl, agar yorug'lik korpuskulyar — to'lqin dualizmiga ega bo'lsa, unda zarralar to'lqin-korpuskulyar dualizmiga ega bo'lishi kerak degan farazni ilgari surdi.

De-Broyl g'oyasiga ko'ra, bir tomonidan mikrobyektlar biror E — energiyali va P — impulsli korpuskulyar xususiyatlarga, ikkinchi tomonidan ω — chastotali va λ — to'lqin uzunlikka ega bo'igan to'lqin xususiyatga ham ega.

Yorug'likning korpuskulyar — to'lqin dualizmiga ko'ra, yorug'lik foton uchun quyidagi munosabatlар o'rini:

$$\frac{\varepsilon}{p'} = \frac{\hbar \omega}{\hbar k'}, \quad (1)$$

$$bu yerda, \quad \hbar = h / 2\pi = 1,054 \cdot 10^{-34} J \cdot s - Plank doimisi; \\ k' = 2\pi/\lambda' — to'lqin vektori; p', \varepsilon, \lambda' — foton impulsi, energiyasi va to'lqin uzunligi.$$

Yorug'lik xususiyatlariga o'xshash, bu munosabatlар De-Broyl tomonidan moddaning mikrozarralari uchun ham o'rini bo'lishi ko'rsatildi. U holda (2) formulaga muvofiq quyidagi ifodaga ega bo'lamiz:

$$p = \hbar \cdot k = \hbar \cdot \left(\frac{2\pi}{\lambda_B} \right) = h/\lambda_B, \quad (3)$$

bu yerda, $\hbar = 6,62 \cdot 10^{-34} J \cdot s$ -Plank doimisi; λ_B - De-Broyl to'lqin uzunligi.

Shunday qilib, impulsga ega bo'lgan har qanday zarrachaga λ_B -to'lqin uzunlikka ega bo'lgan De - Broyl to'lqini mos keladi.

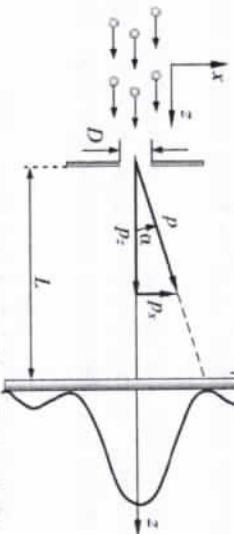
$$\lambda_B = 2\pi\hbar/p, \quad (4)$$

Relyativistik holat uchun:

$$\lambda_B = \frac{2\pi\hbar}{p} = \frac{\hbar\sqrt{1-v^2/c^2}}{m_0 v}, \quad (5)$$

bo'ldi, bu yerda, m_0 - zarrachaning tinchlikdagi massasi; v - zarrachaning tezligi.

De - Broylning gipotezasi materiya xususiyatlarning simmetriyasiga asoslangan va o'sha paytda tajribada tasdiqlanmagagan edi. Lekin bu moddiy obyektlarning tabiatini haqida yangi g'oyalarni rivojlantrishga kuchli inqilobiy turki bo'ldi. Shu g'oya asosida bir necha yillar davomida XX asrning taniqli fiziklari - V. Geyzenberg, E. Shroedinger, P. Dirak, N. Bor va boshqalar *kvant mexanikasi* deb nomlangan yangi fanning nazariy asoslarini ishlab chiqdilar. To'lqin nuqtayi - nazaridan elektronlar difraksiyasidir. Difraksion panjarada suruning difraksiyasidan farq qilmaydi. Difraksion hodisalar, difraksiya sodir bo'lgan to'siqning o'chamhlari to'lqin uzunligi bilan mos keladigan bo'lsa, eng aniq ko'rindi. Bu har qanday fizikaviy hodisalarga xususan, elektron to'lqinlariga ham tegishlidir. De - Broyl to'lqinlari uchun tabiiy difraksiyon panjara sifatida kristall panjara atomlari orasidagi tirkishlar xizmat qilishi mumkin ($\sim 0,1 nm$). Bunday o'chamdagisi to'siq (masalan, shaffof ekranada teshik) sun'iy ravishda yaratulishi mumkin emas, lekin De-Broyl to'lqinlarning tabiatini tushunish uchun fikriy tajribalar qo'yish mumkin.



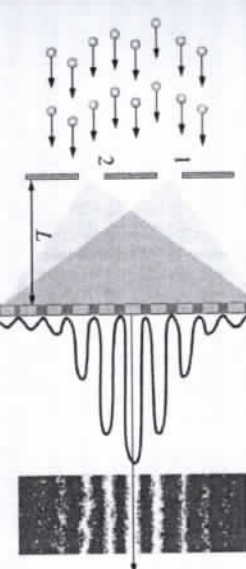
11.1-rasm. Elektronlarning bir tirkishli to'siqdagi difraksiyasini (O'ngdag'i grafik fotoplastinkada elektronlar taqsimotini ifodaydi)

Elektronlarning D kenglikdagi tirkishdagi difraksiyasini ko'rib chiqaylik (11.1-rasm). Tirkishdan o'gan barcha elektronlarning 85% dan ortig'i markazy difraksiyon maksimumiga tusadi. Ushbu maksimumming yarim kenglik burchagi quyidagi shartdan topiladi:

$$D \sin \alpha = \lambda. \quad (6)$$

Bu shart to'lqin nazariyasi formulasi bilan mos tushadi.

Yana bir fikriy eksperimentni — elektron dastasining ikki tirkishli to'siqdagi difraksiyasini qaraylik (11.2-rasm). Ushbu eksperimentning sxemasi Yungning optik interferensijon tajribasi sxemasiga mos keladi.



11.2-rasm. Elektronlarning ikki tirkishli to'siqdagi difraksiyasini.

Ushbu eksperimentni tahlil qilish kvant nazariyasiда yuzaga keladigan mantiqiy qiyinchiliklarni namoyish etish imkonini beradi. Fotontar konsepsiyasiga asoslanib, Yungning optik tajribasini tushuntirishda xuddi shunday muammolar paydo bo'ldi. Agar ikki tirkishli to'siqda elektron difraksiyasini kuzatish tajribasida tirkishlardan biri yopiq bo'lsa, interferensijon chiziqlar yo'qoladi va fotoplastinka bir tirkishli to'siqdagi elektronlar difraksiyasini qayd etadi (11.1-rasm). Bunday holda, barcha elektronlar fotoplastinkaga ochiq tirkish orqali otadilar. Agar ikkala tirkish ham ochiq bo'lsa, interferensijon chiziqlari paydo bo'ldi. Bu holda elektronlar qaysi tirkish orqali o'tadi?

Psixologik jihatdan bu savolga javob faqat bitta bo'lishi mumkinligini qabul qilish juda qiyin: elektron ikkala tirkishdan ham o'tadi. Biz mikrozarralar oqimini kichik sharchalarning yo'naltirilgan harakati sifatida intuitiv ravishda tasavvur qilamiz va bu harakatni tasvirlash uchun klassik fizika qonunlarini qo'llaymiz. Ammo elektron (va boshqa mikrozarralar) nafaqat korpuskulyar, balki to'lqin xususiyatlarga ham ega. Elektromagnit yorug'lik to'lqinining Yungning optik tajribasida ikkita tirkishdan qanday o'tayotganini

tasavvur qilish oson, chunki to'lqin fazoda bir nuqtada joylashmaydi. Ammo fotonlar konsepsiyasini qabul qilsak, har bir foton ham bir nuqtada joylashmaganligini tan olishimiz kerak.

Fotomning qaysi tirkishdan uchib o'tayotganligini ko'rsatish mumkin emas, chunki foton harakatining trayektoriyasini fotoplastinkada kuzatish va u tushadiqan nuqtani ko'rsatish mumkin emas. Tajriba shuni ko'rsatadiki, fotonlar interferometr orqali alohida holda uchib o'ganda, ko'plab fotonlarning bir vaqtida uchib o'lganidagi interferension manzara hosil bo'ladi. Shuning uchun kvant fizikasida "foton o'z-o'zi bilan interferensiyalandi" degan xulosa chiqarildi. Yuqorida aytilganlarning hammasi ikki tirkishli to'siqdan o'tayotgan elektronlar tajribasi uchun ham o'rindir. Ma'lum eksperimental faktlarni agar har bir elektronning De Broyl to'lqini bir vaqtning o'zida har ikkala teshikdan o'tib ketishini hisobga olsagina tushuntirish mumkin. Bunday to'siqlardan elektronlarning alohida uzoq muddatti o'tishi ko'plab elektronlarning bir vaqida o'tishi bilan mos tushadi. Bundan "elektron ham foton kabi o'z-o'zi bilan interferensiyalandi" degan xulosaga kelish mumkin.

Eksperiment metodikasi

Ushbu ishda virtual laboratoriya qurilmalarida olingen difrakcion spektrlarni qayta ishlash asosida De-Broyl to'lqin uzunligi λ_B aniqlanadi. Bitta tirkishdagi zarrachalarning difraksiyasi holatida difrakcion maksimumlarni kuzatish sharti quyidagicha:

$$\Delta x \sin \alpha = \pm (2n + 1) \frac{\lambda_B}{2}, \quad (7)$$

bu yerda, $n = 0, 1, 2, \dots$ — difraksiya tartibi, Δx -tirkishning kengligi.

Ikki tirkishli to'siqda zarrachalar difraksiyasi holatida asosiy difrakcion minimumlarni kuzatish sharti quyidagicha:

$$\Delta x \sin \alpha = \pm n \lambda_B, \quad (8)$$

bu yerda, $n = 1, 2, 3, \dots$ — difraksiya tartibi, Δx -tirkishning kengligi.

Shubhaisiz, yaqin joylashgan ikkita asosiy minimum orasida asosiy difrakcion maksimum joylashadi.

Bundan tashqari, ba zi yo'nalishlarda ikkita tirkishdan o'tayotgan urlarining o'zaro interferensiysi tufayli ular bir-birini susaytiradi, ya'ni qo'shimcha minimumlar paydo bo'ladi. Tirkishlar soni N ta bo'lganda ikkita asosiy maksimumlar orasida kuchsiz fon hosil qiluvchi qo'shimcha maksimumlar bilan ajratilgan N-1 ta qo'shimcha

minimumlar mayjud bo'ladi. Tirkishlar soni N qancha ko'p bo'lsa, shuncha ko'p yorug'lik energiyasi panjara orqali o'tadi va qo'shi asosiy maksimumlar orasida shuncha ko'p minimumlar hosil bo'ladi, hamda maksimumlar intensivligi va tikligi katta bo'ladi.

$N > 1$ tirkishlardan tashkil topgan difrakcion panjarada asosiy difrakcion maksimumlar hosil bo'iish sharti quyidagicha:

$$ds \sin \alpha = \pm n \lambda_B, \quad (9)$$

bu yerda, $n = 0, 1, 2, \dots$ — difraksiya tartibi, d — difrakcion panjara davri.

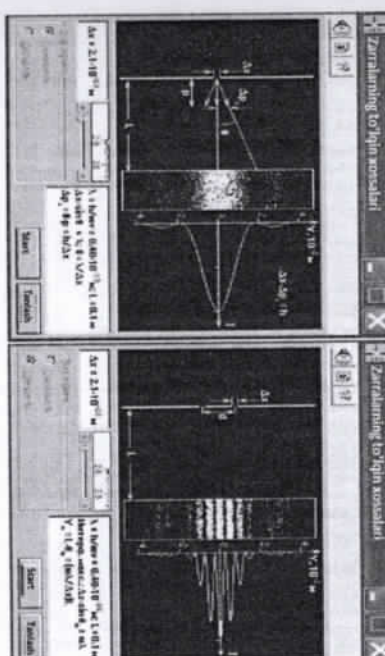
(7) — (9) formulalardan foydalanim, ma'lum parametrlri tirkishlarda olingen difrakcion chiziqlar orqali De — Broyl to'lqin uzunligini aniqlash va bu natijani nazariy qiyamat bilan taqposlash mumkin:

$$\lambda_B \text{ nazar} = \frac{2\pi \hbar}{mv}, \quad (10)$$

bu yerda, m, v -zarrachaning massasi va tezligi. Natijalarning mos tushishi De-Broyl nazariyasining to'g'ri ekanligini isbotlaydi.

Ishni bajarish tartibi

1. "Ochiq fizika" dasturini ishga tushiring. Tarkibda "Kvant fizikasi" "Zarrachalarning to'lqin xususiyatlari" modelini tamlang (11.3-a-rasm).



11.3-rasm. Bir tirkishli (a) va ikki tirkishli (b) to'siqda elektronlar difraksiyayisini kuzatish.

- O'qituvchidan olingan variantga ko'ra, tirkishning kengligi qiymatlari Δx_1 , Δx_2 , Δx_3 ni 1-jadvaldan tanlang va ularni 2-jadvaliga yozing.
- Sichqoncha markerini tirkish kengligi regulatoriga keltirib Δx_1 tirkish kengligini o'mating.
- “Start” tugmasini bosing va bitta tirkishdagi elektronlar difraksiyasini kuzating. O'chash aniqligini orttirish uchun kompyuter eksperimenti davomida tajriba davomiyligi 1 daqiqadan kam bo'imasligi kerak.
- “Stop” tugmasini bosing va Y o'qining musbat yo'nalishi bo'yicha difraksion chiziqlari maksimumlarning koordinatasi va tartibini aniqlang, ularni 2-jadvalga yozing.
- “Tanlash” tugmasini bosing, kaitini “ikki tirkish” holatiga qo'ying (11.3 b-rasm).
- “Start” tugmasini bosing va ikki tirkishli to'sida zarralar difraksiyasini kuzating. O'chash aniqligini orttirish uchun kompyuter eksperimenti davomida tajriba davomiyligi 1 daqiqadan kam bo'imasligi kerak.
- “Stop” tugmasini bosing va Y o'qining musbat yo'nalishi bo'yicha difraksion chiziqlari maksimumlarning koordinatasi va tartibini aniqlang, ularni 2-jadvalga yozing.
- Tirkishlarning kengligi Δx_2 , Δx_3 qiyattari uchun 4-9 bandardagi amallarni takrorlang. Olingan natijalarni 2-jadvalga yozing.

O'chov natijalarini qayta ishlash

- (8) formuladan foydalanib asosiy maksimumlar koordinatalari $Y_{\max,eksp}$ ni hisoblang. Bunda $\sin \alpha = \frac{Y}{\sqrt{Y^2 + L^2}}$ va barcha tajribalar uchun $L = 0,1 \text{ m}$. Olingan natijalarни 2-jadvalga kiriting.
- (7) formulaga ko'ra De — Broyl to'iqning nazariy qiymati uchun ($d_B, nazar = 4 \cdot 10^{-11} \text{ m}$) asosiy maksimumlarning koordinatalari $Y_{\max,eksp}$ ni hisoblang. Bu natijalarni $Y_{2,tirkish}$ qiymati bilan taqqoslang va keyingi hisoblashlarda bu qiyatlarini hisobga oling.
- $Y_{1,tirkish}$ va $Y_{\max,eksp}$ ustunlardagi qiyatlarini taqqoslang va olingan natijani tushuntiring.

2. O'qituvchidan olingan variantga ko'ra, tirkishning kengligi $Y_{2,tirkish}$ qiymatidan foydalanib (10) formula asosida De-Broyl to'iqin uzunligi λ_B ni hisoblang va 2-jadvalga kiriting.

3. “Ekran ko'rinishi” kaitini “Bir tirkish” holatiga qo'ying.

4. Olingan natijalarning o'rtacha qiyatlarini $\lambda_B, orta$ hisoblang va nazariy $\lambda_{B,nazar}$ qiymat bilan solishtiring, xulosa chiqaring.

5. (10) formuladan foydalanib, har bir tajriba uchun De-Broyl to'iqin uzunligini λ_B ni hisoblab va olingan qiyatlarini 2-jadvalga kiriting. Bu yerda $\sin \alpha = \frac{Y}{\sqrt{Y^2 + L^2}}$ va barcha tajribalar uchun $L = 0,1 \text{ m}$.

6. (10) formulaga ko'ra har bir tajriba uchun De-Broyl to'iqin uzunligi nazariy qiyatlarini $\lambda_{B,nazariy}$ ni hisoblang va olingan qiyatlarini 2-jadvalga kiriting.

7. De-Broyl to'iqin uzunliklarning nazariy va eksperiment qiyatlarini solishtiring va xulosa chiqaring.

1-Jadval. Laboratoriya ishlari variantlari

№	Difraksion tirkish kengligi 10^{-10} m			Panjara davri 10^{-10} m			Elektronlar tezligi 10^7 m/s		
	Δx_1	Δx_2	Δx_3	d_1	v_1	v_2	v_3		
1	2	2,8	3,6	1	1,5	1,9	2,25		
2	2,1	2,9	3,5	1,1	1,55	1,95	2,3		
3	2,2	3	3,7	1,2	1,6	2	2,35		
4	2,3	3,1	3,8	1,3	1,65	2,05	2,4		
5	2,4	3,2	3,9	1,4	1,7	2,1	2,45		
6	2,5	3,3	4	1,5	1,75	2,15	2,5		

2-jadval. Bir va ikki tirkishli to'sida zarralar difraksiyasi uchun De-Broyl to'iqin uzunligini hisoblash.

$\frac{\Delta x_i}{10^{-10} \text{ m}}$	Maksimum lar tarbi	$Y_{1,tirkish}$	$Y_{2,tirkish}$	$Y_{\max,eksp}$	$Y_{\min,eksp}$	$\lambda_{B,orta}$	$\lambda_{B,nazariy}$
1							
2							
3							

Nazorat savollari

1. De-Broyl gipotezasing mohiyati nima?
2. Elektronga mos keladigan De-Broyl to'lqin uzunligini eksperimental aniqlash uchun formulani keltirib chiqaring.
3. Elektronlar difraksiyasi vaqtida intensivlik taqsimotining maksimumi yo'malishi qanday shartni qanoatlantiradi?
4. Difraksiya tartibi nima?
5. Geyzenberg noaniqligi munosabatini tushuntiring?
6. Plank doimiyising ma'nosini tushuntiring?
7. Nima uchun atrofimizdagi obyektlardagi to'lqin xususiyatlarning hech qanday ko'rinishini sezmaymiz?

N_o 12 Laboratoriya ishi: Gelij-neon lazerini o'rGANISH

Ishning maqsadi: Lazerlar va ularning tuzilishini va ishlash principini kompyuter eksperimenti orqali kuzatish va savollarga javob berish, o'tchash xatoliklarni baholash.

Kerakli jihozlar: kompyuter, videoproyektor, ekran, virtual laboratoriya ishi yozilgan disk.

Lazerlar ingichka monoxromatik nurlanish chiqaradigan noyob yorug'lik manbai hisoblanadi. Bunda atomlar sathlari invers to'lgan muhitda majburiy nurlanish holatidan foydalananligan. Ushbu tajriba ishlarda daslab spontan nurlanish xossalari 1-topshiriqda o'rGANILADI. 2-topshiriqda sathlarning invers to'ldirilgan holatiga erishishi ko'rsatiladi. 3-topshiriqda He-Ne lazerida lazer nurlanishi olish uchun zarur shart-sharoitlar o'rGANILADI.

Nazarliy qism

Lazer — bu juda kichik to'lqin uzunligi diapazonida yuqori monoxromatik ingichka nur chiqaradigan yorug'lik manbai. Nurlanish uzloksiz bo'lishi mumkin yoki qisqa muddati impulslar shaklidida, davomiyligi bir necha millisekundlarda 10^{-12} s dan kam bo'lgan qisqa qiymatlarga qadar bo'lishi mumkin. Lazer nurlanishining o'ziga xosligi majburiy nurlanishning xususiyatlari, sathlarning invers to'ldirilishidan foydalananvchi generatsiya mexanzizmining o'ziga xosligi va nurlanishning rezonatorda kuchayishi tufayli erishiladi. Eng keng turqalgan lazerlardan biri bu geliy-neon (He-Ne) lazeridir.

O'Z-o'ZIDAN (spontan) va majburiy nurlanishlar

Bizning dunyomiz shunday tuzilganki, mikrozarralar — yadro, atom va molekulalarning energiyalari ixtiyoriy qiymatlarni qabul qila olmaydi. Ular energetik sathlar deb ataluvchi ma'lum bir qiymatning qabul qila oladi. Ushbu qiymatning to'plami E_i zarrachalarning har bir turi uchun har xil: vodorod atomi uchun boshqa, gelly uchun boshqa. Har bir zarrachaning holati va uning energiyasi bo'libqa zarralar bilan yoki elektromagnit maydon bilan ta'sir o'tkazishda o'zgarishi mumkin. E_2 energiyasi bo'lgan holatdan o'tuyotganda yorug'lik v chastotali nurlanish (foton) chiqaradi

$$h\nu = E_2 - E_1 \quad (E_2 > E_1)$$

Yuqori sathga o'tishda zarralar tashqaridan keladigan xudi shunday chastotali elektromagnit to'lqlarni yutishi mumkin.

A. Eynsheyn yorug'likning materiya bilan o'zaro ta'sirining kvant nazariyasini yaratdi. Ushbu nazarriyaga ko'ra, ko'plab eksperimentlar bilan ajoyib tarza tasdiqlangan, elektromagnit to'lqlarning materiya bilan o'zaro ta'siri jarayoni uchta elementar aktillardan iborat — fotonlarning yutilishi va ularning o'z-o'zidan yoki majburiy emissiyasi. Agar zarracha uyg'ongan holatda bo'lsa, ya'ni uning energiyasi E_0 minimal qiymatidan yuqori bo'lsa, keyin bu holat uzoq davom etmaydi. Agar zarracha tashqi ta'sirlardan butunlay ajratilgan bo'lsa ham, bir muncha vaqt o'tgach, u foton chiqarib, past energiyali holatiga o'tadi. Bunday o'tish *spontan* (*o'z-o'zidan*) nurlanish deb ataladi. Alovida zarralar mustaqil ravisida ajralib chiqadi, nurlanish yo'nalishi va uning fazasi tasodifidir. Bunday tebranishlar qo'shilganda interferensiya hodisalari kuzatilmaydi, shuning uchun bunday tebranishlar nomuvofiq deb ataladi. Barcha an'anaviy yorug'lik manbalari o'z-o'zidan yorug'lik chiqaradi. Aks holda, majburiy nurlanish paydo bo'jadi. Atom E_2 energiyasi bilan uyg'ongan holatda bo'lsa va

$$v = (E_2 - E_1)/\hbar,$$

chastotali fotonlar bilan nurlantirilsa uning E_1 energiyali holatga tashqaridan kelayotgan fotonning chastotasi, fazasi va tarqalish yo'nalishi bilan bir xil bo'lgan foton chiqarib o'tishi mumkin. Tashqi nurlanishning intensivligi qanchalik yuqori bo'lsa, majburiy o'tish shunchalik ko'p sodir bo'jadi. Majburiy o'tish paytda paydo bo'lgan elektromagnit to'lqlarning fazalari tashqi to'lqlular fazasi bilan qat'iy muvofiglashtirilganligi sababli, bunday nurlanish kogerent deb ataladi. Kogerent to'lqlar qo'shilsa, interferensiya hodisasi kuzatiladi.

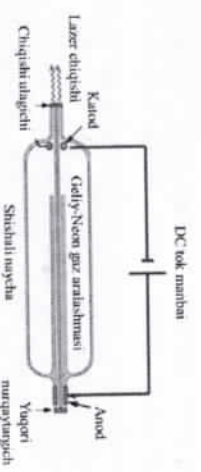
Sathlarning invers to'lshi

Oddiy moddada holatning energiyasi qancha yuqori bo'lsa, shu holatdagi zarrachalar kam uchrashi ma'lum. Shuning uchun ham, atomlarning uyg'ongan holatga o'tishida fotonlar yutilishi, pastki holatga o'tish bilan kuzatildigan majburiy nurlanishga nisbatan ko'proq. Buning natijasida rezonans chastotasining so'mishi kuzatiladi. Majburiy nurlanish yutilishdan ko'proq bo'lshi uchun tashqi energiya manbai hisobiga uyg'ongan holatning quy'i energetik holatga nisbatan o'ta to'dirilgan (invers) holatiga erishish lozim.

Shunda muhit faol holatda bo'lib, rezonans chastotali to'lqlarni kuchaytirish qobiliyatiga ega bo'ladi. Faol muhida rezonans chastotali kvantlarning harakatida masalan spontan o'tishlar natijasida ular sonining ortishi — kuchayishi kuzatiladi, lekin gaz razryad naychadan bir marta o'tishda kuchaytirish koeffitsiyenti juda kichik (3-5%). Agar naycha uchlariga nurlanishni qaytaruvchi ko'zgular joylashtirilsa fotonlarning aktiv muhitdan ko'p marta o'tishi hisobiga yuqori kuchaytirishga erishish mumkin.

Itunda faqat naychaning o'qi bo'ylab harakatlanadigan nurlanish kuchayadi, chunki naychani boshqa yo'nalishdagি fotonlar tark etadi. Ko'zgular orasidagi masofa ixtiyoriy bo'lishi mumkin emas: ko'zgulanga tushgan to'lqlular va ulardan qaytgan (aks etgan) to'lqlar bir-birini kuchaytirishi uchun yarim to'lqin uzamliklarining butun soni yo'1 uzunligiga to'g'ri kelishi kerak. $(2k + 1) = \lambda/2$ (bu yerda, k-butun son) masofada joylashgan ikkita yassi ko'zguga ega bo'lgan qurima rezonator deb ataladi. Nurlanishni tashqariga chiqarish uchun ularidan birining qaytarish koefesiyyenti birdan kichikroq (0,97-0,98) qilib yassaladi.

He-Ne lazeri



Lazerning ishlashi
inshun quyidagilar zarur:
Invers to'dirilgan holat hossil qilingan muhit; zarrachalarni uyg'ongan metastabil holatga o'tkazish uchun energiya manbai va muhitning "faol" zarralarining sinxon iohloshimi ta'minlovchi rezonator.

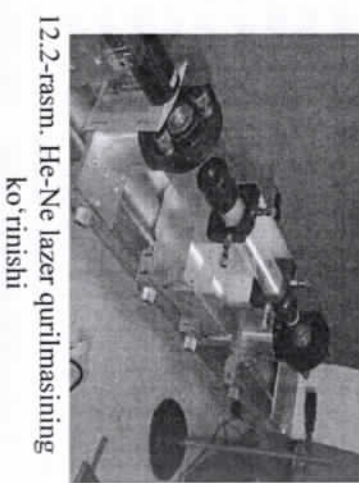
He-Ne lazerida 15% geliy va 85% neondan iborat gaz aralashmasi ishlataladi. Ushbu aralashma har ikkala gaz xususiyatlarining qulay kombinatsiyasi tufayli faol muhit hisoblanadi (12.1-rasm). Aralashma elektronlarning uyg'ongan holatga o'tishida fotonlar yutilishi, pastki holatga o'tish bilan kuzatildigan majburiy nurlanishga nisbatan ko'proq. Buning natijasida rezonans chastotasining so'mishi kuzatiladi. Majburiy nurlanish yutilishdan ko'proq bo'lshi uchun tashqi energiya manbai hisobiga uyg'ongan holatning quy'i energetik holatga nisbatan o'ta to'dirilgan (invers) holatiga erishish lozim.

bermasdan ko'p hollarda neon atomlariga beradi. Bunday energiya rezonans uyg'otish deb ataladi. Bu to'qashuvlar natijasida geliy atomlari E_1 holatga, neon atomi esa uyg'ongan metastabil holat E_3 ga o'tadi. Kichik energiya yetishmochiligi (0,05 eV) harakatlantuvcu atomlarning kinetik energiyasi bilan qoplanadi. Natijada neon atomining metastabil holati W_3 pastki holatidan ko'ra ko'proq to'ldirilgan bo'lib chiqadi va teskari invers to'ldirilish paydo bo'ladi, bu esa lazerning ishlashi uchun zarurdir. Shunday qilib, He-Ne lazeridagi geliy uyg'onish rezervuari bo'lib xizmat qiladi, ular gefiyidan neonga rezonans ravigshda o'tadi. Chiqarish naychasining uchlari, birinchi navbatda, kerak siz ko'zgulardan qochish, ikkinchidan, qutblangan nurlanish olish uchun engilan holatda qilingan. Rezonatorni tashkil etuvchi nometalarning holatini sozlash moslamalari yordamida sozlash mungkin. Elektr zaryadini ushlab turish uchun naycha ichidagi elektrodlargaga quvvat manbaidan yuqori kuchlanish qo'yildi. He-Ne lazeri(12.2-rasm) doimiy rejimda ishlaydi, bu ko'plab amaliy qo'llanishlar uchun qulaysidir. He-Ne lazerlarining quvvati bir necha o'n millivattga yetadi.

Yaxshi ishlab chiqilgan lazerda nurning burchak divergensiyasi faqat difraksiya bilan cheklanadi va λ/D tartibida bo'ladi, bu yerda λ -nurlanish to'iqin uzunligi va D-chiqish oyndasining diametri.

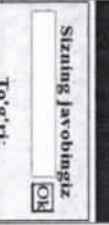
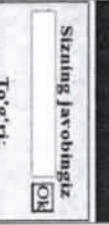
1-topshiriq

Ekranda shartli ravishda uchta atom tasvirlangan(12.3-rasm). Tanlangan atomning nurlanish xususiyatiga e'tibor bering (u markazda va harakatsiz). Atomlar qandaydir tarzda uyg'ongan holatga o'tadi. Uyg'ongan holatdan asosiy holatga o'tish o'z-o'zidan yoki boshqa atomning fotoni ta'sirida amalga oshishi mumkin. Ikkinchi holat, agar foton energiyasi $hv = E_2 - E_1$ bo'lsa, bu yerda E_2 va E_1 atom energiyasining nussasi erган quymlari va atom holat E_2 energiyasi bilan tasvirlanadi.



12.2-rasm. He-Ne lazer qurilmasining ko'rinishi

Ekranda shartli ravishda uchta atom tusvirlangan. Tanlangan atomning nurlanish xususiyatiga e'tibor bering (u markazda va harakatsiz). Atomlar qandaydir tarzda uyg'ongan holatga o'tadi. Uyg'ongan holatdan asosiy holatga o'tish o'z-o'zidan yoki boshqa atomning fotoni ta'sirida amalga oshishi mumkin. Ikkinchi holat, agar foton energiyasi $hv = E_2 - E_1$ bo'lsa, bu yerda E_2 va E_1 atom energiyasining nussasi erган quymlari va atom holat E_2 energiyasi bilan tasvirlanadi.



12.3-rasm. 1-topshiriq bo'yicha tajriba qurilmasining ko'rinishi.

- "Vazifa" tugmasini bosing va to'g'ri javobni tanlang
- O'tayotgan yorug'lik intensivligi juda kichik
- Bunday sistemada atomlarning uyg'onishi kuzatilmaydi
- Atomlarning ko'pchiiligi uyg'onmagan
- Uyg'ongan holatdagi atomlar soni juda ko'p

2-topshiriq

"Vazifa" tugmasini bosing va to'g'ri javobni tanlang

- O'tayotgan yorug'lik intensivligi juda kichik
- Bunday sistemada atomlarning uyg'onishi kuzatilmaydi
- Atomlarning ko'pchiiligi uyg'onmagan
- Uyg'ongan holatdagi atomlar soni juda ko'p

3-topshiriq

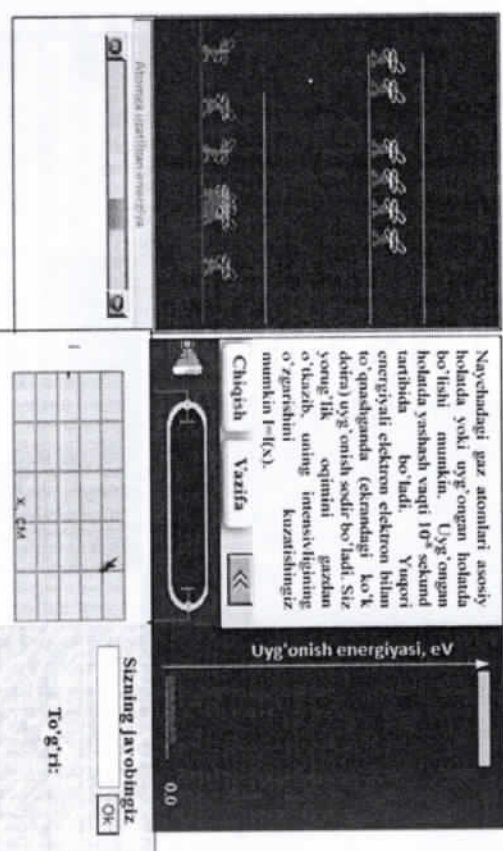
Naychadagi gaz atomlari asosiy holatda yoki uyg'ongan holatda bo'ishi mumkin. Uyg'ongan holatda yashash vaqt 10⁻⁸ sekund tartibida bo'ladi. Yuqori energiyali elektron elektron bilan to'qashganda (12.4-rasmida ko'k doira) uyg'onish sodir bo'ladi. Siz yorug'lik oqimini gazzan o'tkazib, uning intensivligining o'zgarishini kuzatishingiz mumkin $I = I(x)$.

"Vazifa" tugmasini bosing va yuqoridaq savollarga javob bering

Tanlangan atomning nurlanish xususiyatiga e'tibor bering (u markazda va harakatsiz). Atomlar qandaydir tarzda uyg'ongan holatga o'tadi.

Uyg'ongan holatdan asosiy holatga o'tish o'z-o'zidan yoki boshqa atomning fotoni ta'sirida amalga oshishi mumkin. Ikkinchi holat, agar foton energiyasi $hv = E_2 - E_1$ bo'lsa, bu yerda E_2 va E_1 atom energiyasining ruxsat etilgan qiymatlari va atom holati E_2 energiyasi bilan tavsiflanadi.

11. Xulosa va hisobot yozing.

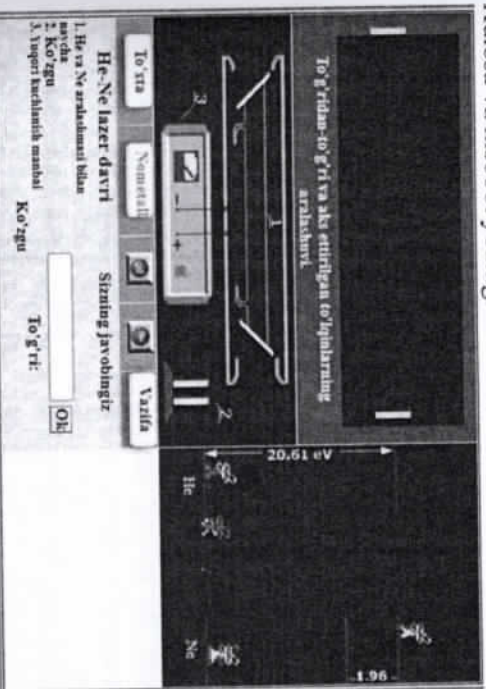


12.4-rasm. 2-topshiriq bo'yicha tajriba qurilmasining ko'rinishi.

3-topshiriq

Qurilmanni ishlatalish tartibi

1. Sizga lazer ishimi modellashtiruvchi qurilmadagi topshiriqlar taklif etiladi(12.5-rasm).
2. Avval lazer qurilmasi bilan tanishib chiqing.
3. Keyin yuqori kuchlanish manbasini yoqing va gaz naychasing uchlariga nometall ko'zgular o'mating.
4. Endi siz hosil bo'lgan tizimni sozlashingiz kerak ("ko'zgulani sozlash").
5. Buning uchun mos keladigan tugmachalarni ko'zgulardan birining gorizontal o'qi bo'ylab harakatlantiring va to'g'ridan-to'g'ri va aks eigan yorug'lik to'lqinining aralashuvini grafigini o'rnatning va tahsil qiling.
6. Oymanning pozitsiyalaridan birida lazer yorug'lik nurini hosil qila boshlaydi.
7. Ushbu holatni qanday tafsiflar edingiz?
8. Gelyy va neon atomlari o'rtasida energiya almashinuvini tasvirlaydigan modelni ishlab chiqishni ko'rib chiqing.
9. Atomlarning har biri qanday rol o'ynaydi?
10. Topshiriqlarning savollariiga javob bering.



12.5-rasm. 3-topshiriq bo'yicha tajriba qurilmasining ko'rinishi.

Nazorat savollari

1. Atomlarning o'z-o'zidan nurlanish jarayonini tushuntiring?
2. Atomlarning majburiy nurlanishi nima va uning fizik ma'nosini tushuntiring?
3. Sathlarning invertst to'ldirilishi deganda nimani tushunasisiz?
4. Lazer so'zining kengaytirilgan ma'nosini tushuntiring?
5. Lazerlar va mazerlar bir-biridan qanday farqlanadi?
6. He-Ne laserining tuzilishi va ishlash prinsipini tushuntiring?
7. Lazerlarning qanday turlarini bilasiz?
8. Yoqut lazeri va He-Ne laserining farqini tushuntiring?

№ 13 Laboratoriya ishi: Yarim o'tkazgichli lazerni o'rganish

Ishning maqsadi: 1. Yarim o'tkazgichli lazerlarning tuzilishi va ishlash prinsplini o'rganish;

2. Yarim o'tkazgichli lazerlarning to'lqin uzunligini difrakcion panjara yordamida aniqlash.

Kerakli jihozlar: Yarim o'tkazgichli lazer, optik taglik, difrakcion panjara, millemetli qog'oz.

Nazariy qism

Yarim o'tkazgichli lazer, qattiq jismli lazerlarning o'ziga xos turiga kiradi. Bu turdag'i lazerlarda invers bandlik hosil qilishini va kogerent nurlanish olishni energetik sathlar ha'nda energetik sohalar asosida tushuntirish mumkin. Kvant fizikasi asoslariga ko'ra, qattiq jism tashkil etgan atomlaridagi elektronlar ulardag'i yadrolar bilan elektr kuchlari orqali bog'langan bo'lib, bog'lanish energiyasi diskret qiyomatarni qabul qiladi. Yadroga eng yaqin turgan elektron eng kichik diskret energiyaga ega bo'lib, uni eng qiyin energetik sathda joylashgan deb qarash mumkin. Bu yadrodan uzoqlashgan elektronning energiyasi yadroga eng yaqin turgan (ya'ni eng qui energetik sathda joylasgan) elektronning energiyasidan katta bo'lib, u biror yuqori energetik sathda joylashgan deb qabul qilish mumkin. Elektronlar joylashgan sathlar juda ko'p bo'jadi va qattiq jismning zonalar nazaryyasiga asosan shu jismdagi atomlarning energetik sathlar to'plami qattiq jism energetik zonalarini tashkil qiladi.

Atomdag'i har bir elektronning holati to'rtta kvant soni bilan xarakterlanadi.

Bosh kvant soni n ($n = 1, 2, 3, 4, \dots$)

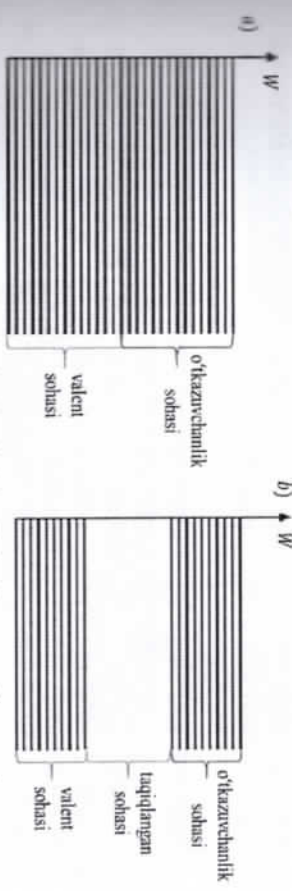
Orbital kvant soni l ($l = 0, 1, 2, 3, 4, \dots$)

Magnit kvant soni m ($m = -l(-l+1), \dots, 0, 1, 2, \dots, +l$)

Spin kvant soni m ($m = \pm 1/2$)

Qattiq jism atomlarning elektron qobig'idagi elektronlar yadro bilan bog'liqligi uchun ularni *valent elektronlar* deyiladi va ular joylashgan energetik sathlar to'plamiga *valent sohasi* deb qaraladi. Valent sohaning eng yuqorisida joylashgan elektronlarning yadro bilan bog'lanish energiyasiga teng energetik oraliqni *taqiqlagan zona* deb

qurash qabul qilingan. Bu zona valent zona bilan o'tkazuvchanlik zonaları oralig'ida joylashgan va taqiqlangan zonaning energiya bo'yicha kengligi o'tkazuvchanlik zonasining quyi chegarasi energiyasidan valent zonasining eng yuqori chegarasi energiyasi ayirmasiga teng. Elektronlar energetik sathlarning va zonalarning sxematik diagrammasi 1-rasmida keltirilgan.



13.1-rasm. (a) metallardagi; (b) dielektrikdagi energetik zonalar diagrammalari.

Yarim o'tkazgich moddalarida energetik zonalar diagrammasi ham 13.1-rasmida ko'rsatilganidek bo'ladı. Faqat taqiqlangan zonaning kengligi dielektriklarniga nisbatan kamroq bo'lib, qiyomi bir elektron volt atrofida bo'ladı. Yarim o'tkazgichli kristallar asosida tuzilgan qattiq jismli lazerlar *yarim o'tkazgichli lazerlar* deyiladi. Bu lazerlarda ruxsat etilgan energetik zonalardagi nurlanishli kvant o'tishlardan foydalaniadi. Yarim o'tkazgichli faol muhitda katta optik kuchaytirish ko'rsatkichiga (10^4 sm^{-1}) erishish mumkin. Bu lazerlarda resonator uzunligi $50 \mu\text{m} - 1 \text{ mm}$ oralig'ida bo'ladı. Yarim o'tkazgichli lazerlar (YAL) niyoyatda kichikligi bilan birga inerttsizligi (10^{-9} s), FIK yuqoriligi (30 %), spektral tarkibini sozlab o'zgartirish mumkinligi, faol muhit sifatida ishlataluvchi moddalar ko'pligi, nurlanish to'lqin uzunligi $l = 0,3 - 3,0 \mu\text{m}$ bo'lishi bilan boshqa lazerlardan ajralib turadilar. Yarim o'tkazgichli lazerlarda faol zarracharlar erkin elektronlar va kovaklar bo'lib, ular faol muhitda injeksiyalanishi, diffuziyalanishi va dreyflanishi mumkin bo'lgan erkin zaryad tashuvchilar hisoblanadilar. Yarim o'tkazgichli lazerlarda injeysiya usuli $n - p$ o'tish yoki getero o'tish orqali injeksiya

bo'lib, elektr energiyasini to'g'ridan-to'g'ri aniq kogerent nurlanish energiyasiga aylantiradi. Bu injekcion lazer deyiladi.

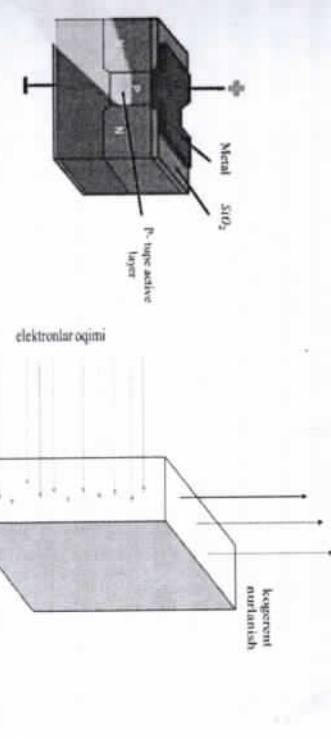
Damlashning elektr teshib o'tish usuli (strimer lazer), elektron bilan bombardimon qilish usuli (elektron damlashli YAL), optik damlash usullari mavjud. N.G. Basov va uning xodimlari havola etilgan optik damlashli yarim o'tkazgichli lazerlar $n - p$ o'tishda GaAs kristallida birinchi marta R.Koll, M.I.Neyten (AQSH) tomonidan, elektron damlashli yarim o'tkazgichli lazerlar esa Basov va uning xodimlari tomonidan yaratildi.

Yarim o'tkazgichlardagi nomuvozanat holatlar. Sohalar orasidagi o'tishlarda nurlanish rekombinatsiyasi.

Ideal yarim o'tkazgichda absolyut nol haroraldan yuqori haroratda tokning (yoki o'tkazuvchanlikning) hosil bo'lishiда o'tkazuvchanlik sohasida elektronlarning hosil bo'lishiда issiqlik harakati asosiy rol o'yaydi. Boshqacha qilib aytganda musbat absolyut haroratda sohalar orasida issiqlik muvozanati hosil bo'lishi hisobiga o'tkazuvchanlik sohasida elektronlar hosil bo'ladi. Issiqlik muvozanati holatida bo'lgan yarim o'tkazgichlar lazer uchun yaroqsiz hisoblanadi. Lazerlarda qo'llanilishi uchun yarim o'tkazgichdagi zaryad tashuvchilar nomuvozanat holatida bo'lishi kerak. Yarim o'tkazgichlarni bu holatga har xil yo'llar bilan o'tkazgichlarda bu maqsadda uch Lazерlarda foydalaniladigan yarim o'tkazgichlarda bu kuzatish mumkin.

Keyingi holatda $p - n$ o'tishlardan foydalanish eng samarali hisoblanadi. Zaryad tashuvchilarning konsentratsiyasi nomuvozanat bo'lgan yarim o'tkazgichlarda nurlanish rekombinatsiyasini qarab chiqamiz. Rekombinatsiya jarayoni erkin zaryad tashuvchilar jufi elektron va teshiklarning yo'qolishiga olib keladigan jarayon hisoblanadi. Umuman olganda, rekombinatsiya tufayli ajralib chiqqan energiya uch xil jarayon ko'rinishida amalga oshadi: foton hosil bo'lishi (nurlanish rekombinatsiyasi), panjaraning qizishi (fononlar hosil bo'tishi), zaryad tashuvchilarning kinetik energiyasini oshishi (Oje rekombinatsiyasi). Lazer nurlanishi shu jarayonlarning birinchi bilan, ya'mi nurlanish rekombinatsiyasi bilan bog'liq.

Yorug'lik nurining kichik tirkishdan o'tishi natijasida og'ishiga yoki to'siqni ayanib o'tishiga difraksiya hodisasi devildi. Oddiy sharoitlarda yorug'lik to'iqinlarning difraksiya hodisasi kuzatilmaydi. Yorug'lik difraksiyasini kuzatish uchun maxsus shart-sharoitlar yaratish zarur. Buning sababi, avvalo yorug'likning to'iqin uzunligi λ to'siqlar (yoki tirkishlar) «a» o'chamlaridan ko'p marta



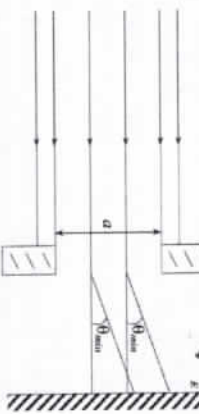
13.2- rasm. a) optik
damlash usuli.

b) Elektronlar oqimi bilan
damlash usuli.

2) yarim o'tkazgichlar elektron oqimi bilan nurlanitiriladi; elektronlarni qo'zg'atish usuli bilan, ya'ni tezkor elektron oqimi bilan yarim o'tkazgichni bombardimon qilish; (13.2 b- rasm)

3) Tashqi elektr maydonidan foydalaniladi: $p - n$ o'tishda to'g'ri kuchlanish berilganda zaryad tashuvchilarining injeksiyasi yordamida kuzatish mumkin;

kichik bo'lishidir. Shuning uchun difraksiyani, ya'ni yoritilganlikning oddiy tasvirdan farqlanishini kuzatish (geometrik optika asosida) to'siqqa nisbatan katta l masofalarda ($l \geq \frac{a^2}{\lambda}$) mumkin bo'ladi. Misol uchun o'zgaruvchan tirkishning kengligidan to'iqin fronti yassi bo'lgan yorug'likning (lazer nuri dastasining) o'tishida quyidagi tasvirini kuzatish mumkin (13.3-rasm). Tirkish kengligi a nisbatan katta bo'lganda ($l \gg \frac{a^2}{\lambda}$) tirkish kengligini kamayishi tasvir o'chamining kamayishiga olib keladi. Tirkish kengligi a to'iqin o'chamiga tenglashgani sari ($l \geq \frac{a^2}{\lambda}$) tasvir o'chami kuzatilayotgan masofada kattalashib boradi va bir necha tasvirlarga ajralib ketishi mumkin.



13.3-rasm. Cheklangan nur dastasining burchakli

yoyilishi.

Difraksiya hodisalarini Gyuygens-Frenel prinsipi asosida tushuntirish mumkin. Bu prinsipga asosan to'iqin sirtining har bir nuqtasini ikkilamchi sferik to'iqinlar manbaları sifatida qarash mumkin. Shuning uchun ekranning biror nuqtasidagi yorug'lik tebranishlarini, shu nuqtaga keluvchi ikkilamchi to'iqintarning amplituda va fazalarini e'tiborga olib, ularning qo'shilishidan iborat deb qarash mumkin.

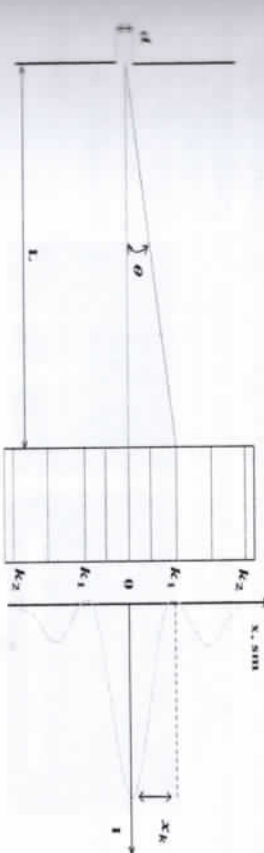
Yorug'likning difraksiya hodisasini difraksiya hosil qiluvchi panjara yordamida ham kuzatish mumkin. Difraksiya hosil qiluvchi panjara deganicha shaffot shisha plastinkaga davriy ravishda parallel qilib, numri o'tkazmaydigan qora chiziqlar tushirilgan, orali esa nurni

o'tkazuvchi optik moslamaga aytildi. Demak, qora chiziqlar orasini tirkish deb qarash mumkin (tirkishlar soni 1 mm da 1700 ta gacha bo'lishi mumkin). Difraksiya hosil qiluvchi panjaraning d davri deganda, qora chiziqlar eni b bilan tirkishlar eni a yig'indsiga aytildi (13.4-rasm).

Demak,

$$d = a + b. \quad (1)$$

Difraksiya hosil qiluvchi (difraksion) panjaraning sirtiga parallel nurlar dastasi (yassi to'iqinlar) tushayotgan bo'lsin. Gyuygens-Frenel prinsipi asosan difraksion panjardagi tirkishning har bir nuqtasini turli yo'nalishlarda nurlar tarqatish markazi deb qarash mumkin. Tirkishlardan chiqayotgan nurlar o'zaro interferensiyalanadi va bir xil yo'nalishlarda bir-birim kuchaytiради, boshqa yo'nalishlarda susaytirishi mumkin. Difraksiyalangan nurlarning interferensiyasi natijasida linzalning fokal tekisligida joylashgan ekranda timiq maksimum va minimum intensivlik taqsimotiga ega bo'lgan difraksion manzara hosil bo'ladi (13.5-rasm).



13.5-rasm. Laboratoriya qurilmasining sxemasi.

Manzaradagi bosh maksimumlarga bo'lgan θ_n yo'nalishlar (ularning fokal tekislikdagi holati) qo'shni tirkishlardan chiqqan ikkilamchi to'iqinlarning o'zaro kuchayishidan aniqlanadi (yo'l farqi butun songa karallai to'iqin uzunligiga teng):

$$dsin\theta_n = \pm k\lambda, \quad (2)$$

bu yerda, k – har qanday butun $(0, \pm 1, \pm 2, \dots)$ son. Bu son murkaziy maksimumdan boshlab, qolgan maksimumlar tartibini bildiradi.

Bosh maksimum uchun $k = 0$, $\sin\theta = 0$ bo'ladi va uning yorqinligi katta bo'ladi. Undan chapda va o'ngda birinchi, ikkinchi va

hokazo tartibli yoritilganlik maksimumlari bo'ladı. Agar difraksiyalanayotgan nur monoxromatik bo'ssa, maksimumlar oralig'i ingichka qorong'i yo'lkalar bilan ajralgan bo'ladı.

Difraksiyon panjaradan ekrangacha bo'lgan masofa (L), nolinchi va k tartibli maksimumlar orasidagi masofa(x_k) va difraksiyon panjara doimisi (d) deb belgilasak, yarim o'tkazgichli lazer to'lqin uzunligi(λ)ni aniqlash uchun ishchi formulani keltirib chiqaramiz.

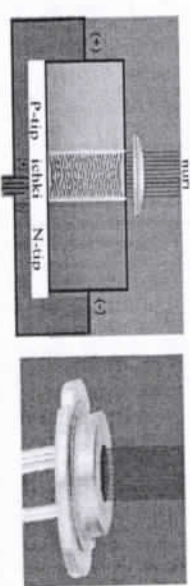
Difraksiyaning kichik burchaklarida $\tan \theta_n \approx \sin \theta_n$ deb qarashimiz mumkin.

$$\tan \theta_n \approx \frac{x_k}{L} \quad (3)$$

Shuning uchun (2) va (3) formulalardan quyidagi munosabati olish mumkin:

$$\lambda = \frac{x_k \cdot d}{L} \quad (4)$$

Bu ifodadan ko'rinish turibdiki, difraksiyon panjaradan ekrangacha bo'lgan masofa (L), nolinchi va k tartibli maksimumlar orasidagi masofa(x_k) va difraksiyon panjara doimisi (d) kattaliklarni o'lhash natijasida, yarim o'tkazgichli lazer to'lqin uzunligi(λ)ni aniqlaymiz.



13.6-rasm. Yarim o'tkazgichli lazerning ichki tuzilishi va ko'rinishi.

Ishni bajarish tartibi:

- Qurilmanni 13.5.-rasmda ko'rsatilgandek qilib yig'ing.
- Difraksiyon panjara optik taglikka o'matiladi.
- Yarim o'tkazgichli lazer tok manbaiga ulanadi va difraksiyon panjara orqali difraksiyon manzara kuzatiladi.
- Ekrandan difraksiyon panjaragacha bo'lgan masofa (L) ni o'lchang.
- Nolinchi va k tartibli maksimumlar orasidagi masofa (x_k) ni o'lchang.

7. Kichik burchaklar uchun $\tan \theta_n \approx \sin \theta_n$ bo'lganligi uchun $\tan \theta_n = \frac{x_k}{L}$ nisbat topiladi va (4) formuladan to'lqin uzunliklarini hisoblaymiz.

8. O'lhash va hisoblash natijalarini quyidagi jadvalga yozamiz.

No	Rang	d , (m)	k	L , (m)	x_k (m)	$\lambda_{o'ret}$ (m)	$\Delta \lambda_{o'ret}$ (m)	$\frac{\varepsilon}{\lambda}$ (%)
1	Qizil							
2	Yashil							
3								

9. Tajribadagi o'lhashlarning xatolkari aniqlanadi.

Nazorat savollari

- Difraksiya hodisasini tushuntiring va difraksiyani kuzatish shartini yozing.
- Guyygens va Gyuygens-Frenel prinsiplarini tushuntiring.
- Bir tirkish orqali difraksiyon manzarani chizing va difraksiyon maksimum va minimumlarning hosil bo'lishini tushuntiring.
- Difraksiyon panjara uchun maksimum va minimum shartlarini yozing.

№ 14 Laboratoriya ishi: Lazer nurlarini suyuqlikda yutilish

qonuniyatlarini o'rganish

Ishning maqsadi: 1. Lazer nurlanishi asosida yotadigan fizik jarayonlarni o'rganish;

2. Yutilgan va moddalaridan o'tgan nurlar intensivligining o'zgarish qonunlarini tajribada o'rganish.

Kerakli jihozlar: LG -104 tipidagi geliy-neon gaz lazeri, fotoelement, suyuqlik solinadigan ikki tomoni shaffof har xil uzunlikdagi trubkalar, shtativ, universal mikrometr, himoya qobig'i.

Nazariy qism

Elektromagnit to'lqinlar suyuqlikka tushganda qisman yutiladi va qisman o'tadi.

Dastlab elektromagnit to'lqinlarining optik bir jinsli muhitdan o'tish jarayonini tahlil qilaylik.

Elektromagnit to'lqin optik bir jinsli moddadan o'tganda to'lqin energiyasining bir qismi elektronlar tebranishini oshirishga sarf bo'ladi. Bu energiya qisman elektronlar uyg'otgan ikkilamchi to'lqin tarzida nurlanishga qaytadi, qisman esa boshqa turdag'i energiyaga aylanadi. Shunday qilib, yorug'lik moddadan o'tganda uning intensivligi kamayadi — yorug'lik moddada yutiladi.

Tajriba ko'rsatadiki, yorug'lik intensivligining o'zgarishi dx masofa va tushayotgan yorug'lik intensivligi J ning kattaligiga proporsional:

$$dJ = -k J dx \quad (1)$$

Bu ifodada k -yutilish koefitsiyenti bo'lib, u yutuvchi modda xususiyatiga bog'liq. Minus ishora dx masofada yorug'lik intensivligi dJ ga kamayishini ko'rsatadi.

Yorug'likning yutuvchi qatlama kirish paytidagi intensivligi J ga teng bo'lsin. Moddaming dx qalinlikdagi qatlaman o'tgan yorug'likning dJ intensivligini topaylik. Buning uchun (1) ifodani o'zgaruvchilarga ajratib, so'ng integrallaymiz:

$$\int_{J_0}^J \frac{dJ}{J} = -k \int_0^x dx$$

Natijada $\ln J - \ln J_0 = -kx$ hosil bo'ladi, bundan

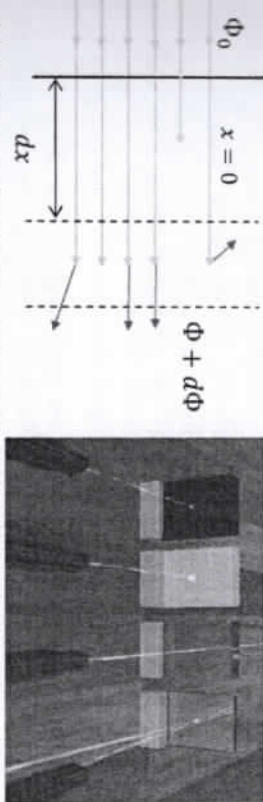
$$J = J_0 \cdot e^{-kx} \quad (2)$$

(2) munosabat *Buger qonuni* deb ataladi. Bu qonunga asosan yorug'lik intensivligi yutuvchi moddada eksponensial kamayadi. $I = 1/k$ bo'lganda J intensivlik J_0 ga nisbatan e marta kam bo'ladi. Shunday qilib, yutilish koefitsiyenti o'tayotgan yorug'lik intensivligini e marta kamayiradigan qatlam qalnligiga teskari bo'lgan kattalikdir. Yutilish koefitsiyenti k to'lqin uzunligi λ ga bog'liq.

Atom yoki molekulalari deyarli o'zaro ta'sirlashmaydigan holadagi moddalar (gazlar) da yutilish koefitsiyenti ko'rinvchi soha to'lqin uzunliklari uchun nolga yaqin, faqt juda qisqa ($\lambda < 3000 \text{ \AA}$) spektral to'lqinlarda keskin bo'lgan maksimumlarga ega. Bu maksimumlarga to'g'ri keluvchi chastotalar atomdag'i elektronlar tebranishlarining rezonans chastotalariga mos keladi. Ko'p atomli molekulalardan uchun ham ular tarkibidagi elektronlar tebranishlariga mos chastotalarda yutilish maksimumlari kuzatiladi.

Molekulalari o'zaro sost ta'sirlashadigan eritmalar uchun yutilish koefitsiyenti konsentratsiyaga to'g'ri proporsional: $k = k'n$, (3) bu yerda, n -eritma konsentratsiyasi, k' -birlik konsentratsiya uchun yutilish koefitsiyenti. Bu ifoda *Beer qonuni* deyiladi. (3) ifodani (2) ga qo'yساk, *Buger-Lambert qonuning* eritmalar uchun ko'rinishini hosil qilamiz:

$$J = J_0 \cdot e^{-n k x} \quad (4)$$



14.1-rasm. Laboratoriya qurilmasining ishlash prinsipi va tashqi ko'rinishi.

Yuqorida keltirilgan (2) va (4) ifodalar optik bir jinsli bo'lgan muhit uchun o'rinci bo'ladi. Optik bir jinsli bo'lmagan muhitda ikkilamchi elektromagnit to'lqinlarining bir qismi har tomoniga

sochiladi. Bu sochilish natijasida dastlabki yorug'lik oqimining energiyasi kamayib boradi.

Yutuvchi muhitda tarqalayotgan keng parallel yorug'lik dastasini ko'raylik. $x = 0$ tekislikdagi boshlang'ich yorug'lik oqimini F_0 orqali belgilaylik. Muhipta dx qatlamni o'lganda yutilish va sochilish hisobiga yorug'lik oqimi susayadi va uning qiymati $\Phi(x)$ dastlabki Φ ga nisbatan kamayib boradi. Muhitning dx kenglikdagi qismidan o'tugan oqim $\Phi + d\Phi$ ga teng va kattaligi Φ_0 ga nisbatan kam bo'ladi. U holda Buger-Lambert qonuning yorug'lik oqimi orqali ifodalangan ko'rinishi quyidagicha bo'ladi:

$$\Phi(x) = \Phi_0 \cdot e^{-k_0 x} \quad (5)$$

bu yerda, k_0 - yorug'lik oqimining susayish koefitsiyenti bo'lib, yutuvchi muhitning tabiatiga bog'liq bo'lgan kattalikdir, sochilish tufayli yorug'lik oqimining susayishini

$$k_0 = k + \mu \quad (6)$$

ko'rinishda yozish mumkin.

Shunday qilib, yorug'lik oqimi biror shaffof muhitdan o'tganda susayadi. Yorug'likning yutiishi va sochilishini ifodalovchi k_0 ni yutish va μ sochish koefitsiyentari orqali ifodalarak:

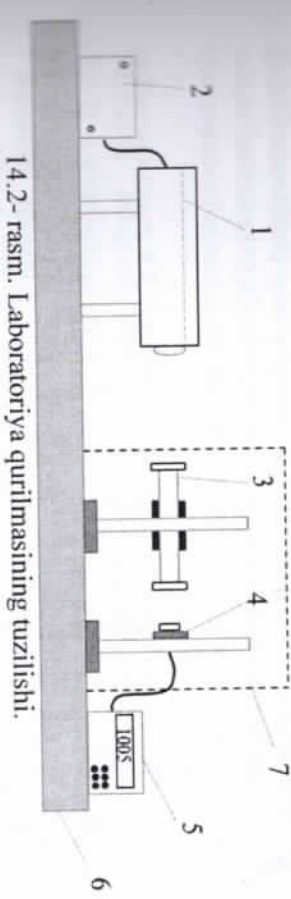
$$\Phi(x) = \Phi_0 \cdot e^{-(k+\mu)x}, \quad (7)$$

(2), (4) va (7) ifodalardan shu narsa ma'lum bo'ladiki, shaffof suyuqliklarda yorug'likning yutilishini o'rganish uchun kuchli yorug'lik oqimi hosil qilinishi kerak.

Lazer nurining suyuqliklarda yutish qonuniyatlarni o'rganishda kam quvvatli geliy-neon gaz lazeridan foydalananamiz. Chunki katta energiyali elektromagnit to'qinlar suyuqliklardan o'tayotganda nochiziqli hodisalar ro'y berishi va suyuqliklarning molekulalar bog'lanishi buzilishi mumkin.

Eksperimental qurilma va ishani bajarish tartibi

Suyuqliklarda yorug'lik to'lqlinlarining yutilish qonuniyatlarni o'rganish maqsadida yig'ilgan qurilma geliy-neon gaz lazeri 1, tok manbai 2, o'rganilayotgan suyuqlik solinadigan ikki tomoni shaffof har xil uzunlikdagi trubkalar 3, optik taglik 6, himoya qobig'i 7, fotoelement 4 va mikroampermetr 5 dan tashkil topgan (14.2-rasm).



14.2- rasm. Laboratoriya qurilmasining tuzilishi.

Ishni bajarishdan oldin gaz lazeri, suyuqlik solingen trubka va fotoelement bir optik o'qda joylashishi ta'minlanadi. Bizga ma'lumki lazer nuri kogerent to'lqin hisoblanadi. Ana shu kogerent yorug'lik to'lqlarining suyuqliklarda susayishini o'rganish suyuqlikning yorug'likni yutishi bilan bog'liq xossalarni ochib berishga mo'ljallangan. Ana shunday xossalardan biri suyuqlikdan o'tayotgan yorug'lik oqimining suyuqlik konsentratsiyasiga bog'liqligidir.

Laboratoriya ishida yorug'lik oqimini qayd qilish uchun yarim o'tkazgichli fotoelementidan foydalaniлади. Fotoelementdaunga ushgan yorug'lik oqimiga proporsional miqdorda fototok hosil bo'ladi. (Stoletov qonuni). Bunday fotoelementni tanlash uning spektral sezgirligi lazer to'lqin uzunligi sohalarida katta ekanligi bilan hisosida. Fototok yuqori sezgirlikka ega bo'lgan suyuq kristallar hisosida ishlaydig'an raqamli mikroampermetr yordamida qayd qilinadi. Yorug'likning susayish qonunlarini o'rganish uchun suyuqlik sifatida distillangan suv, osh tuzi va shakarning suvdagi eritasidan foydalaniлади. O'chashlarni tashqi yorug'likdan himoya qobig'i ostida yoki qorong'ulikda o'tkazish lozim. Mazkur ishda lazer nurining suyuqliklarda yutilishi kogerent yorug'lik to'lqlarini yutuvchi muhit qolningiga va konsentratsiyasiga bog'liqligini o'rganish mumkin.

Ishni bajarish tartibi:

1. Guz-lazeri tok manbaiga ularadi va 5-10 minut qizdiriladi;
2. Biror konsentratsiyali suyuqlik yoki distillangan suv olinadi va 9-10 sifil uzuqlikdagi trubkalarga quyiladi.
3. Bo'sh trubkadan o'tgan lazer nuri hosil qilgan fototokning maksimal qiymati mikroampermetr ko'rsatishidan yozib olinadi.

4. Ma'lum konsentratsiyali suyuqlik solingan eng kichik uzunlikdagi trubkadan boshlab naychalarни lazer nuri yo'liga navbatna-navbat shattiv yordamida o'matiladi va har bir uzunlik uchun mikroampermeter ko'rsatishi yozib olinadi.

5. Har bir uzunlikdagi naychalar uchun tajribani 3-4 marta takrorlang va fototokning o'ttacha qiymatini aniqlang.
 6. Olingan natijalar asosida $I_{o'rt} = f(l)$ grafigini chizing.
 7. Endi bir xil uzunlikdagi 7 — 8 ta trubka olib, unga n_0 , $n_0/2$, $n_0/4$, $n_0/8$, $n_0/16$, $n_0/32$ konsentratsiyali suyuqlik solinadi.
 8. Har bir konsentratsiyali suyuqlik lazer nuri yo'liga qo'yiladi va tajribalar takrorlanib fototok qiymatlarining o'ttachasi $i_{o'rt}$ topiladi.
 9. Berilgan uzunlikdagi suyuqlik uchun $I_{o'rt} = f(n)$ bog'lanish grafigi chiziladi.
 10. O'chash xatoliklarini baholang.
 11. Olingan tajriba natijalarini nazariya bilan taqqoslang.

Nº	l (m)	I (λ)	n_0 (m^{-3})	k
1 (bo'sh idish)			0	
2			$n/2$	
3			$n/4$	
4			$n/8$	
5			$n/16$	
6			$n/32$	
7			$n/64$	
8			$n/128$	
9			$n/512$	
O'ttacha				

Nazorat savollari

- Lazer nurlanishida yuz beradigan jarayonlarni tushuntiring.
- Lazerlarning qanday turlarini bilasiz?
- Geliy-neon lazerining ishlash prinsipini tushuntiring.
- Yorug'lik nurlarining moddalaridan o'tganda qaytgan, yutilgan va o'tgan nurlarning intensivliklarining o'zgarish qonuniyatlarini tushuntiring.
- Yorug'likning tutash muhitishi yutuvchi muhit qalilligiga va konsentratsiyasiga qanday bog'liq?

№ 15 Laboratoriya ishi: Yadroviy nurlanishlarni qayd etuvchi qurilmalar- detektorlarning tuzilishi va ishlash prinsipini o'rGANISH

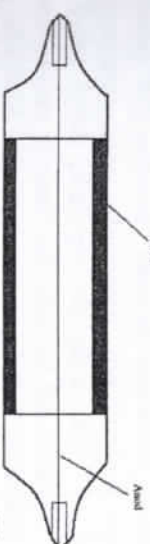
Ishning maqsadi: turli nurlanish manbalaridan chiqadigan yadroviy nurlanishlarni qayd etish usullarini, qayd etuvchi asboblar-detektorlarning tuzilishi va ishlash prinsiplari bilan tanishish.

Kerakli jihozlar: Geyger-Myuller sanagichi, scintillator, fotok'paytirgich va boshqa detektor namunalari, DP-5 A,B,V rentgenometri, detektorlarning ishlash prinsipini tushunturuwchi: skemalar va boshqa rasmlar.

Nazariy qism

Geyger-Myuller sanagichi

Geyger-Myuller sanagichlarini ionlashgan kamera va proporsional sanagichlardan asosiy farqi shundan iboratki, tok impulsining qiymati birlumchi zaryadlarga bog'liq emas. Demak, bu sanagichlar yordamida hujat nurlanish oqimining zichligini aniqlash mumkin. Zarachalarning intensivligi va energiyasi haqida hech qanday ma'lumot olib bo'lmaydi. Ishlash prinsipini razryadlanish mexanizmi yordamida tushuntirish mumkin. Nurlanishlar ta'sirida hosil bo'lgan birlamchi zaryadlar sanagichda razryadni yuzaga keltrish uchun zarurdir. Keyinchalik razryadlanish mustaqil davom etadi. Bu jarayonning sodir bo'lishi uchun sanagichka yetarli darajada kuchlanish berish kerak bo'ladi. Shu sababli Geyger-Myuller sanagichlarining ish kuchlanishlari proporsional sanagichlarning ish kuchlanishiga qo'nganda katta bo'ladi. Bu sanagichning ishlash sohasi 15.2- rasmida ko'rsatilgan grafikdagi (V) sohaga to'g'ri keladi.

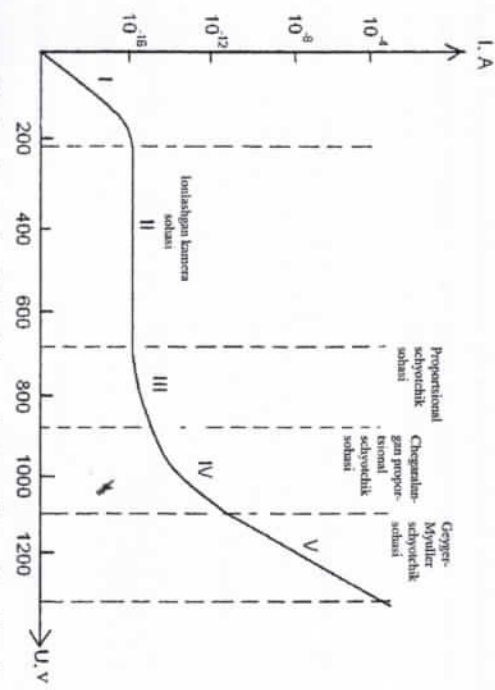


15.1-rasm. Geyger-Myuller sanagichining tuzilishi.

boshlang'ich qiymatiga ko'tariladi. Bu vaqt oralig'iga sanagichning iklanish vaqtini deyildi. Ikkita ketma-ket kelgan zarrachalarni qayd qilish mumkin bo'lgan vaqt oralig'i sanagichning vaqt bo'yicha ijratish qobiliyatini belgilaydi.

O'zi so'nuvchi sanagichlar turli xil zarrachalarni qayd qilish uchun ishlataladi. Sanagichning qayd qilish qobiliyati zarrachaning turiga bog'liq. Zaryadli zarrachalar uchun qayd qilish qobiliyati 100% ga yuqindir. Qayd qiliш qobiliyatinu quyidagi ifoda orqali topish mumkin:

$$\varepsilon = 1 - \exp(-\omega L P / P_0)$$



15.2-rasm. Yadroviy nurlamishlarini qayd etuvchi qurilmalarning volt-amper xarakteristikasi bo'yicha ishslash sohalari.

Agar razryadlarni so'ndirish choralar ko'rilmasa, sanagichning vaqt bo'yicha ajaratish qobiliyati bo'lmaydi. Razryadlarni so'ndirish uchun bir qator usullar ishlab chiqilgan.

O'zini o'zi so'ndiruvchi sanagichlarda asosiy gaz tarkibiga qo'shimcha gazlar kiritiladi va bu gazlar razryadanishni so'ndirish vazifasini bajaradi. Umumiy gazning 90% ini asosiy gaz, qolgan 10% ni esa so'ndiruvchi gaz tashkil qiladi. Qo'shimcha gaz sifatida ko'pincha spirit bug'ari va efir ishlataladi. So'ndiruvchi gaz quyidagi talabga javob berishi lozim. So'ndiruvchi gazdagi birlamchi ionlashish potensialining qiymati, asosiy gazdagi birlamchi ionlashish potensialidan har doim katta bo'lishi kerak. Sanagichning ishlashi quyidagiicha bo'ladi: birlamchi zaryadli zarracha gaz atomlari bilan ta'sirlashib, ularni ionlashtiradi. Elektronlar anod elektrodiga qarab harakatlanadi va 10^{-8} sek oralig'ida yig'iladi. Anod tolasi atrofida fazoviy musbat zaryad hosil bo'ladi. Bu fazoviy zaryad anod tolasi oldidagi elektr maydoni kattaligini kamaytiradi. Natijada elektron-foton shiddatlari jarayonini so'ndradi. Sanagich keyingi zarrachani qayd qilishga tayyor bo'ladi. Keyingi zarrachani qayd qilishga tayyor bo'lishi uchun musbat zaryadlar anoddan ma'lum kritik masofaga borishlari lozim bo'ladi. Shundan keyingina elektr maydoni o'zining

bu yerda ω - zarrachaning normal bosindagi 1 sm masofadagi birlamchi solishtirma ionlashtirish kattaligi; L- zarrachani sanagichdagi bosib o'gan yo'lli; P- sanagich ichidagi gazning bosimi. Geyger-Muller sanagichi yordamida α -, β -, γ -nurlarini qayd qilish mumkin. Bu sanagichlarning past kuchlanishlarda ham ishlaydigan ko'rinishlari mayjud bo'lib, ular galogen sanagichlari deb yuritiladi. Hunda geliy yoki neon tarkibiga kam miqdordagi argon gazi qo'shiladi. Razryadlanish mexanizmi boshqa ko'rinishni oladi. Neonnинг birinchi uyg'ongan holati metastabil bo'lib, neon atomlarini elektronlar in'strida uyg'ongan holatiga o'tkazish uchun kichik elektr maydoni yetaridir.

Quydagi jadvalda dozimetri asboblarda ishlatalidagan sanagichlardan bir nechta so'rsatilgan.

Dozimetri asboblarda ishlatalidagan sanagichlar

Kattaliklar	O'chov birligi	SBT-7	MSI-17	SI-3BG	STS-5	SI-34G
Ish kuchlanishi	V	380	1300	390	390	300
Sanoq bosishlandigan kuchlanish	V	300	1200	300	300	300
γ -nurlanishga sezgirligi	imp/s	-	-	235	27	50
Nurlanishning eng katta quvvati	μA	-	-	300	0,5	500
Sanagichdagi eng katta tok qiymati	imp/s	1	1	-	-	-
l'on						

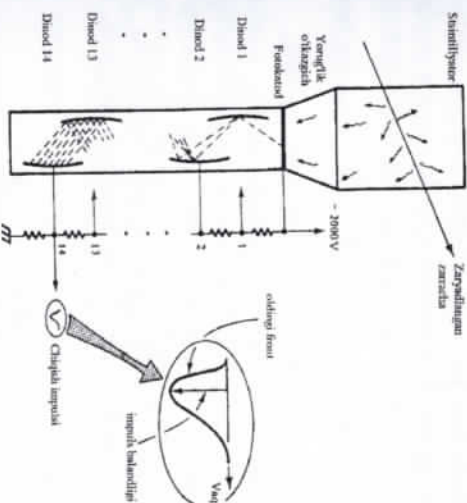
Scintillyatsion detektorlar

Dastlabki ssintillyatsion detektor-spintariskop, 1903-yilda Vilyam Krucks tomonidan yaratilgan. Bu asbob rux sulfidi (ZnS) qoplangan ekran va mikroskopdan iborat. Alfa-zarralar ekranga kelib urilsa, unda yorug'lik chaqnashlari kuzatilgan va chaqnash qayd etilgan. Insон ko'zi ko'rishining inertligi tufayli bu usuldan foydalanish uzoq vaqtgacha ishlatiimadi. 1944 — yilga kelib inson ko'zi o'miga fotoko'paytirgich ishlatala boshladi va ssintillyatsion detektorlar ommalashdi.

Zamonaviy ssintillyatsion detektor tuzilishi va undan olinadigan elektr signal ko'rinishi 15.3-rasmda keltirilgan. Bu qurilmada ssintillyatsion yorug'lik o'tkazgich orqali fotoko'paytirgichga ulangan. Ssintillyator orqali o'tayotgan zarracha undagi atomlarni uyg'ongan holatga o'tkazadi. Uyg'ongan atomlar foton chiqarish orqali dastlabki energetik holatiga qaytadilar. Chiqarilgan fotonlar maxsus shakl berigan yorug'lik o'tkazgich orqali fotoko'paytirgich fotokatodiga uzatiladi. Fotokatodga tushgan fotonlar undan elektron urib chiqaradi. Bu elektronlar elektr maydonida tezlashib, fotoko'paytirgichning 1-dinodiga fokuslanadi. Dinodga urilgan har bir birlamchi elektron $2 \div 5$ ta ikkilamchil elektron urib chiqaradi. Ikkilamchil elektronlar ikkinchi dinodga urilib uchlamchil elektronlarni chiqaradi va jarayon shu taxlitda davom etadi. Ushbu qurilmalarda 14 tagacha fotoko'paytirgich bosqichlari bo'lib, signalni 10^9 martagacha ortitish va shu orqali fotoko'paytirgich chiqishida o'chash uchun qulay kattalikdagি signalni olish mumkin. Fotoko'paytirgich oxirgi dinodida olingen elektr signali shakli 15.3-rasmda alohida ko'rsatilgan.

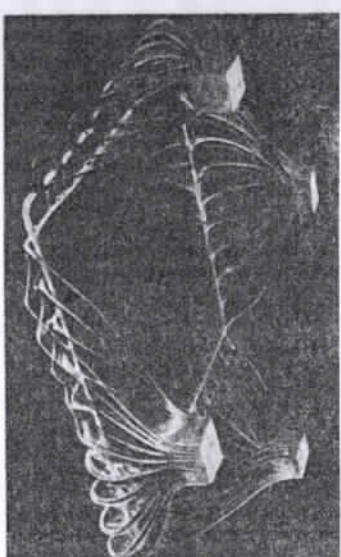
Hozirgi vaqtida natriy yodli va plastik ssintillyatorlar keng qo'llaniladi. Natriy yodli kristallga lyuminitsensiya markazi sifatida xizmat qiluvchi talliy (Tl) elementi kam miqdorda ishlataladi. Shuning uchun ham uning formulasi quyidagicha yoziladi: $Nal(Tl)$.

Bu anorganik kristallarning gamma-nur'targa sezgirligi anche yuqori bo'ssa-da, chaqnashning so'nishi juda sekin kechadi ($\sim 0,25\mu s$). Bundan tashqari $NaI(Tl)$ birkimasi namlikka o'ta sezgir (gigroskopik) va katta kristallar juda qimmat turadi.



15.3-rasm. Scintillyatsion detektor tuzilishi va fotoko'paytirgichda olingen elektr signallari.

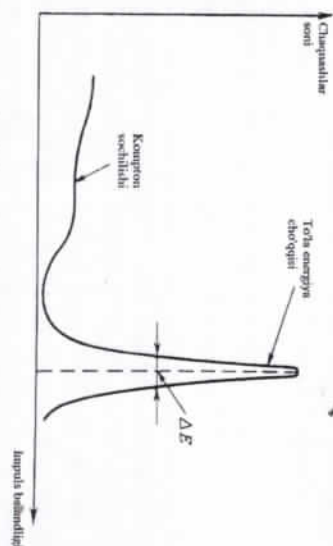
Plastik ssintillyatsion sanagichlar, masalan, terfenil aralashmali politsirin ancha arzon turadi. Bu moddalarini pylonka shaklida olish va istiyoriy shakl berish mumkin (15.4-rasm). Plastik ssintillyatorlar chaqnashning so'nish vaqtini juda kichik (bir necha nanosekund), lekin ularning fotonlarni qayd qilish sezgirligi past. Shuning uchun ham bunday detektorlar asosan zaryadlangan zarrachalarini qayd etishda ishlataladi.



15.4-rasm. Maxsus tayyorlangan ssintillyator namunasi.

Nal(Tl) kristallida gamma-nurlarni qayd etish mexanizmi quyidagicha: energiyasi 1 MeV dan kichik gamma nurlar energiyasi assan fotoeffekt va Kompton effektiga sarflanadi. Fotoeffekt vaqidi hosil bo'lgan elektronlar energiyasi $E_e = E_j - E_{bog}$ ga teng bo'lib, bu yerda E_{bog} - elektronning yadroda bog'lanish energiyasi.

Bu elektronlar sanagich kristallida to'liq yutilib, ularning energiyasi fotonlar ko'rinishida fotoelektron ko'paytirgichga tushadi va elektronning boshlang'ich energiyasi E_e ga proporsional va ma'lum bir ΔE kenglikdagi impuls hosil qildi. Fotoeffekt tufayli hosil bo'lgan bunday impuls yoki to'la energiya impulsni 15.5-rasmda ko'rsatilgan.



15.5-rasm. Ssintillatsion detektorning chiqish impulsini.

Kompton effekida elektron olayotgan energiya elektronning sochilish burchagiga bog'liq ekanligidan 15.5-rasmdagidek spektral taqsimotga ega bo'ladi.

To'la energiya impulsi balandligi yarmiga to'g'ri keladigan kenglik detektorning ajrata olish qobiliyatini belgilaydi. Detektorning ajrata olish qibiliyatini quyidagicha aniqlanadi.

$$R = \frac{\Delta E}{E_j} \cdot 100\%$$

Ssintillatsion detektorlar uchun ajrata olish qibiliyati

$E_j = 100 \text{ keV}$ da $R = 20\%$, $E_j = 1 \text{ MeV}$ da $R = 6 \div 8\%$ ga teng. Gamma kvant energiyasi 1 MeV dan yuqori bo'ganda elektron- pozitron jutti

hosil bo'ladi, elektronlar kristalda yutilib, pozitron ikkita $0,51 \text{ MeV}$ lik fotonga aylanib, kristalldan chiqib ketishi mumkin. Shunday qilib, kristall oladigan energiya fotonlar kristalda to'la yutilsagina, gamma- kvant energiyasiga teng bo'ladi ($E = E_j$). Agar bitta foton chiqib ketsa, $E = E_j - m_e c^2$, agar pozitron anniglyatsiyasi tufayli hosil bo'lgan har ikki foton chiqib ketsa, $E = E_j - 2m_e c^2$ ga teng bo'ladi.

Detektorda qayd etilayotgan zarrachalarning energiya bo'yicha ijratilishi - detektorning ajrata olish qobiliyati yadro fizikasi bo'yicha tujribalarda eng muhim masalalardan biri hisoblanadi. Yuqorida ko'rsatilgan $R \approx 10\%$ ajrata olish ba'zi hollarda yetarli bo'lsa-da, o'zaro yaqin energiyali gamma-nurlanishlarni qayd etishda kamlik qildi.

Detektor xatoligining sabablarini tushunish uchun unda jarayonlar ketma-ketligini bilish kerak:

Birlamchi γ - kvant o'z energiyasiga deyarli teng fotoelektronni hosil qildi ($E_e \approx E_j$). Hosil bo'lgan fotoelektron atomni uyg'otish va ionlashda ishtirok etib, n_{iq} — yorug'lik kvantini hosil qildi. Bu yorug'lik kvanti energiyasi $E_{iq} \approx 3eV (\lambda \approx 400 \text{ nm})$ ga teng.

Yorug'lik kvantlari soni quyidagicha aniqlanadi:

$$n_{iq} \approx \frac{E_\gamma}{E_{iq}} \cdot \varepsilon_{yoruglik}$$

bu yerda $\varepsilon_{yoruglik}$ - uyg'onish energiyasining yorug'lik kvantiga iyylanish effektivligi.

Tasirlashuvda hosil bo'lgan n_{iq} -yorug'lik kvantidan fotoko'paytirgich katodiga uning bir qismigina tushadi ($\varepsilon_{m'qashshu}$). Fotokatodga tushgan har bir yorug'lik kvanti ε_{katod} - ehtimoliyat bilan elektron urib chiqaradi. Shunday qilib, fotoko'paytirgich kirishida hosil bo'lgan elektronlar soni quyidagicha aniqlanadi.

$$n_e \approx \frac{E_\gamma}{E_{iq}} \cdot \varepsilon_{yoruglik} \cdot \varepsilon_{kor'quashuv} \cdot \varepsilon_{katod}$$

Keltirilgan formuladagi effektivlik koefitsiyentleri quyidagi qiymatlarni qabul qiladi.

$$\varepsilon_{yorganik} \approx 0,1; \varepsilon_{loqashuv} \approx 0,4; \varepsilon_{katal} \approx 0,2.$$

Yuqoridagi baholashlar asosida energiyasi $1MeV$ bo'lgan γ -kvant yutilishida fotokatoddan ajraladigan elektronlar soni $n_e \approx 3 \cdot 10^4$ ga teng bo'lishi kerak.

Nal (Tl) kristali uchun $\varepsilon_{yorganik} \approx 0,1$ bo'lsa, plastik scintilyatorlar uchun $\varepsilon_{yorganik} \approx 0,03$ ga teng. Bu baholashlarni o'rganishda qarayotgan jarayonlar statistik xarakterga ega ekanligini hisobga olish kerak. Statistik taqsimotlar asosida ssintillyatsion detektorlarda kuzatiladigan nurlanish impulsi kengligini nazariy baholashlar bunday detektorlarning ajrata olish qobiliyatni $6 \div 8\%$ dan kichik bo'lmasiagini ko'rsatadi.

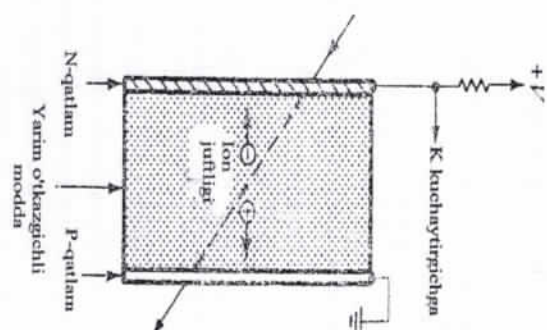
Yarim o'tkazgichli detektorlar

Yarim o'tkazgichli detektorning ishlash prinsipi zaryadlangan zarachalar qattiq jism orqali o'tganida quyidagi formula bilan aniqlanuvchi ion juftlarining hoslil bo'lishiga asoslangan.

$$n_{ion} = \frac{E}{W}$$

Bu ifodada W - bitta ion jufti hoslil bo'lishi uchun zarur energiya miqdori.

Agar hoslil bo'lgan ionlarni elektr maydoni yordamida ajratib, bir xil ishorali zaryadlar yig'indisini o'lchasak, yuqoridagi formula asosida boshlang'ich elektronlar energiyasini aniqlash mungkin. Yarim o'tkazgichlarda bitta ion juftligini hoslil qiluvchi W energiya germaniy (Ge) uchun $2,9eV$, kreminiy (Si) uchun $3,5eV$ ni tashkil etadi. Bunday kichik ionlanish energiyasi yarim o'tkazgichlar elektron tuzilishining o'ziga xos xususiyati bilan bog'iqli. Yarim o'tkazgichli detektorning ishlash prinsipi va tuzilish 15.6-rasmida keltirilgan.

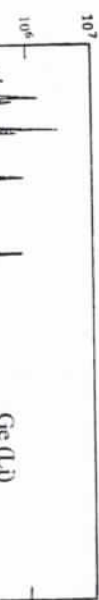


15.6-rasm. Yarim o'tkazgichli detektorning ishlash prinsipi va tuzilish sxemasi

Yarim o'tkazgich plastinka tomonlariga qo'yilgan elektr maydoni turli ishorali zaryadlarni ajratib tok impulsini hoslil qiladi. Hoslil bo'lgan tok impulsi past shovqinli kuchaytirigichga beriladi. Xona haroratida issiqqlik tebraniishlari qurilmada keraksiz impulslarini yuzaga keltiradi. Shuning uchun yarim o'tkazgichli detektorlar suyuq azot haroratigacha sovitilgan holda ishlattildi.

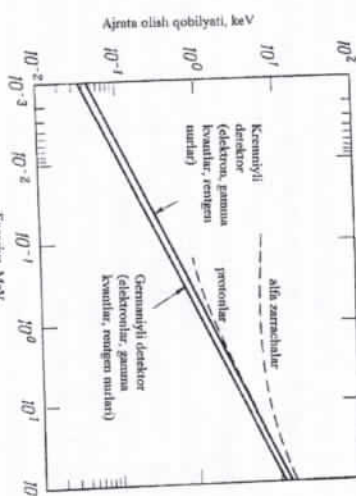
Yarim o'tkazgichli detektorlarda ionlanish energiyasining kichikligi va barsha ionlarni to'plash imkoniyati, bu detektorlarning ajrata olish qibiliyatini yuqori bo'lishiga olib keladi.

Quyidagi 15.7-rasmda ssintillyatsion (NaI(Tl)) va yarim o'tkazgichli (Ge(Li)) detektorlarda olingan murakkab spektr ko'rinishi keltirilgan.



15.7-rasm. Ssintillyatsion va yarim o'tkazgichli detektorlarda radioaktiv namuna nurlanish spektrining ko'rinishini taqoslash

Bu spektrlardan ko'rilib turibdiki, yarim o'tkazgichli detektorlarning ajrata olish qobilyati ancha yuqori darajaga ega. Ge (Li) va Si (Li) yarim o'tkazgichning detektorlar uchun ajrata olish qobilyyatining qayd etilayotgan zarrachalar energiyasiga bog'liqligi 15.8-rasmda keltirilgan.

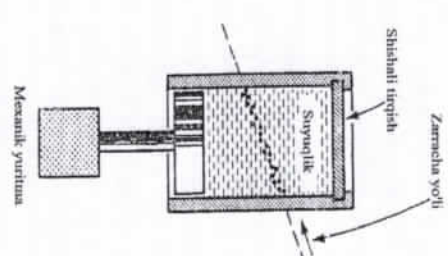


15.8-rasm. Yarim o'tkazgichli detektorlarning energiya bo'yicha ajrata olish grafigi

Pufakli kameralar
Ssintillyatsion va yarim o'tkazgichli detektorlar ular orqali o'tayotgan zarrachalar energiyasi va soni haqidada ma'lumot beradi, xolos. Agar bu detektorlarga bir vaqtida ikkita detektor kelib tusha, ular bu faktini ilg'ay olmaydilar.

1952-yilda M.Glezzer tomonidan yaratilgan pufakli kameralar elementtar zarralar xossalari o'rganishda muhim rol o'ynadi. Pufakli kamerada kechadigan fizikaviy jarayonlarni Glezyer quyidagicha tifflagan: «Pufakli kamera o'ta qizdirilgan shaffof suyuqlik bilan to'ldirilgan idishdan iborat bo'lib, undan o'tayotgan ionlashtiruvchi zarracha bu suyuqliki qaynashga va shu sababli o'z yo'iida pufaklar zanjirini hosil qiladi».

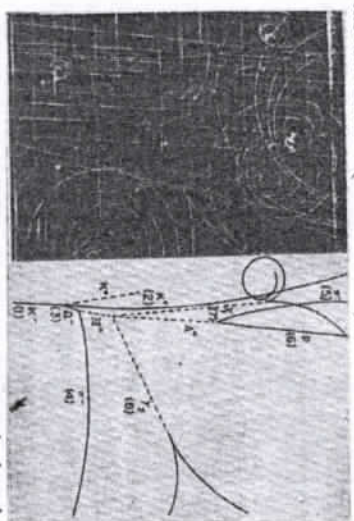
O'ta qizdirilgan suyuqlik shunday harorat va bosimdagи suyuqliki undagi bosimi shu suyuqlik bug'ning xuddi shu sharoidagi bosimidan ancha past bo'ladi. Suyuqliking bunday holati turg'unmas bo'lib, undan o'tayotgan zarra suyuqlikda bug' pufaklari hosil bo'lishiga olib keladi. (15.9-rasm)



15.9-rasm. Pufakli kameraning ishlash prinsipi va tuzilishi

Suyuqlik o'ta qizdirilgan holatga o'tishi uchun dastlab muvozanat bosimida bo'fadi, keyin porshenni pastiga surish orqali bosim keskin pasaytiriladi va bir necha millisekund davomida kamera sezgir holatda bo'fadi. Bu sezgirlik vaqt tezlatgichdan kameraga zarrachalar tushudigan vaqt bilan sinxronlashtiriladi. Kamerada hosil bo'lgan

pufakchalar elektron fotochaqnaqich bilan yoritilib, ularning o'tganidan keyin ham berish mumkinligi ko'rinadi (15.10-rasm).



15.10-rasm. Pufakli kamerada elementar zarrachalarning qoldirgan izi-treklar

Pufakli kameralarda ko'pincha suyuq vodorod ishlataladi va portlash xavfi mavjud. Bunday kameralarning effektivligini oshirish uchun ularni kuchli magnit maydoniga joylashtiriladi. Bu holda kameraga tushegan zarralar trayektoriyasi egrilanib, ularning massasi va energiyasi haqida ma'lumot olish mumkin bo'лади.

Uchqunli kameralar

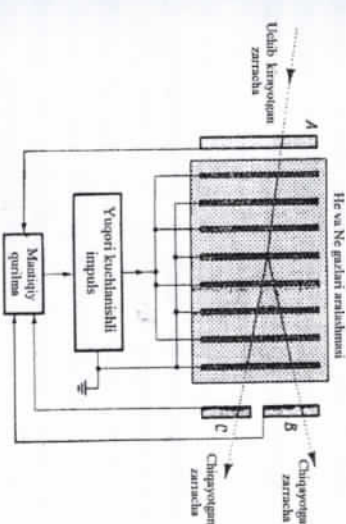
Pufakli kameralarning afzalliklari ko'п bo'lsa-da, ularning bitta kamchiliги mavjud: ularni biz xoxlagan vaqtida xoxlagan jarayonni kuzatish uchun ishga tushirish imkoniyati yo'q. Buning sababi shundaki, pufakli kamerani tez ishga tushirishning imkoniyati yo'q, chunki undagi suyuqlik o'ta qizdirilgan holatda bo'lishi lozim.

Uchqunli kameralarni esa biz kuzatmoqchi bo'lgan jarayonning o'zi yordamida, bizni qiziqtingan vaqt momentida ishga tushirish mumkin.

Uchqunli kameralar juda oddiy hodisaga asoslanib ishlaydi: agar bir-biridan 1 sm masofada parallel joylashtirilgan ikkita metall plastinka orasidagi kuchlanish biror kritik qiymatdan yuqori bo'lsa, elektr zaryadi boshslandi. Agar shu vaqtida ionlashtiruvchi zarracha plastinalar orasidan o'tsa ion juftliklari hosil bo'lib, zaryad zarracha trayektoriyasi bo'yab tarqaluvchi uchqun ko'rinishini oladi. Agar hosil bo'lgan ionlar bir necha mikrosekund davomida o'z o'mida qolishini

hisobga olsak, uchqunli kamерага kuchlanishni zarracha kameraladan o'tganidan keyin ham berish mumkinligi ko'rinadi. Shunday qilib, uchqunli kamerali avtomatik ravisida ishga tushadigan detektor sifatida qarash mumkin.

Oddiy uchqunli kameralarning tuzilishi 15.11-rasmda keltirilgan.



15.11-rasm. Uchqunli kameralarning tuzilishi va ishlash prinsipi

Bunday kameralar yordamida uchib kirayotgan zarracha kameraladagi atom yadrosi bilan to'qashib, kamida ikkita zaryadlangan zarracha hosil qilgan reaksiyalarni kuzatish mumkin. Bunda 15.11-rasmida A,B,C sintillyatsion detektorlar anallda bir vaqtida uchta zaryadlangan zarrachani qayd qiladi. Bu jarayon amalga osghanda muntiqiy qurilma kuchlanish sakrashini hosil qiluvchi signal chiqaradi va kamera plastinalariga yuqori kuchlanish impulsi (10-20 kV) 50 ns dan kam vaqt ichida uzatiladi. Elektr zaryadi tufayli hosil bo'lgan uchqun kanallari stereofotografiya yordamida rasimga tushiriladi.

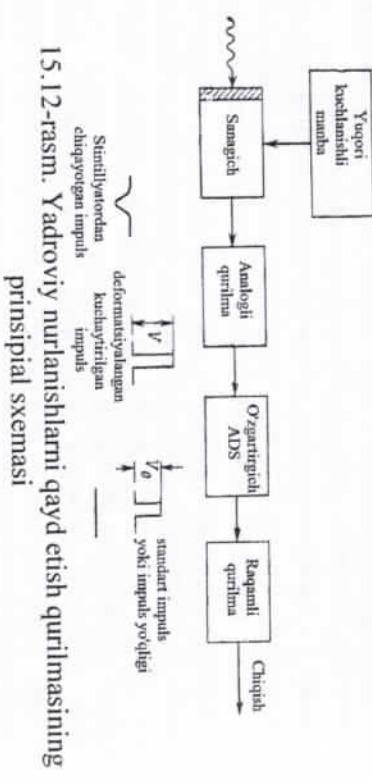
Yuqorida ko'sratilgan standart uchqunli kamerali qurilma turli xil modifikatsiyalarda har xil fizikaviy masalalarni yechishda ishlataladi. Masalan, yupqa plastinali uchqunli kameralar zaryadlangan zarralar trayektoriyasini aniqlashda ishlatalisa, qalin qo'rg'oshin plastinalar jumma nurlarni o'rGANISHDA yoki elektronarni myuonlardan ajratishda ishlataladi. Elektronlar myuonlardan qo'rg'oshinda zarralar oqimi (dustasi) hosil qilishi bilan farqlanadi. Kichik o'lchamli uchqunli kameralar yadro fizikasida turli maqsadlarda ishlataladi, katta o'lchamdag'i kameralar esa asosan neytroni qayd etish uchun ishlataladi.

Optik uchqunli va pufakli kameralar eksperimental natijalarni zarralar trayektoriyasi yoki treklarning fotografik tasviridan ajratib olish bilan bog'liq kamchilikka ega. Bu jarayon ancha noqulay ekanligidan hozirgi vaqdida elektron qayd etuvchi uchqunli kameralar qo'llanilmoqda. Bu kameralarda plastinilar koordinata to'mini hosil qiluvchi o'tkazgichlar bilan almashitirilgan. Bunda hosil bo'lgan uchqunlar o'tkazgichlarda impuls hosil qiladi va ferit o'zaklarda magnitianish ko'rinishida qayd etilib, elektron hisoblash mashinasiga uzatiladi.

Detektorlar uchun elektron qurilmalar

Zamonaviy detektorlarning barchasi o'z tarkibiga elektron qurilmalarni oadi. Elektron qurilmaga misol tarqasida ssintillyatsion detektor bilan birga ishlatalidigan quyidagi elektron sxemani keltirish mumkin (15.12-rasm). Bu sxemada boshqariladigan ta'minlash manbai foto'o'paytirgichga kuchlanish beradi. Foto'o'paytirgichning chiqish signali analog qurilmada ma'lum formaga ketirilib kuchaytiriladi. Bunda olingan impulsning amplitudasi dastlabki impuls amplitudasiga proporsional bo'ladi.

ADC (the analog to digital converter) o'zgartirgichda impulslar raqamli ifodalashga qutay holatga keltiriladi. Bunda amplitudasi V_0 va $V_0 + \Delta V$ oraliqida yotuvchi impulslargina qayd etiladi. Ya'ni, agar impuls shu intervalga qarashli bo'ssa, o'zgartirgich blokidan standart signal chiqadi, aks holda o'zgartirgichdan hech qanday signal chiqmaydi.



15.12-rasm. Yadroviy nurlanishlarni qayd etish qurilmasining principial sxemasini

Raqamli qurilma faqat standart signallarni qayd etadi. Bu qurilma har 10 yoki 10^n (n - butun son) kirish signalini bitta qilib sanashi mumkin. Bu holda uning chiqishidagi signal ma'lum energetik intervalga mos keluvchi 10^n birligidagi kirish signallari sonini ifodelaydi. Keltirilgan elektron sxemani laboratoriya da yig'ish unchalik qiyin emas, chunki uning tarkibiy bloklari standart holda tayyorlanib soliladi. Eksperimentator fizik ularni tamlab, kerakli qismalarni yig'ishigina talab etiladi. Elektron sxemadan chiqayotgan signallar ko'p kanalli analizator yoki personal kompyuterga uzatiladi va displayda qayd etilayotgan nurlanish spektrini ko'rish mumkin (15.7-rasmga qarang).

Nazorat savollari

1. Radioaktiv nurlanishlar va ularning turлari haqida tushuncha bering.
2. Tabiiy va suniy radioaktiv oilalarni tushuntiring.
3. Gaz raziyad detektorlarning tuzilishi va ishlash prinsipini tushuntiring.
4. Ssintillyatsion detektorlarning tuzilishi va ishlash prinsipini tushuntiring.
5. Detektorning ajrata olish qobiliyati deb nimaga aytiladi?
6. Scintiliyatorlarning turлari va ularning o'ziga xos xususiyatlarini tushuntiring.
7. Yarim o'tkazgichli detektorlarning tuzilishi va ishlash prinsipi.
8. Pufakli kameralar tuzilishi va ishlash prinsipini tushuntiring.
9. Uchqunli kameralar tuzilishi, ishlash prinsipini tushuntiring va nifzalliklarini aytинг.
10. Detektorlar uchun elektron qurilmalarning vazifalarini tushuntiring.

№ 16 Laboratoriya ishi: Radioaktiv nurlarning turli muhitlarda yutilish koeffitsiyentini virtual tajribada aniqlash

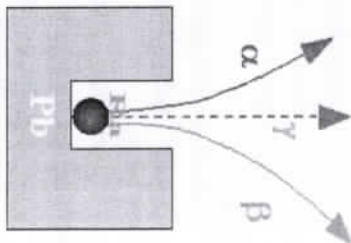
Ishning maqsadi: turli moddalarda radioaktiv nurlanishlar intensivligining yutilish koeffitsiyentini, radioaktiv nurlanishlar intensivligining material qalnligi bo'yicha o'zgarishini aniqlash va talabalarda axborot kommunikatsion texnologiyalar asosida radioaktiv nurlanishlar xossalari haqida bilim va ko'nigmalarini hosil qilish.

Kerakli jihozlar: kompyuter, videoproyektor, ekran, virtual laboratoriya ishi yozilgan disk.

Nazariy qism

Fransuz fizigi A. Bekkerel uran tuzlarida yorug'lik ta'sirida fosforessensiya hodisasi kuzatilgandek, Rentgen nurlarida ham shu hodisa kuzatiladimi yoki yo'qmi degan maqsadda, uran tuzlariga yorug'lik ta'sirini o'rgana boshladi. 1896-yili 1 martda fotoplastinkaning qorayishiga qarab uran tuzining, jismlar ichiga kuchli kira olish xususiyatga ega bo'lgan ko'rinnas nurlar chiqarishini aniqladi. Ko'p o'tmasdan Bekkerel uranning o'zi ham nurlar chiqarish xossasiga ega bo'lishini aniqladi. Keyin bunday hodisa toriy atomida ham borligini kuzardi. Tashqi ta'sirisiz jismlardan o'zo'zidan nurlar chiqish hodisaga radioaktivlik deyiladi. Radioaktivlik D.I.Mendelev davriy sistemasining eng og'ir elementlarga xos. 1898-yilda fransiya olimlari M. Skladovskaya-Kyuri va P. Kyuri uran mineralidan uran va toriyidan ham ancha kuchliroq darajada radioaktiv bo'lgan ikki yangi moddani ajratdilar. Ularni polony va radiy deb atadilar. Radioaktivlik jarayonida uch xil nurlar tarqaladi: α , β , γ - nurlanishlar. γ -nurlanishlarga magnit va elektr maydonlari ta'sir etmaydi(16.1-rasm).

Magnit va elektr maydonlari α va β - nurlariga ta'sir etadi. Ta'sir natijasiga qarab α -nurlar musbat va β -nurlar manfiy zaryadlarga ega ekanligini bilish mumkin. Haqiqatdan ham α -nurlar ionlashgan gelij atomlari, β -nurlari elektronlardan iborat ekanligi aniqlangan. γ -nurlar eng qisqa to'lqin uzunlikka ega bo'lgan katta energiyali elektromagnit to'lqinlardir. 1903-yili E. Rezerford va F. Soddi radioaktivlik



16.1-rasm

jarayonda bir kimyoiy element boshqa kimyoiy elementga o'tishini aniqlaganlar. Radioaktivlik jarayonda energiya ajralib chiqadi. Masalan, 1 g radyidan nurlanish jarayonida 600 J energiya ajralib chiqadi.

Alfa zarraning tabiat, uning zaryadini aniqlashdan boshlangan. U elektrometr yordamida aniqlanadi. Shu yo'l bilan aniqlangan alfa zarra zaryadining kattaligi $3,19 \cdot 10^{-19}\text{ KI}$ ga teng, bu elektron zaryadidan ikki marta katta. Uning ishorasi musbat. $\frac{e}{m}$ nisbatidan α -zarranining massasi aniqlandi. Uning kattaligi $6,62 \cdot 10^{-24}\text{ g}$ teng. Bu vodorod atom asosida α -zarra geliy atomi ekanligini isbotlaydi.

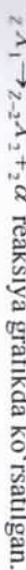
Magnit maydonida α -zarraning harkatini o'rganish jarayonda, uning tezligi aniqlandi. α -zarraning o'rtacha tezligi $1,6 \cdot 10^7\text{ m/s}$ teng. Tezlik kattaligi izotopga va radioaktiv elementga bog'liq. α -zarranining kinetik energiyasi bir necha elektron voltga teng u atom tuzilishini o'rganshda ideal snaryad vazifasini bajaradi.

Atom yadrosidan α -zarra chiqqanda, atom yadrosining zaryadi ikkiga, massasi esa to'rt atom birligiga kamayadi. Radioaktiv parchalanish jarayonida juda katta energiya ajraladi. Masalan radiy atomi ($Z = 88, A = 226$) α -zarra chiqarish natijasida radon atomi ($Z = 86, A = 222$) hosil bo'ladi. Bu parchalanish quydagicha yoziladi.

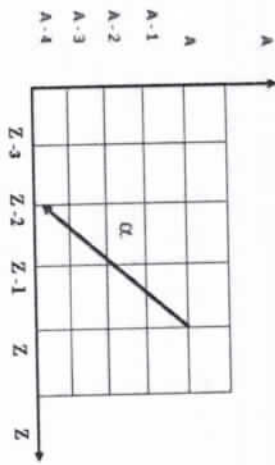


Q - parchalanish jarayonida ajralgan energiya.

Tenglamaning chap tomonida asosiy atom yadrosi, o'ng tomonida bosil bo'lgan atom yadrosi. Bu tenglamaning o'ng yuqori va quyi indekslarini yig'indisi chap tomonidagi atom indeksiga teng bo'lishi kerak, ya ni $222 + 4 = 226$ massanining saqlanish qonunu va $86 + 2 = 88$ zaryadning saqlanish qonunu o'rnlidir. Zarralarning atom massasini bilgan holda parchalanish energiyasi Q — qiymatini aniqlash mumkin. α -zarralar faqt massa soni A katta ($A > 200$) bo'lgan atom yadrolaridan chiqadi. Masalan radiy atom yadrosi α -parchalanish yuz berganda Radon yadrosi hosil bo'ladi. Oqibatda quyidagi siljish qonuni bajariladi: $A - 4; Z - 2; N - 2$.

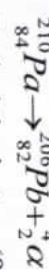


reaksiya grafikda ko'rsatilgan.

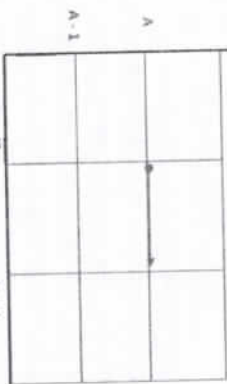


16.2-rasm. α —yemirilishda siljish qoidasining bajarilishi

Misol sifatida radioaktiv protaktiniy (Pa) atomi α — zarra chiqarganda qo'rg'oshin (Pb) atomi hosil bo'lishini qaraylik:



Radioaktiv izotop (β) beta-zarra chiqarish tufayli parchalansa, atom yadroсинing zaryadi birlik musbat zaryadga oshadi, lekin massa soni o'zgarmaydi. $A = Z + N$ tenglik o'rинli bo'lganligi tufayli radioaktiv izotopda neytronlar soni birga kamayadi. Reaksiya quyidagicha yozildi:

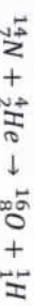


16.3-rasm. β —yemirilishda siljish qoidasining bajarilishi

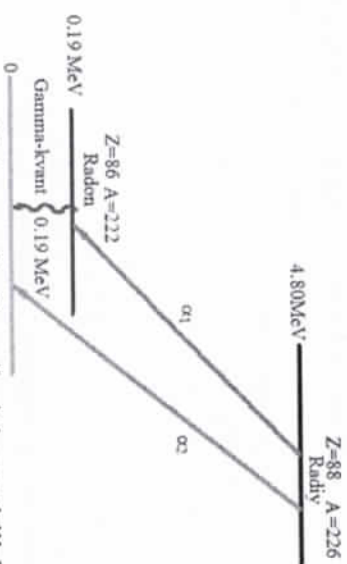
Masalan polony izotopi $^{210}_{84}\text{Po}$ hosil bo'lishda vismut izotopi $^{210}_{83}\text{Bi} \rightarrow ^{210}_{84}\text{Po} + \beta$ o'zidan β -zarra chiqarishi lozim. Reaksiya 16.3-rasmdagi grafik ko'rinishida bo'ladi. Grafikdan ko'rinish turibdiki, atomdan β -zarra chiqqanda uning musbat zaryadi bir birlikka oshadi, lekin atom massasi A o'zgarmaydi. β — zarralarning spektri ulzusiz

bo'ladi. β -zarralarning tezliklari kichikdan katta qiyamatgacha o'zgaradi, ya'ni ular ulzusiz energetik taqsimogiga ega. β -parchalaminish jarayonida yadro tarkibidagi neytron proton va elektronga bo'linib, elektron yadrodan chiqib ketadi. Lekin bu β -zarralarning energiya bo'yicha uzlusiz taqsimotini tushuntirmaydi. Qiyinchilikni 193-yil Pauli yechishga tuyassar bo'ldi. Pauli fikriga ko'ra β -parchalanishda elektronidan boshqa yana bir zarra uchib chiqishi kerak. Bu zarra neytrino ekanligi aniqlandi. Neytrino massasi elektron massasiga nisbatan juda kichik va u hech qanday zaryadga ega emas, ya'ni elektr neytral zarra. Natijada to'la energiya elektron va neytroning energiyalariga taqsimlanadi. Agarda elektron katta energiya bilan chiqayorgan bo'lsa, neytrino kichik energiya bilan chiqadi va aksincha. Uning mavjudligi bilvosita usullar bilan isbotlangan.

Gamma nurlanish atom yadrosi parchalansh jarayonida α va β -zarralar bilan birgalikda kuzatiladi. Interferensiya va difraksiya bo'yicha o'tkazilgan tajribalar natijasida γ -nurlarning tabiatini nurlari tabiatiga mos kelishi aniqlandi. Uning energiyasini bilvosita fotoeffekt, Kompton effekti usullar bilan aniqlanadi. Gamma nurlar to'iqin uzunligi juda qisqa elektromagnit to'iqinlar bo'lib, atom yadrosining energetik holatining o'zgarishiga bog'liq. Atom yadrosidan α , β — zarralar chiqqanda yangi yadro hosil bo'ladi, uning energiyasi avvalgi holatiga nisbatan katta. Yangi yadro boshang'ich holatga qaytishda γ -nurlar chiqaradi. 1919 — yil Rutherford α — zarra bilan ma'lum bir atomni bombardimon qilib, ikkinchi atomni hosil qildi. Masalan α — zarra bilan azot gazini bombardimon qilganda kislorod va vodorod atomlari hosil bo'ladi. Bu reaksiya quyidagi yozildi:



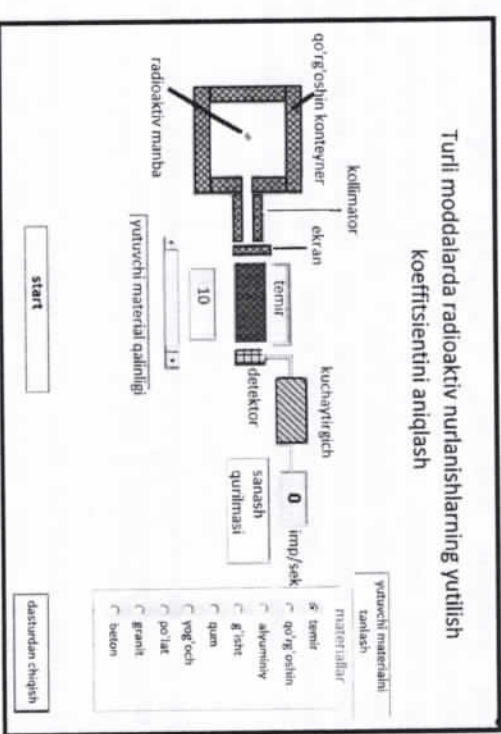
Alfa va gamma nurlanishlarning birgalikda kuzatilishiga quyidagi Ra — Rn radioaktiv yemirilishini misol keltirish mumkin.



16.4-rasm. Ra-Rn radioactive yemirilish sxemasi

Ishning bajarilish tartibi:

1. Talabalar laboratoriya ishining bayoni bilan tanishib ishchi daftarlariiga ishning maqsadi va ishchi formulalarni yozib oладilar.
2. Talabalarga laboratoriya ishining elektron varianti kompyuter, videoproektor, ekran orqali ta'svirlanitirildi. Tasvirdagi ko'rinish talabalarga izohlanadi.



16.5-rasm. Laboratoriya ishi qurilmasining kompyuter ekranidagi ko'rinishi

3. Laboratoriya ishini bajarish uchun yutuvchi material turi sifhkoncha yordamida tanlandi va uning qalnligi belgilab olinadi.

4. "Start" tugmachasini sifhkoncha yordamida bosib, virtual laboratoriya qurilmasi ishga tushiriladi. Bunda konteyner tirkishi oldidagi ekran suriladi va detektor moddadan o'tayotgan nurlanish intensivligini sanaydi. Virtual laboratoriya ishida sanash qurilmasi berilgan sharoitda 1 sekunddag'i intensivlik(aktivlik)ni ko'rsatadi.

5. Radioaktiv manbadan chiqayotgan boshlang'ich nurlanish intensivligini aniqlash uchun yutuvchi modda qalnligi nolga tenglashtiriladi. Bu holatda sanalgan aktivlik manbaning aktivligi bo'lib, barcha tajribalar uchun bir xil qiymatga ega

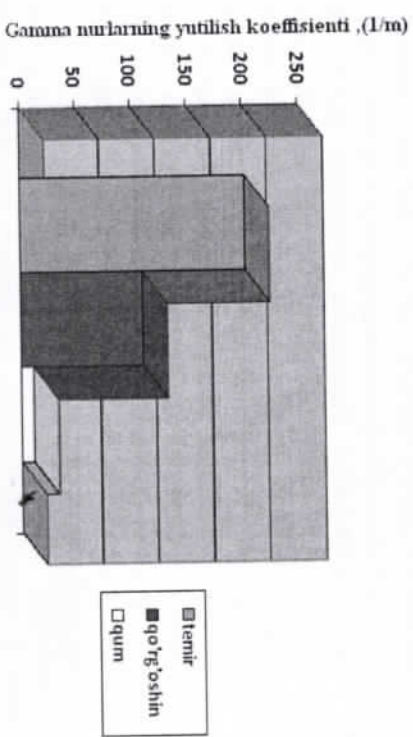
6. Tanlangan har bir moddaning belgilangan qalnligi uchun o'ichashlar 3 marta takrorlanadi va olingan natijalar 1-jadvalga tushiriladi. Bu o'ichashlarda guruh talabalari kichik guruhlarga bo'linib, o'qituvchi tomonidan belgilab berilgan har xil materiallar uchun yutilish koeffitsiyentlari aniqlanadi.

1-jadval

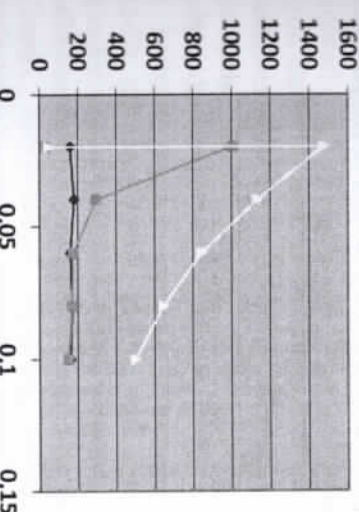
Material turi	O'ichashlar		Hisoblashlar			
	Z,(m)	I ₀ ,(imp/s)	I, (imp/sek)	μ , (1/m)	$\mu_{0,0}$, (1/m)	$\Delta\mu$

Jadvalning birinchi qismida tajriba davomida yutuvchi materialning tanlab olinadigan parametrlari va o'ichash natijalari kiritiladi. Jadvalning ikkinchi qismida esa olingan eksperiment natijalari asosida hisoblangan yutilish koeffitsiyenti, uning o'rtaча qiymati hamda absolutyut va nisbiy xatoliklar kiritiladi.

Virtual o'ichashlar natijasida birinchi jadvalga kiritilgan ma'lumotlar asosida maksus kompyuter dasturi yordamida bir xil qolililikdagi turli moddalarning gamma nurlarini yutish koeffitsiyenti diagramma sifatida tasvirlanib taqoslanadi.



16.6-rasm. Bir xil qalnlikdagi turli moddalar uchun gamma nurlarning yutilish koeffitsiyentini taqoslash



16.7-rasm. Yutuvchi moddadan o'tayotgan nurlanish intensivligining material qalnligiga bog'lanishi.

Nazorat savollari

1. Gamma nurlanish tabiatи va xossalarni tushuntiring.
2. Radioaktiv moddalarни saqlash va ishlash qoidalarini tushuntiring.
3. Nima uchun turli moddalarning radioaktiv nurlanishlarni yutilishi har xil bo'ladi?
4. Moddallarda radioaktiv nurlanishlarning yutilish koeffitsiyentini aniqlash formulasini yozing va tushuntiring.
5. Gamma nurlanishlarning moddada yutilishida asosan qanday fizikaviy jarayonlar kuzatiladi?
6. Gamma nurlanishlarning moddada yutilishida kuzatiladigan fizikaviy jarayonlar nurlanish energiyasiga qanday bog'lanan?

Z_r (m)	0,02	0,04	0,06	0,08	0,01
I, (imp/sek)					
Temir					
Qo'rg'oshin					
Qum					

O'tayotgan nurlar intensivligining material qalnligiga bog'lanish grafigi ($I = f(z)$) chiziladi (16.7-rasm).

Nº 17 Laboratoriya ishi: Alfa zarralarning havoda erkin yugurish masofasini virtual tajribada aniqlash

Ishning maqsadi: radioaktiv izotoplarning α -yemirilishida chiqadigan α -zarralarning havodagi erkin yugurish yo'lini aniqlash.

Kerakli jihozlar: kompyuter, videoproyektor, ekran, virtual laboratoriya ishi yozilgan disk.

Nazariy qism

1. Harakkatlanayotgan alfa zarrachalarning moddalar bilan ta'sirlashuv

Katta boshlang'ich tezlikka ega bo'lgan ($v \approx 10^6 \text{ m/s}$), o'g'ir va musbat zaryadlangan zarra o'z energiyasini yutuvchi moddaning elektronlari va yadrolari bilan ta'sirlashuviga sarflaydi. Tez harakkatlanayotgan alfa zarra energiyasini uch xil yo'l ta'sirlashuv bilan yo'qotadi: a) yutuvchi modda atomlarini ionlashtirish va elektromagnit to'qinlarni chiqarish orqali; b) tepki yadrolarni hosil qilish orqali; c) tornozlanish uyg'otish orqali;

2. Ionlashuv jarayonidagi isroflar. Zaryadlangan zarrachalarning yutuvchi modda atomlari bilan to'qnashuvida shu atom elektronlarini yuqori energetik sathlarga chiqarishga (atomni uyg'otishga) yoki bu elektronlarni atomdan urib chiqarishga (ionizatsiyalashga) yetarli energiya olishi mumkin. Bu hollarda sarf bo'lgan energiyaga *ionlashuv jarayonidagi isroflar* deyiladi. Bunday ta'sirlashuvlarda alfa zarrachalar energiyasi nisbatan kichik potensiallar bilan yo'qotildi. Masalan, havoning atom va molekulalarining ionizatsiya potensiali 35 eVga teng. Alfa zarrachaning havodagi harakaatida ionizatsiya jarayoni zarracha energiyasi modda molekulalarining ionizatsiya potensialidan kichik bo'lganicha davom etadi. Faqt shundan so'ng alfa zarracha ikkita elektronni qamrab olib, gelijuning neytral atomiga aylanadi. Alfa zarra ichida zichligi harakat yo'lli oxirida ortib boruvchi ionlar zanjiri hosil bo'ladi. Hosil bo'layotgan ionlar sonini alfa zarra energiyasi ($4 \div 8 \text{ MeV}$) ni o'rtacha uyg'onish potensial energiyasiga bo'lish orqali baholash mumkin. Havo uchun bu qiy'mat $\approx 10^5$ ni tashkil etadi. Xuddi shuning uchun ham fizik organizmlarning alfa radioaktiv moddalar bilan zararlansishi o'ta xavfli hisoblanadi.

Tepki yadrosi hosil qilishdagi energiya isroflari. Musbat zaryadi alfa zarralarning modda yadrolari bilan ta'sirlashuvu elasik

to'qnashuv bo'lishi ham mumkin. Bu holda zarracha tezligi yo'naliши va qiymati o'zgaradi, yutuvchi modda yadroso esa muvozanat holatidan siljydi. Bu yadro *tepki yadro* deb ataladi. Agar yutuvchi modda ideal kristalldan iborat bo'lsa, undan alfa zarralar o'tgandan keyin kristall panjaraning nuqtaviy defektlari hosil bo'ladi.

Havoda harakkatlanayotgan alfa zarrachalar uchun tepki yadroga surf bo'lgan energiya ionizatsiya energiyasiga nisbatan hisobga olmaslik darajada kichik, chunki alfa zarralarning yadrolar bilan to'qnashuv ehtimoliyati juda kichik.

Elektromagnit nurlanishlarga sarf bo'ladigan isroflar. Ma'lumki, zaryadlangan zarraning tezlanuvchan harakati uning elektromagnit nurlanish chiqarishiga sabab bo'ladi va *tornozlanish nurlanishi* deb ataladi. Zarra energiyasining elektromagnit nurlanishga sarf bo'lishi *elektromagnit nurlanishlar(radiatsiya)ga sarf bo'ladigan isroflar* deb ataladi.

Alfa zarralar uchun radiatsion isroflar atom va molekulalar uyg'oniши va ionizatsiyasi uchun energiya isroflariga nisbatan juda kichik.

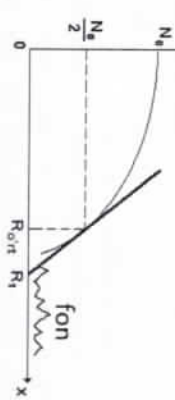
Shunday qilib, havoda harakkatlanayotgan alfa zarralarning energiyasiga asosan atom va molekulalarni uyg'otish va ionizatsiyalashga sarf bo'ladi. Alfa zarra massasi elektron massasidan ≈ 10000 marta katta bo'lganligidan uning trayektoriyasi deyarli to'g'ri chiziqli bo'ladi va faqat modda yadrolari bilan to'qnashgandagina chetlanadi.

3. Alfa zarrachalarning moddalarida yutilishi

Alfa zarrachalarning issiqlik harakati tezligigacha (100 m/s), seklinashuv davrida o'gan yo'lli *to ta yugirish masofasi* deb ataladi. Lekin bir xil boshlang'ich tezlikka ega bo'lgan zarralarning erkin yugirish yo'llari modda atomlari konseentratsiyasi fluktuatsiyasi va har bir ta'sirlashuv aktaridagi energiya isroflari fluktuatsiyasi tufayli bir-birdan farq qiladi. Shuning uchun ham moddalarда zarralarning yutilishini o'rganishda bu zarralarning yarmi yutiladigan o'rtacha erkin yugirish masofasidan foydalaniлади. Bu masofa moddada zarrachalarning yutilish grafigi $N = f(x)$ orqali aniqlanadi. Bu grafik ma'lum bir vaqt oralig'ida sanash qurilmasi tomonidan qayd etilgan. Monoenergetik zarrachalar sonining qatlama qalnligi funksiyasidan liborat (17.-rasm).

O'rtacha yugirish masofasini oqim intensivligi ikki marta kamayadigan masofa sifatida qaralishi faqatgina monoenergetik

zarralarning ingichka-kollimatsiyalangan dastasi uchun o'rnlidir. Bu shartning bajarilmasligi erkin yugirish masofasi uchun haqiqiy qiymatdan kichikroq qiymatga ega bo'lishiga olib keladi. Shuning uchun kollimatsiyalannagan zarrachalar dastasi holida ekstropolyatsiyalangan yugirish masofasi R_1 ishlataladi (17.1 — rasm).

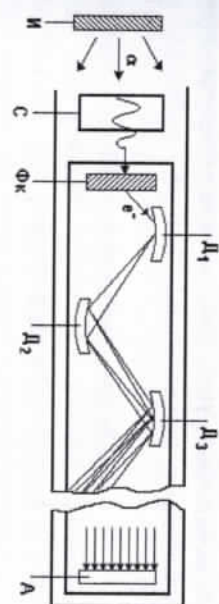


17.1-rasm. Alfa zarrachalarning moddalarida yugurish grafigi. x-sanash qurilmasi va radioaktiv manba orasidagi masofa, R_{eff} -o'rtacha yugirish masofasi, R_1 -ekstropolyatsiyalangan yugurish masofasi

Buni aniqlash uchun $N = f(x)$ grafigning eng tik nuqtasi urinma o'tkazildi va bu o'rinnaning x o'qi bilan kesishuv nuqtasi aniqlanadi. Amaliy jihatdan olib qaraganda ekstropolyatsiyalangan yugirish masofasi sifatida fon nurlanishi bo'lmaganda qayd etilayotgan zarrachalar soni nolga teng bo'lган masofa olinadi.

4. Eksperimental qism

4.1. Tajriba qurilmasining tavsifi
Eksperimental o'chash yachevkasing ishlash prinsipi va konstruksiysi si mos holda 17.2- va 17.3-rasmarda keltirilgan. O'chash yachevkasi qo'regoshin konteyner (1) va uning usidi qo'zg'aluvchan shtokka mahkamlangan tabletkaga joylashtirilgan kichik miqdordagi radioaktiv elementdan iborat. Yachevkada shtokning surilishi vint (3) yordamida amalga oshiriladi va alfa radioaktiv preparatning ssintillyatsion sanagich (4) ga nisbatan vaziyati millimetrlar chizg'ich (5) yordamida aniqlanadi.

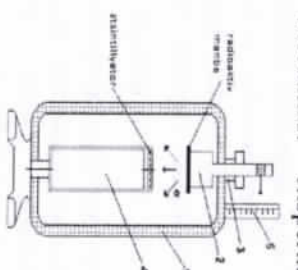


17.2-rasm. O'chash yachevkasing ishlash prinsipi

1. Qo'regoshin konteyner.
2. Radioaktiv manbani tutib turuvchi harakatlanuvchi shtok.
3. Shtokni surish vinti.
4. Ssintillyatsion sanash qurilmasi.
5. Chizg'ich

4.2. Ssintillyatsion sanash qurilmasining ishlash prinsipi

Zarralarni qayd etuvchi sanash qurilmaning asosiy elementi hisoblanadi. Alfa zarralar radioaktiv manba (1) dan ssintillyator (3) ga tushganda unda chaqnash hoslil qiladi. Fotoeffekt natijasida fotokatod (F_K) dan bir yoki bir necha fotoelektronlar uchib chiqadi. Fotokatoddan chiqqan elektronlar tezlanuvchi potentstial ta'sirida qo'shimcha energiya olib, birinchi elektrod (birinchi dinod D_1)ga tushadi. Elektronlarning dinodga urilishidan ikkilanuvchi elektronlar urib chiqariladi. Fotoko'-paytingich kuchilanishi ($U=1500V$) bo'lish sxemasi yordamida dinoddan dinodga o'tishida potensiallar farqi 100-150 V ga ortadigan qilib beriladi. Dinodlarning shakli va joylashuvli shunday tanlanadi, elektr maydoni elektronlarni ham dimoddan-dinodga ortib borishi natijasida fotoko'-paytingich chiqishi anodda sanash qurilmasi tomonidan qayd etiladigan katta quvvatlari elektr impulsini hoslil bo'лади. Fotoko'-paytingich kichik inersiyali asbob



17.3-rasm. O'chash yachevkasing konstruksiysi

ekanligidan chaqnashlar soni qurilma tomonidan qayd etilayotgan impulslar soniga qat'iy proporsional bo'ladi.

4.3. Ishni bajarish tartibi

Ushbu virtual laboratoriya ishida plutoniy-238 izotopini ($T_{1/2} = 87,75 \text{ yil}$) o'rganish modellaشتirilган. Bu laboratoriya ishida eksperimentatorga o'ichashlar ketma-ketligini qulay, ekspozitsiya vaqtini, tajribalar sonini tanlash imkoniyati berilgan.

Ishni bajarish tartibi

1. Kursonni "o'ichash" tugmasiga keltirib, sichqonchaning chap tugmasi bosiladi. Bunda kompyuterda o'ichash yachevkasi sxemasi, sekundomer, impulslar sanagichi tablosi, manba va sanagich orasidagi masofa x ni boshqarish moslamasi, har qadami 2 mm'dan bo'lgan 20 ta bo'iimga ega bo'lgan shkala va masofa (X) ko'rsatjichi chiqadi.
2. Alfa radioaktiv preparatni ssintilyatorga juda yaqin qo'yib, ($\alpha = 0$) $t = 3,4,5 \dots$ sek da sinov o'ichashlari o'tkaziladi. Bunda kerakli vaqtda "stop" tugmasini bosishga ulgurish kerak. Indeksatsiya vaqtini har bir eksperimentator o'ziga qulay holda tanlaydi va hamma o'ichashlar bir xil vaqtda o'tkaziladi.
3. Tanlangan masofa va vaqt uchun o'ichashlar 5 marta takrorlanadi. O'ichab olingan impulsarning o'rtachasi $\langle N(x) \rangle = \frac{1}{\Omega} \sum N_i$ aniqlanadi va o'ichash natijalari 1-jadvalda tushiriladi.
4. Kursor yordamida radioaktiv preparatni har safar 2 mm ga uzoqlashtirilgan holda o'ichashlar takrorlanadi. O'ichashlar impulsarning o'rtacha qiymati biror o'zgarmas qiymatga erisganicha davom ettiriladi. Bu o'zgarmas qiymat (N_f) tabiiy son deyiladi va har bir X masofa uchun $\langle N(x) \rangle - \langle N_\varphi \rangle$ ayirma hisoblanib jadvalga kiritiladi. Bundan tashqari har bir o'ichashda olingan natija birlik fazoviy burchakka normallashtirilishi, ya'ni masofa ortishi bilan fazoviy burchak kamayishiga tuzatma kiritilishi lozim:
$$\langle N(x) \rangle - \langle N_\varphi \rangle / \Omega \approx N'(x) \quad (2)$$
5. Tajriba natijalari asosida chizilgan grafik (17.1) dan alfa zurrallarning havodagi ekstropolyatsiyalangan yugirish yo'li R_1 aniqlanadi.
6. Bajarilgan laboratoriya ishiga xulosa yoziladi.

Nazorat savollari

1. Alfa zarrachaning asosiy xossalarni tushuntiring.
2. Alfa zarralar muhit orqali o'tganda energiya isrofi turlarini tushuntiring.
3. Alfa zarralarning o'rtacha, ekstropolyatsiyalangan va keltirilgan yugurish yo'llarini tushuntiring.
4. Nima uchun alfa zarrachalar yugurish masofasini baholashda fazoviy burchakka tuzatma kiritiladi?
5. Fotoelektron ko'paytirgichning ishslash prinsipini tushuntiring.

№ 18 Laboratoriya ishi: Alfa zarralar energiyasini virtual tajribada aniqlash

Ishning maqsadi: Virtual tajribalarda alfa zarralarining energiyasini ularning havodagi erkin yugurish masofasi orqali aniqlash.

Kerakli jihozlar: Kompyuter, videoproktor, ekan, virtual laboratoriya ishi yozilgan disk.

Nazariy qism

Yadrolearning radioaktiv α -yemirilishi. Yadrolearning radioaktiv α -yemirilishida ikkita proton va ikkita neytrondan iborat α -zarracha geliy yadrosi uchib chiqadi. α -zarracha massasi $6,644 \cdot 10^{-27} kg$, spin va magnit moment nolga teng. Bu zarrachaning zaryadi uning tarkibidagi protonlar zaryadi bilan aniqlanadi va $+2e$ ga teng ($e = 1,644 \cdot 10^{-19} C$). α -yemirilishida dastlabki Z zaryadli va A massa soniga ega bo'lgan "ona" yadro tarib nomeri $Z=2$ va massa soni $A=4$ bo'lgan "qiz" yadroga aylanadi.

Hozirgi kunda 150 dan ortiq α — radioaktiv yadrolar aniqlangan bo'lib, ularning ko'phili elementlar davriy sistemasingin oxirida joylashtigan.

α -radioaktiv yadrolar va ular chiqaradigan α — zarrachalarning asosiy xarakteristikasi sifatida yarim yemirilish davri- $T_{1/2}$, kinetik energiya — E_α va erkin yugurish masofasi R qaraladi.

Yadrolearning yarim yemirilish davrini aktivlikning vaqt bo'yicha kamayishi yoki sekulyar tenglama asosida aniqlash mumkin. Real eksperimentlarda α -zarrachalarning erkin yugurish masofasi Wilson kamerasi yoki pufakli kamera yordamida aniqlanadi. Alfa zarralar erkin yugurish masofasini virtual laboratoriyyada aniqlash 17-laboratoriya ishidida batafsil bayon etilgan.

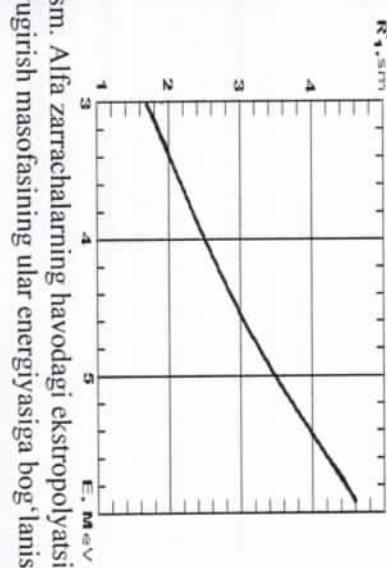
Alfa zarrachalar energiyasini bevosita aniq o'chash magnet spektrometrler yordamida amalga oshiriladi. Bu qurilmalar energiyani ~ 5 keV aniqlikda o'chashga imkon beradi.

Ko'plab tajribalar va nazariy taddiqotlar natijasida alfa zarralarning erkin yugurish masofasi va energiyasi orasida quyidagi bog'lanish mavjudligi aniqlangan:

$$R \approx 0,3 E_\alpha^{3/2} \quad (1)$$

Bu bog'lanishdan foydalangan holda alfa zarralar energiyasini bilvosita usulda-erkin yugurish masofasi orqali aniqlash mumkin. Alfa zarralarning erkin yugurish masofasini aniqlash metodikasi 17-laboratoriya ishidida bayon etilgan.

Alfa zarrachalarning havodagi ekstropolyatsiyalangan yugurish masofasining energiyaga bog'lanish empirik grafigi 18.1-rasmda keltirilgan.



18.1-rasm. Alfa zarrachalarning havodagi ekstropolyatsiyalangan yugurish masofasining ular energiyasiga bog'lanishi.

Alfa zarralar energiyasini aniqlash uchun 17-laboratoriya ishidagi 17.1-rasmda keltirilgan yuttilish grafigidan ekstropolyatsiyalangan yugurish masofasi R_1 topildi. Keyin (1) formula asosida chizilgan 18.1-rasmdagi grafikdan bu qiyymaga mos energiya aniqlanadi.

Eksperimental qism

1. Eksperimental qurilma tavsiyi
Eksperimental o'chash yachevkasining konstruksiysi 17-laboratoriya ishidida bayon etilgan.

2. Ishni bajarish tartibi

1. 17-laboratoriya ishidida keltirilgan virtual tajriba qurilmasidan foydalanib, alfa zarralarning erkin yugurish masofasi aniqlanadi.
2. Tajribada aniqlangan erkin yugurish masofasiga radioaktiv manba ustiga qoplangan titan oksidi (TiO_2) plynokasida yuttilish uzatmasi kiritiladi.
3. Tajribada aniqlangan ekstropolyatsiyalangan yugurish masofasi asosida alfa zarralar energiyasi aniqlanadi.

4. Tajribada aniqlangan alfa zarralar energiyasi real eksperimentlar natijasi bilan taqoslanadi va xatoliklar hisoblanadi.

5. Tajribada zarra energiyasini aniqlashning nisbiy xatoligi $\gamma = \frac{E_{\text{muz}} - E_{\text{exp}}}{E_{\text{muz}}} \cdot 100\%$ formuladan topiladi. Nazariy va eksperimental natijalar keskin farq qilsa, ekspozitsiya vaqtini ortirgan holda tajribalarni takrorlash kerak.

6. Bajarilgan laboratoriya ishiga xulosa yozildi.

Nazorat savollari

1. Alfa zarrachaning asosiy xossalarini tushuntiring.
2. Yadroning yarim yemirilish davri alfa zarra energiyasiga qanday bog'langan?
3. Alfa zarralar muhit orqali o'tganda energiya isrofi turlarini tushuntiring.
4. Alfa zarralarning o'rtacha, ekstrpolyatsiyalangan va keltirilgan yugurish yo'llarini tushuntiring.
5. Nima uchun alfa zarrachalar yugurish masofasini baholashda fazoviy burchakka tuzatma kiritiladi?
6. Fotoelektron ko'paytirgichning ishlashtirishini tushuntiring.

Nazariy qism

Yadrolarning radioaktiv α -yemirilishi. Yadrolarning radioaktiv α -yemirilishida ikkita proton va ikkita neytrondan iborat α -zarracha geliy yadrosoi uchib chiqadi. α -zarracha massasi $6,644 \cdot 10^{-27} \text{ kg}$, spin va magnit moment nolga teng. Bu zarrachaning zaryadi uning tarkibidagi protonlar zaryadi bilan aniqlanadi va $+2e$ ga teng ($e = 1,602 \cdot 10^{-19} \text{ C}$). α — yemirilishda dashtabki Z zaryadi va A massa soniga ega bo'lgan "ona" yadro tartib nomeri $Z=2$ va massa soni $A=4$ bo'lgan "qiz" yadroga avlaniadi.

Hozirgi kunda 150 dan ortiq α — radioaktiv yadrolar aniqlangan bo'lib, ularning ko'pchiligi elementlar davriy sistemasining oxrida joylashgan.

α -radioaktiv yadrolarning yashash vaqtini juda katta diapozonda yotadi: $3 \cdot 10^{-7}$ sekund ($^{212}_{84}Po$)- 1,4 $\cdot 10^{10}$ yil ($^{232}_{90}Th$). α -zarrachalarning kinetik energiyalari esa $2,0 - 8,8 \text{ MeV}$ kichik diapozonda yotadi. Tajribalar radioaktiv yadroning yashash davri qanchalik kichik bo'lsa, hoslil bo'layotgan α -zarrachalar energiyasi shuncha katta bo'lishi ko'rsatadi. Bu kattaliklar orasidagi miqdoriy bog'lanish Geyger-Nettol qonuni bilan ifodalanadi.

$$\log_{10} \tau = \frac{148}{\sqrt{E}} - 53,6 \quad (1)$$

bu yerda, τ -berilgan izotop alfa-radioaktiv yadrosining o'rtacha yashash vaqt (sek), E -alfa zarracha kinetik energiyasi (MeV).

Geyger-Nettol qonunidan foydalanib α -zarracha energiyasini bilgan holda berilgan izotopning o'rtacha yashash vaqtini va yarim yemirilish davrini aniqlash mumkin.

$$T = \tau \ln 2 \approx 0,69\tau \quad (2)$$

№ 19 Laboratoriya ishi: Radioaktiv plutoniy-238 izotopining yarim yemirilish davrini virtual tajribada aniqlash

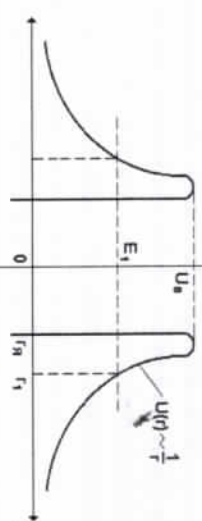
Ishning maqsadi: plutoniy izotopining α -yemirilishini o'rganish orqali Geyger- Nettol formulasi yordamida yarim yemirilish davrini aniqlash.

Kerakli jihatlar: kompyuter, videoproyektor, ekran, virtual laboratoriya ishi yozilgan disk.

Yadro ichida hosil bo'lgan α -zarracha faqatgina $\sim 10^{-15}$ m masofada ta'sir etuvchi noelektr tabiatli yadroviy kuchlar bilan tutib turildi. Yadrodan tashqarida esa α -zarra va yangi yadro orasida Kulon itarishuv kuchlari mavjud. Bu ta'sirlashuvning potensial energiyasi quyidagicha ifodalanadi.

$$U(r) = (Z - 2)ze^2 / 4\pi\varepsilon_0 r \quad (3)$$

Kvant mehanik tasavvurlarga ko'ra alfa zarralar 19.1- rasmida ko'rsatilgan potensial bayerda tunnel effekti yordamida o'tadi.



19.1-rasm. Alfa zarrachalarning potensial bar'yer orqali o'tishi(Tunnel effekti)ga doir chizma

Bu potensial baryer va alfa zarra energiyasiga bog'liq holda quyidagi uchta holat bo'lishi mumkin.

- $E \leq 0$ bo'lsa, alfa zarracha yadro ichida joylashadi.
- $E \geq U_0$ bo'lsa, alfa zarracha yadroga bog'lamagan holda istalgan masofaga uzoqlashishi mumkin.
- $0 < E < U_0$ bo'lganda, alfa zarrachaning yadro tashqarisida topilish etimoliyati mayjud.
- Zarrachalarning potensial baryer orqali "sizib" o'tish hodisisi tunnel effekti deb ataladi.
- Massasi m_α va energiyasi E_1 bo'lgan zarrachaning kengligi $\Delta r = r_i - r_s$ yadro kenglikdagi baryer orqali o'tish etimoliyati quyidagi kvant mexanik munosabat bilan ifodalanadi.

$$D \approx \exp \left[-\frac{2}{\hbar} \int_{r_s}^{r_i} \sqrt{2m_\alpha [U(r) - E_1]} dr \right] \quad (4)$$

(4) ifodadan ko'rindiki, zarracha energiyasi ortishi bilan tunnel effekti etimoliyati ortadi, yadroning o'ttacha yashash vaqt esa kamayadi.

4. Eksperimental qism

4.1. Eksperimental qurilma tavsifi

Eksperimental qurilma o'chash yacheysining konstruksiysi 17-laboratoriya ishida bayon etilgan.

4.2. Ishni bajarish tartibi

- 17 va 18-laboratoriya ishlarida keltirilgan virtual tajriba qurilmasidan foydalananib, alfa zarrachalarning erkin yugurish masofasi va energiyasi aniqlanadi. Usbu laboratoriya ishida har bir talaba 17 va 18-laboratoriya ishlarida o'zi o'rgan natijalardan foydalananishi mumkin.
- Alfa zarralar energiyasi uchun tajribada olingan natijalar asosida Geyger-Nettol qonunidan foydalananib berilgan izotopning o'ttacha yashash vaqtini va yarim yemirilish davri aniqlanadi.

- O'reganlayologan radioaktiv izotopning yarim yemirilish davri uchun virtual tajribada olingan natijalar real eksperiment tajribalari bilan taqoslanadi va xatoliklar hisoblanadi.
- Laboratoriya ishi qo'llanmasida keltirilgan namuna asosida hisobot yoziladi.
- Bajarilgan laboratoriya ishiga xulosa yoziladi.

Nazorat savollari

- Alfa zarrachaning asosiy xossalarni tushuntiriting.
- Yadroning yarim yemirilish davri alfa zarra energiyasiga qanday bog'langan?
- Alfa zarralar muhit orqali o'tganda energiya isrofi turlarini tushuntiriting.
- Alfa zarrachalarning o'ttacha, ekstrpolyatsiyalangan va keltirilgan yugurish yo'llarini tushuntiriting.
- Nima uchun alfa zarrachalar yugurish masofasini baholashda fazoviy burchakka tuzatma kiritiladi?
- Fotoelektron ko'payirgichning ishlash principini tushuntiriting.

Nº 20 Laboratoriya ishi: Elektronning solishtirma zaryadini magnetron usulida virtual tajribada aniqlash

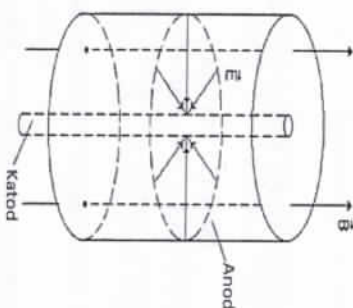
Ishning maqsadi: elektronning solishtirma zaryadini magnetron usulida aniqlash va o'chish xatoqliklarini baholash.

Kerakli jihozlar: kompyuter, videoproyektor, ekran, virtual laboratoriya ishi yozilgan disk.

Nazariy qism

1. Elektronlarning magnetron ichidagi harakati: Zarachaning solishtirma zaryadi deganda uning zaryadi (q) ning massasi (m) ga nisbati tushuniadi.

Eng oddiy magnetron ikki elektroldi elektron radiolampa (dirod) bo'lib, silindrik anod va uning o'qiga joylashgan katoddan iborat (20.1-rasm).



20.1-rasm. Magnetron tuzilishi

Bu lampa uning o'qi bo'yab yo'nalgan maydoniga joylashtiriladi. Ushbu ishda magnit maydoni lampali diod atrofiga o'ralgan silindrik g'altak-solenoid yordamida hosil qilinadi. Bu maydonning magnit induksiyasi vektori \vec{B} solenoiddagi tok I_0 ning o'zgarishi hisobiga o'zgartiriladi.

Elektronning solishtirma zaryadi $\frac{|e|}{m}$ (eksperimentda aniqlangan)

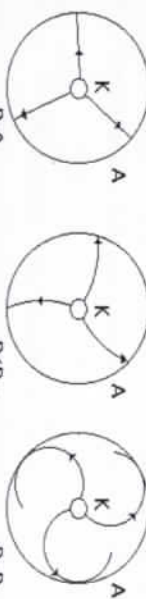
radio lampadagi anod toki I_a ning solenoiddagi I_s tokka bog'lanishi $I_a = f(I_s)$ orqali aniqlanadi.

Ma'lumki, lampa ichida katoddan anodga qarab harakatlanayotgan elektronga ikkita kuch ta'sir etadi:

1) Elektr maydoni tomonidan ta'sir etuvchi kuch $\vec{F}_E = e\vec{E}$ (1)

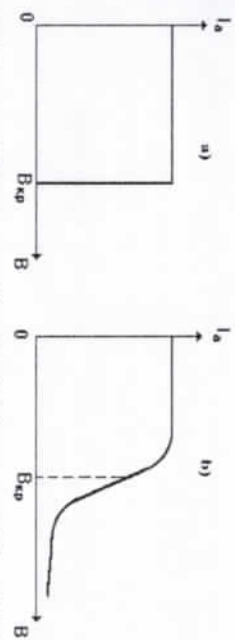
2) Magnit maydoni tomonidan ta'sir etuvchi kuch $\vec{F}_{M_E} = e[\vec{v} \times \vec{B}]$. (2)

Bunda birinchi kuch radius bo'yab katoddan anodga yo'nalgan bo'lsa, ikkinchisi tezlik va magnit maydon induksiyasi vektorlariga perpendikulyar yo'nalgan bo'ladi. 20.2-rasmida magnit maydon induksiyasi vektorlarining turli qiymatlaridagi elektronlar trayektoriyasi ko'rsatilgan. Ko'rniib turibdiki, magnit induksiyasi ortishi bilan elektronlar trayektoriyasi ko'proq egrilanadi va magnit induksiyasining ma'lum bir kritik qiymati B_{kp} da elektronlar anodga yetib bormaydi va bu holda anod toki keskin kamayadi.



20.2-rasm. Magnit maydonining elektronlar harakat trayektoriyasiga ta'siri (\vec{B} vektori qog'oz tekisligiga perpendikulyar yo'nalgan.)

20.3(a) va 20.3(b) rasmarda tasvirlangan anod toki (I_a) ning magnit induksiyasi (\vec{B}) vektorga bog'lanishi magnetronning tushish xarakteristikasi deb ataladi.



20.3-rasm. Magnetronning ideal (a) va real (b) tushish xarakteristikalarini

Magnetronning ideal tushish xarakteristikasi qat'iy bir jinsi maydonda elektronlar tezligi bir xil bo'lgan holda kuzatiladi. Lekin real holatda anod tokining to'xtashi keskin emas, balki asta — sekin

kamayadi. Bu holda magnit induksiyasi vektorining kritik qiymati $I_a = f(B)$ chiziqning burilish nuqtasiga to'g'ri keladi.

Agar lampa katodi radiusi (r_k) anod radiusi (R_a)ga qaraganda ancha kichik ($\frac{r_k}{R_a} \ll 1$) bo'lsa, elektron asosan katod yaqinidagi fazoda tezlashadi, chunki elektr maydon kuchlanganligi amalda katod atrofida noldan farqli bo'ladi. Shuning uchun elektron tezligini o'zgarmas ($v \approx const$) va trayektoriyasi aylanadan iborat hamda kritik trayektoriya diametri anod radiusiga teng deb olish mungkin:

$$2r_{kp} = R_a \quad (3)$$

2. Hisoblash formulasini keltirib chiqarish

Nyutonning 2-qomuniga asosan elektronga magnit maydoni tomonidan ta'sir etayotgan kuch unga normal tezlanish beradi:

$$F_M = ma_n \text{ yoki } |e|vB_{kp} = \frac{mv^2}{r_{kp}} \quad (4)$$

$$\text{bundan } r_{kp} = \frac{mv}{|e|B_{kp}} \quad (5)$$

$$\text{Ikkinchchi tomonдан } \frac{mv^2}{2} = eU_a, \quad (6)$$

(U_a — katod va anod orasidagi potensiallar farqi)

$$\text{ekanligini hisobga olsak } v = \sqrt{\frac{2eU_a}{m}} \quad (7)$$

(7) ni hisobga olgan holda (4) formuladan elektronnning solishtirma zaryadi uchun quyidagi ifodani olamiz

$$\left(\frac{|e|}{m} \right) = \frac{8|U_a|}{R_a^2 \mu_0^2 I_c^2 \rho N^2} \quad (8)$$

Chekli uzunlikdagi o'zaksiz solenoid tomonidan hosil qilingan magnit maydoni induksiyasi quyidagi formula bilan aniqlanadi:

$$B = \frac{\mu_0 N I_c}{D + L} \quad (9)$$

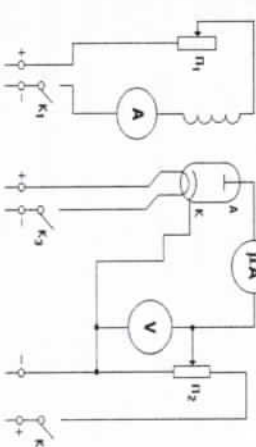
Bu yerda: $\mu_0 = 4\pi \cdot 10^{-7}$ Gn/m — magnit doimiyilik

N-solenoiddagi o'ranylар soni; L —solenoid uzunligi; D —solenoid diametri; I_c —solenoiddagi tok kuchi.

(9) ni hisobga olganda elektron solishtirma zaryadini hisoblash formulasini quyidagi ko'rinishga ega bo'лади:

$$\left(\frac{|e|}{m} \right) = \frac{8|U_a|}{R_a^2 \mu_0^2 I_c^2 \rho N^2} \quad (10)$$

3. Laboratoriya ishi tajriba qurilmasining elektr sxemasi



20.4-rasm. Tajriba qurilmasi sxemasi
Qurilmanning elektr zanjiri ikki qismidan iborat: a) solenoid zanjiri, b) diod zanjiri.

Bu sxemada A-solenoiddagi tok kuchini o'chash ampermetri; μA -unod tokini o'chash mikroampermetri; V — anod kuchlanishini o'chash voltmetri; Π_1 va Π_2 tok va kuchlanishni boshqarish moslamalari.

Laboratoriya ishining eksperimental qurilmasida bir jinsli magnit maydoni hosil qilishga imkon beruvchi nisbatan uzun solenoid ichiga oddiy radiolampa — diod joylashtirilgan.

Ushbu laboratoriya ishining kompyuter variantida eksperiment o'tkazish sharoitlari maksimal aniqlikda modellasshtirilgan. Kompyuter displayida radiolampadagi anod tokini o'chovchi mikroampermetr va solenoiddagi tokni o'chovchi ampermetr aks etadi. Bu o'chov usbolarining ko'rsatishlari asosida magnetronning tushish karakteristikasini qurish mumkin.

Tajribani o'tkazishda eksperimentatorдан diqqat bilan ishlash hamda o'chash matijalarini hisoblashlarni va xatoliklarni to'g'ri bajarish talab qilinadi. O'chashlarni solenoid tokini monoton ortirish yoki kamaytirish bilan amalga oshirish mumkin. Bunda faqat klaviatura va sichqoncha bilan ishlanaadi. Lekin virtual laboratoriya ishini bajarishdan oldin qo'llanmaning nazarli qismini diqqat bilan

o'qib chiqib, sinov savollariga javob berish mumkin. Sinov savollariga qoniqarli javob bergan talaba laboratoriya ishini bajarishga kirishadi.

4. Ishni bajarish tartibi

1. Kursorni "O'Ichash" tugmasiga keltirib, sichqonchaning chap klavishi bosiladi, kompyuter displayida yuqorida aytilgan ampermetr va mikroampmetr chiqadi.

2. O'Ichov asboblari bilan tanishib hisobotning "O'Ichov asboblari va ularning xarakteristikalari jadvali to'ldiriladi.

3. Hisobotga magnetron parametrlari kiritiladi. O'Ichashlar anod kuchlanishining $U_a = 6 \pm 0,1V$ qiymatida o'tkaziladi.

4. Kursorni solenoid tokini boshqarish dastagiga keltirib, anod toki I_a ning solenoid toki I_s ga bog'lanishi aniqlantadi. O'Ichashlar 18 ta qiymatdan kam bo'lmasligi lozim va olingan natijalar hisobotning 2-jadvaliga kiritiladi.

5. Olingan natijalar asosida $I_s = f(I_s) \text{bog'lanish grafigi chiziladi}$. Bu grafikdan grafik differentiallash usuli orqali solenoiddagi tokning kritik qiymatti I_{kr} aniqlanadi.

Grafik differentiallash quyidagicha amalgalga oshiriladi. Solenoid

tokining yaqin nuqtalari uchun $|I_a|$ va $|I_s|$ lar olinib, $\left|\frac{\Delta I_a}{\Delta I_s}\right|$ nisbat aniqlanadi va uchinchi jadvalga kiritiladi. Millimetrali qog'ozda

$$\left|\frac{\Delta I_a}{\Delta I_s}\right| = f(\langle I_s \rangle)$$

grafik chiziladi. Bunda I_s olingan ikki nuqtaga mos solenoid tokining o'rtachasidir, ya'ni solenoid tokiga mos nuqtaga qo'shni nuqtalar olinishi kerak.

Grafikdagi maksimumga to'g'ri keluvchi absissa o'qidagi nuqta solemoiddagi kritik tokni beradi.

6. Asosiy hisoblash formulasi (10) ga olingan eksperimental natijalarni qo'yib, elektronning solishtirma elektr zaryadi aniqlanadi. Olingan natija jadval qiymati bilan taqqoslanadi.

7. Hisobotda keltirilgan formulalar asosida absolyut va nisbiy xatotiklar aniqlanadi. Tajriba natijalari jadval qiymatidan keskin farq qilgan hollarda tajribalar takrorlanadi.

8. Ikkinchchi ilovada keltirilgan shaklda hisobot tayyorlanadi va tekshirish uchun o'qituvchiga topshiriladi.

O'zaksiz solenooidning magnit maydoni induksiyasi quyidagi formuladan topiladi

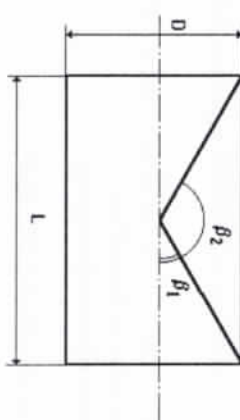
$$B = \frac{\mu_0 I_c N}{2L} (\cos \beta_1 - \cos \beta_2)$$

N — solenoiddagi o'ramlar soni; I_s — solenoiddagi tok kuchi; L — solenoid uzunligi;

β_1 va β_2 — solenoid o'qi va chetki nuqtalarga o'tkazilgan radius-vektorlar orasidagi burchaklar.

20.5-rasmidan ko'rindiki,

$$\cos \beta_1 = \frac{L}{\sqrt{D^2 + L^2}}, \cos \beta_2 = -\frac{L}{\sqrt{D^2 + L^2}}.$$



Shunday qilib, magnit induksiyasi uchun quyidagi ifodaga ega bo'lamiz.

$$B = \frac{\mu_0 I_c N}{\sqrt{D^2 + L^2}}. \text{ Agar } D \ll L \text{ (uchun solenoid) bo'lsa, } B = \mu_0 I_s \frac{N}{L}.$$

$$\frac{e}{m} = \frac{8 \cdot 5,9 \left((50 \cdot 10^{-3})^2 + (33,4 \cdot 10^{-3})^2 \right)}{(5 \cdot 10^{-3})^2 (12,5 \cdot 10^{-3})^2 (93 \cdot 10^{-3})^2 (1700)^2} = \frac{47,2 (2500 \cdot 10^{-6} + 1115,56 \cdot 10^{-6})}{25 \cdot 10^{-6} \cdot 156,25 \cdot 10^{-14} \cdot 8649 \cdot 10^{-6} \cdot 289 \cdot 10^4} = \frac{170654,432 \cdot 10^{-4}}{9763,91 \cdot 10^{-16}} = 17,47 \cdot 10^{-10}$$

Solenoid tokining o'rtacha qiymatlari uchun magnit induksiyasini hisoblab, unga mos anod tokining qiymatlarini ikkinchi jadval kiritamiz.

Nº	I_s, mA	B, T	$I_{A, ort} (\mu A)$
1	18,75	66,94	185

2-jadval

2	43,75	156,19	165
3	68,75	245	145
4	93	332	128
5	117,5	419,48	110
6	142	506,94	90
7	167,5	598	72
8	193,5	690,8	54

Laboratoriya ishlarini bajarish va hisobot yozish bo'yicha
namunalar

LABORATORIYA ISHIGA HISOBOT SHAKLI

TITUL VARAG'I

Navoiy davlat pedagogika instituti
Fizika-matematika fakulteti
"Fizika va astronomiya" kafedrasi

Atom, yadro va elementlar zarralar fizikasi fanidan
—laboratoriya ishiga

HISOBOT

Bajardi: "Fizika va astronomiya" ta lim

yo'nalishi
3-kurs talabasi _____

Qabul qildi: _____
O'qituvchining F.I.Sh (imzo)

Nazorat savollari

- Zaryadlangan zarralarning elektr va magnit maydonda harakatini tushuntiring.
- Magnetroning ishlash prinsipi va tuzilishini tushuntiring.
- Magnetroning ideal va real tushish xarakteristikalari qanday farqlanadi.
- Laboratoriya ishidagi ishchi formulani tushuntiring.
- Tajriba qurilmasini tushuntiring.
- Ishni bajarish tartibini tushuntiring.

Navoiy 202 _____

1-Namuna: 16-Laboratoriya ishi. Radioaktiv nurlarning turli muhitlarda yutilish koeffisiyentini virtual tajribada aniqlash.

1. Laboratoriya ishining maqsadi

2. Laboratoriya ishini bajarish uchun kerakli jijhozlar

3. Laboratoriya ishini tushuntirish yozuvni asosida tanlangan modda uchun tajriba natijalarini olimadi. Hisobotda tanlangan modda turi ko'rsatiladi.

4. Olingan natijalar 1-jadvalga tushiriladi.

5. 1-jadval asosida turli moddalar uchun yutilish koeffisiyentlarini taqposlash diagrammasi kompyuter dasturi asosida chiziladi.

6. Tanlab olingan moddalar uchun yutilish koeffisiyentlari modda materiyalining turli qalniliklarida qanday o'zgarishi o'rganiladi.

Olingan natijalar 2-jadvalga tushiriladi va kompyuter dasturi asosida moddadan o'tayotgan nurlanish aktivligining qalnlik bo'yicha o'zgarish grafigi chiziladi.

16-Laboratoriya ishiga hisobot namunasi

1. Laboratoriya ishini o'tkazishdan maqsad: turli moddalarда gamma nurlanishning yutilish koeffisiyentini, moddadan o'tayotgan gamma nurlanish intensivligining material qalnligi bo'yicha o'zgarishini aniqlash va axborot kommunikatsion texnologiyalar asosida talabalarda gamma nurlanishlar xossalari haqida bilim va ko'nikmalarini hosil qilishdan iborat.

2. Virtual laboratoriya ishini bajarish uchun tajriba qurilmasining umumiy tasviri hisobot daftariга chiziladi

3. Laboratoriya ishini bajarish uchun o'qituvchi tomonidan belgilab berilgan yutuvchi material turi sichqoncha yordamida tanlanadi va uning qalnligi belgilab olimadi. "Start" tugmachasini sichqoncha yordamida bosit, virtual laboratoriya qurilmasi ishga tushiriladi. Bunda konteyner turqishi oldidagi ekran suriladi va detektor moddadan o'tayotgan nurlanish intensivligini sanaydi. Virtual laboratoriya ishida sanash qurilmasi berilgan sharoita aktivlikni (1 sekunddagи yemirilishlar sonini) ko'rsatadi. Manbadan chiqayotgan nurlanish aktivligi I_0 ni aniqlash uchun yutuvchi material qalnligi 0 ga keltiriladi.

4. Ayni bir modddaning belgilangan qalnligi uchun o'chashlar 3 marta takrorlanadi va olingan natijalar 1-jadvalga tushiriladi. Bu o'chashlarda guruh tababalar kichik guruhlarga bo'linib ishlaydilar. Musalan, biror guruhga o'chash materiali sifatida temir(Fe), qo'rg'oshin(Pb), va qum(asosan Si) berilgan bo'lsin. Har xil materiallar uchun yutilish koeffisiyentlari quyidagi formuladan aniqlanadi.

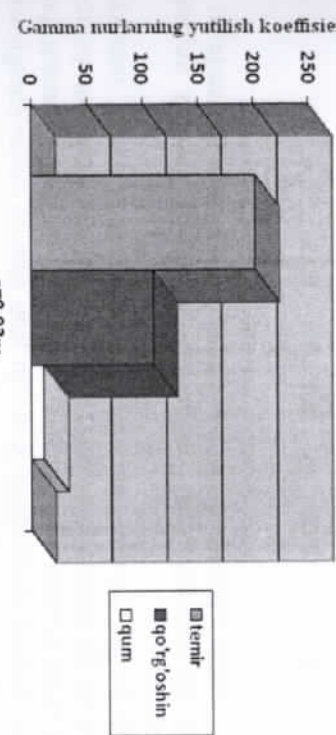
$$I = I_0 e^{-\mu z} \Rightarrow \mu = [\ln(I_0 / I)] / z$$

Natural logarifmlar jadvali ilovada keltirilgan.

3-jadval

Material turi	$Z_{\text{t}} (m)$	$I_0 (\text{imp/s})$	O'chashlar			Hisoblashlar		
			1	2	3	1	2	3
Temir	0,02	2000	32	36	37	206	201	199
Qo'rg'oshin	0,02	2000	201	240	231	115	106	108
Qum	0,02	2000	1599	1598	1620	11	12	11
						11,3	0,43	3,8

5. 3-jadval asosida bir xil qalnlikdagi ($z=\text{const}$) turli moddalarда gamma nurlarning yutilish koeffisiyentlari diagramma ko'rinishida chizilib, taqposlanadi. Qaralayotgan holda berilgan moddalar uchun tajriba natijalarini asosida quyidagi diagramma olingan. (1-rasm).

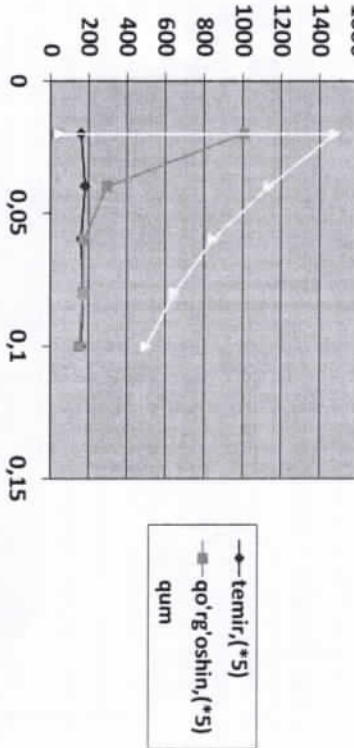


1-rasm

6. Tanlab olingan materialning qalnligi o'zgartirilib, turli qalnliklar uchun olingan natijalar 3-jadvalga tushirilgan va o'tayotgan nurlanish aktivligining material qalnligiga bog'lanish grafigi ($r = f(z)$) chizilgan(1-rasm).

4-jadval					
$Z, (m)$	0,02	0,04	0,06	0,08	0,01
Temir	32	36	32	34	32
Qo'rg'oshin	201	59	35	34	30
Qum	1476	1137	846	647	500

6-rasmidaq grafikda temir va qo'rg'oshin uchun bog'lanish chiziqlari ko'rinalri bo'lishi uchun 5 marta kattallashtirilgan holda chizilgan.

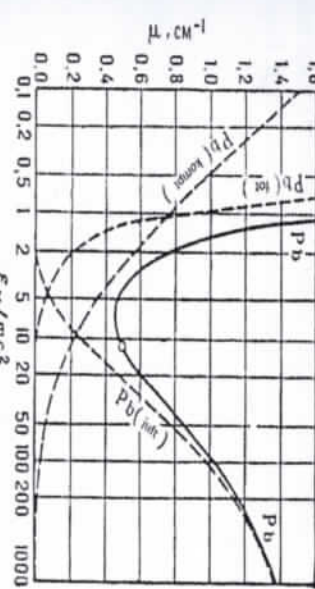


2-rasm

7. Virtual tajribada olingan natijalar real eksperiment natijalari va nazariy ma'lumotlar bilan taqqoslanadi hamda yakuniy xulosalar chiqariladi:

Ma'lumki, gamma nurlarning moddalarda yutilishi murakkab jarayon bo'lib, asosan fotoeffekt, Kompton effekti va elektron-pozitron jutfligi hosil bo'lishi bilan kechadi. Yutilishda bu jarayonlarning qaysi birining kechish ehtimoliyati katta bo'lishi gamma nurlar energiyasiga bog'liq. Masalan, kichik energiyalarda asosan fotoeffekt, Kompton effekti kuzatilsa, yuqori energiyalarda elektron-pozitron jutfligi hosil bo'lishi kuzatiladi. Eksperimental tadqiqotlarda aniqlangan

qo'rg'oshinda gamma nurlar yutilish koefitsiyentining nurlanish energiyasiga bog'lanish grafigi 3-rasmda keltirilgan.



3 -rasm

O'rganilayotgan virtual laboratoriya ishining kamchiliklaridan biri tushayotgan gamma nurlanish energiyasining belgilanmaganlidir. Lekin shunga qaramasdan qo'rg'oshin uchun olingan natijalar ma'lum energiyalar diapazzonida real eksperimental natijalar bilan mos tushishini ko'rishimiz mumkin.

8. Talabalar virtual laboratoriya ishida olingan o'chashlar natijasiga ko'ra turli moddalarda gamma nurlanishlarning yutilishi haqida olingan ma'lumotlarni tahlil qiladilar va sinov savollariga javoblar yozadilar.

2-Namuna: 17-Laboratoriya ishi. Alfa zarralarning havodagi erkin yugurish masofasini aniqlash

1. Detektorda qayd etilayotgan impulslar sonining alfa radioaktiv manba va ssintilliyatsion hisoblagich orasidagi masofaga bog'lanishi natijalarini 1-jadvalga tushiriladi

1-jadval

x mm	Ω mish. bi t.	N	$\langle N(x) \rangle$	$\langle N(x) \rangle - \langle N_0 \rangle$	$\frac{\langle N(x) - \langle N_0 \rangle \rangle}{\Omega}$
		1 2 3 4 5			
0	0,500	1143	1138	1111	1083
					1123
					1119
					1100
					2200
2	0,465	1086	1083	1053	1110
					1105
					1107
					1088
					2339
4	0,425	1082	1008	1053	983
					971
					1019
					1000
					2352
6	0,395	1011	1009	990	997
					987
					994
					975
					2468
8	0,360	922	924	904	981
					935
					933
					914
					2538
10	0,325	753	841	846	793
					852
					817
					798
					2455
12	0,300	757	709	722	760
					779
					745
					726
					2420
14	0,274	629	694	645	649
					606
					644
					625
					2281
16	0,250	538	546	516	572
					552
					544
					525
					2100
18	0,229	490	479	484	469
					466
					477
					458
					2000
20	0,210	391	369	375	370
					357
					372
					353
					1680

Detektorda qayd etilgan impulslar sonining masofaga bog'liqlik grafigi (I-grafik)



I-grafikdan foydalananib, alfa zarrachalarning ekstrapolyatsiyalangan yugurish masofasini grafikkka o'tkazilgan urinmaning X o'qi bilan kesishuv nuqtasi sifatida aniqlaymiz: $R_i \approx 40 \text{ mm}$.



→ 1-grafik

Alfa zarrachalarning manba ustiga qoplangan plynokadagi yugurish masofasini hisobga olgan holda keltirilgan ekstropolyatsiyalangan yugurish masofasi(R_i') quyidagicha aniqlangan edi:

$$R_i' = R_i + \Delta R_i,$$

$$\text{bu yerda } \Delta R_i = l_0 C \quad \text{va} \quad l_0 = 1,7 \text{ mkm } TiO_2\text{-plyonka qalinligi},$$

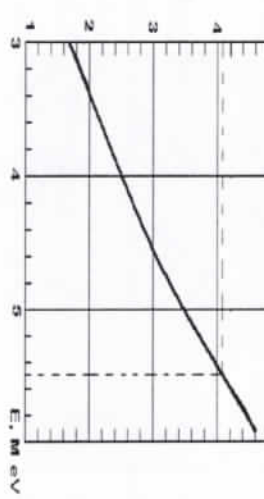
$$C = (3,4 \pm 0,1) \cdot 10^{-3}$$

$$R_i' = 34,9 \cdot 10^{-3} + 1,7 \cdot 10^{-6} \cdot 3,4 \cdot 10^3 = 34,9 \cdot 10^{-3} + 5,78 \cdot 10^{-3} = 40,68 \cdot 10^{-3}$$

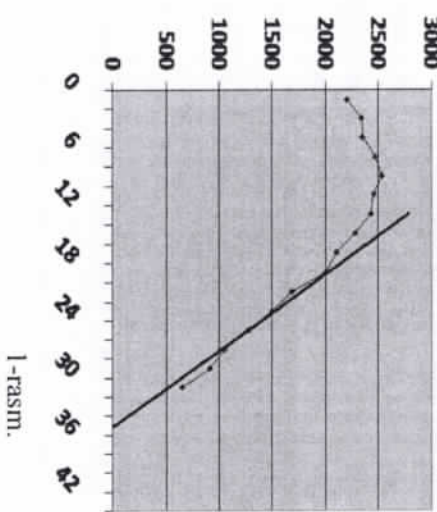
$$= 40,68 \text{ mm} \approx 4,07 \text{ sm}$$

Bu tajriba ishida 1-rasndagi keltirilgan ekstropolyatsiyalangan yugurish masofasining alfa zarrachalar energiyasiga bog'liqlik grafigidan manbadan chiqayotgan alfa zarralar energiyasini aniqlaymiz: $E_{\alpha, sp} = 5,48 \text{ MeV}$ (2-rasm)

2-rasm



3-Namuna: 18-Laboratoriya ishi. Alfa zarralarning energiyasini virtual tajribada aniqlash.



→ 1-grafik

bu yerda $\Delta R_i = l_0 C$ va $l_0 = 1,7 \text{ mkm } TiO_2\text{-plyonka qalinligi}$,

$$C = (3,4 \pm 0,1) \cdot 10^{-3}$$

$$R_i' = 34,9 \cdot 10^{-3} + 1,7 \cdot 10^{-6} \cdot 3,4 \cdot 10^3 = 34,9 \cdot 10^{-3} + 5,78 \cdot 10^{-3} = 40,68 \cdot 10^{-3}$$

$$= 40,68 \text{ mm} \approx 4,07 \text{ sm}$$

Geyger-Nettol qonuni asosida alfa zarrachalar energiyasining nazariy qiymatini hisoblaymiz.

$$\log_{10} \tau = \frac{148}{\sqrt{E}} - 53,6$$

Bu formulada plutoniy-238 izotopining real tajribalarda yarim yemirilish davri $T_{1/2} = 87,75 \text{ yil}$ ekanligini hisobga olsak,

$$\tau = \frac{T_{1/2}}{\ln 2} = \frac{87,75}{0,693} = 126,6 \text{ yil} = 126,6 \cdot 3153600 \text{ sek} = 3992457600 \text{ sek}$$

ga teng va

$$E_{\alpha, sp} = \left(\frac{148}{\log_{10} \tau + 53,6} \right)^2 = \left(\frac{148}{9,6012403 + 53,6} \right)^2 = \left(\frac{148}{63,2} \right)^2 = 2,34177215^2 = 5,48389681 \text{ MeV}$$

1-rasm.

2-namunada alfa zarrachalarning manba ustiga qoplangan plynokadagi yugurish masofasini hisobga olgan holda keltirilgan ekstropolyatsiyalangan yugurish masofasi(R_i') quyidagicha aniqlangan edi:

$$R_i' = R_i + \Delta R_i,$$

$$\text{bu yerda } \Delta R_i = l_0 C \quad \text{va} \quad l_0 = 1,7 \text{ mkm } TiO_2\text{-plyonka qalinligi},$$

$$C = (3,4 \pm 0,1) \cdot 10^{-3}$$

$$R_i' = 34,9 \cdot 10^{-3} + 1,7 \cdot 10^{-6} \cdot 3,4 \cdot 10^3 = 34,9 \cdot 10^{-3} + 5,78 \cdot 10^{-3} = 40,68 \cdot 10^{-3}$$

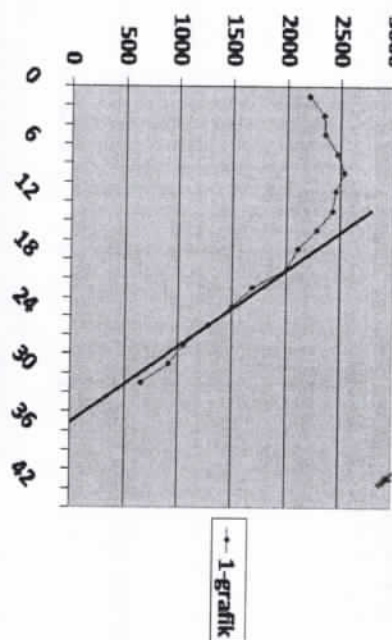
$$= 40,68 \text{ mm} \approx 4,07 \text{ sm}$$

Yuqorida olingan natijalar asosida energiyani aniqlashning nisbiy xatoligini hisoblaymiz.

$$\varepsilon = \frac{E_{\text{max}} - E_{\text{exp}}}{E_{\text{max}}} \cdot 100\% = \frac{5,483 - 5,48}{5,483} \cdot 100\% = 0.05\%$$

4-Namuna: 19-Laboratoriya ishi. Radioaktiv plutoniy-238 izotopining yarim yemirilish davrini virtual tajribada aniqlash.

2-namunadagi jadval va grafikdan foydalanib, alfa zarrachalarning ekstropolyatsiyalangan yugurish masofasini grafikka o'tkazilgan urinmaning X o'qi bilan kesishuv nuqtasi sifatida aniqlaymiz:
 $R_i \approx 40mm$.



Alfa zarrachalar energiyasining eksperimental qiymati asosida plutoniy-238 izotopining yarim yemirilish davrini aniqlaymiz:

$$\log_{10} \tau = \frac{148}{\sqrt{5,48}} - 53,6 = \frac{148}{2,34} - 53,6 = 9,6224667$$

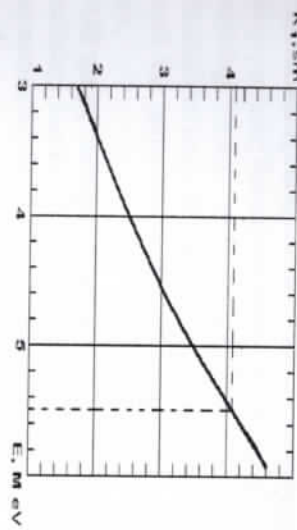
bundan o'rtacha yashash vaqt uchun quyidagi natijaga ega bo'lamiz:

$$\tau = 4192438774,1465 \text{ sek} = \frac{4192438774,1465}{31536000} = 132,94 \text{ yil}$$

Bunga asoslanib, plutoniy-238 izotopining yarim yemirilish davri uchun quyidagi natijani olamiz:

$$T_{1/2} = \tau \cdot \ln 2 = 132,94 \cdot 0,693 = 92,1 \text{ yil}$$

$$\varepsilon = \frac{T_{1/2(\text{obs})} - T_{1/2(\text{virtual})}}{T_{1/2(\text{obs})}} \cdot 100\% = \frac{87,75 - 92,1}{87,75} \cdot 100\% = 4,95\%$$



2-rasm

1-rasm

Alfa zarrachalarning manba ustiga qoplangan plynokadagi yugurish masofasini hisobga olgan holda keltirilgan ekstropolyatsiyalangan yugurish masofasi(R'_i) ni aniqlaymiz:

$$R'_i = 34,9 \cdot 10^{-3} + 1,7 \cdot 10^{-6} \cdot 3,4 \cdot 10^3 = 34,9 \cdot 10^{-3} + 5,78 \cdot 10^{-3} = 40,68 \cdot 10^{-3} m = 40,68 \text{ mm} \approx 4,07 \text{ sm}$$

3-namunadagi ekstropolyatsiyalangan yugurish masofasining alfa zarrachalar energiyasiga bog'liqlik grafigidan manbadan chiqayotgan alfa zarralar energiyasini aniqlaymiz: $E_{\text{exp}} = 5,48 \text{ MeV}$ (2-rasm)

Laboratoriya ishlari bo'yicha My-test dasturidagi testlar.

1. Fotoning massasi qaysi formula bo'yicha aniqlanadi?

- a) $m = \rho \cdot v$
- b) $m = 2E/v^2$
- c) $m = h\nu/c^2$
- d) $m = h/v \cdot \lambda$

2. Fotoeffekt hodisasida fototokning to'ynish qismi yorug'lik ... bog'iq.

- a) Oqimiga;
- b) Oqimiga hamda chastotasiga;
- c) To'lqn uzunligiga;
- d) Metalning chiqish ishiga.

3. Fotoeffekt hodisasida fotoelektronlarning tezligi (kinetik energiyasi) yorug'lik ... bog'iq.

- a) Oqimiga
- b) Chastotasiga
- c) Metalning chiqish ishiga
- d) Ham yorug'lik oqimiga, ham yorug'lik chastotasiga.

4. Fotoeffektning qizil chegarasi deganda nima tushuniadi?

- a) Fototok kuchining qiymati nol bo'lgan holni;
- b) Yorug'lik fotoning energiyasi metallning chiqish ishidan kichik bo'lgan holni;
- c) Metal sirtiga kelib tushayotgan yorug'lik chastotasi metallning chiqish ishi bilan quyidagi shartni bajargan hol, ya'ni $h\nu = A \cdot n$;
- d) Fotoning energiyasi metallning chiqish ishidan katta bo'lgan holni.

5. Fotoeffekt hodisasida fotoelektronlarni tutuvchi kuchlanish yorug'lik chastotasiga...

- a) Bog'iq emas;
- b) Kvadrat bog'lanishda;
- c) Chiziqli bog'lanishda;
- d) Murakkab ko'rinishda bog'iq.

6. ... fotoelementlarning fotosezgirligi eng katta bo'ladi.

- a) Vakuumlari;
- b) Gaz to'ldirilgan;
- c) Yarim o'tkazgichli;
- d) Barcha fotoelementlarning.

7. Fotoeffekt hodisasida yorug'lik fotoni metallga kelib tushganda, unga qanday ta'sir ko'rsatadi?

a) Metall ionlari bilan o'zaro individual ta'sirlashadi, ya'ni metall ionlariga yutiladi;

b) Metalldagi erkin elektronlarning biri bilan o'zaro individual ta'sirlashadi va unga yutiladi;

c) Metall ion panjaralari bilan o'zaro ta'sirlashadi va o'z energiyasini uzatadi;

d) Metall sirtiga tushib sochiladi;

f) Metalldagi barcha elektronlar bilan o'zaro ta'sirlashadi va ularga o'z energiyasini uzatadi.

8. Fotoelementlarning sifati katod sirtiga bog'iqlimi?

a) Ha bog'iq, chunki turli fotokatodlarning chiqish ishlari turilicha bo'ladi; katod sirti qanchalik toza bo'lsa, chiqish ishi ham shunchalik aniq bo'ladi;

b) Yo'q, bog'iq emas, chunki katod sirtiga o'tirgan atomlar uning ishini o'zgartira olmaydi;

c) Unchaliq bog'iq emas, chunki fototokning qiymati fotoelektronlar tezligiga bog'iq, fotoelektronlarning sifati fototoklarning qiymatiga bog'iq;

d) Yo'q, bog'iq emas, chunki fotoelementlarning sifati fotokatodlarning chiqish ishiga emas, balki vakuumning yuqori yoki pastligiga bog'iq.

9. Gaz to'ldirilgan fotoelementlar yasashda qanday gazlardan foydalaniladi va qanday maqsad nazarda tutiladi?

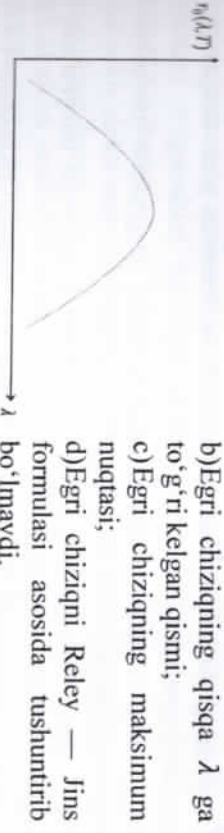
- a) Kistorod, vodorod, azot, chunki ularning elektron qardoshligi kichik;
- b) Inert gazlar: neon, argon, gelyy chunki ularning ionlashishlari oson;
- c) Faqat vodorod gazidan foydalaniladi, chunki uning atomida bitta elektron bor;
- d) Faqat kistorod, chunki uni olish arzon.

10. Vakuumli va gaz to'ldirilgan fotoelementlar ... bilan farq qiladi.

- a) Fototokning kattaligi;
 - b) Fotosezgirligi;
 - c) Tutuvchi potensial qiyamatining kattaligi;
 - d) Fotoelektronlar bulutining paydo bo'ishi.
11. Tajribalarda fotokatodning qizil chegarasi 300 nm ekanligi aniqlandi. Shu fotokatoddan elektronning chiqish ishi necha eV ekanligi aniqlansin.
- a) 1,6; b) 3; c) 4,1; d) 4,8.
12. Qanday kuchlanishda fototokning qiymati nolga teng bo'ladi?

- a) Kuchlanish nol bo'lganda;
 b) Kuchlanish manfiy bo'lganda;
 c) Kuchlanish musbat bo'lganda;
- d) Kuchlanish qiymati tutuvchi potensial qiymatiga teng bo'lganda.
13. Yorug'lik oqimi oshganda fotoeffektning volt-amper karakteristikasi qanday o'zgaradi?
- a) Volt-amper karakteristikasi o'zgarmaydi:
 b) Volt-amper karakteristikasining to'yinish qismi kamayadi:
 c) Volt-amper karakteristikasining to'yinish qismi ortadi:
 d) Volt-amper karakteristikasining bosh qismida o'zgarish yuz beradi.
14. Fotoeffektning volt-amper karakteristikasi (VAX) chastotaga...
- a) qarab ortib boradi, uning oxirida o'zgarish sezilmaydi:
 b) VAX ning oxiri chastota ortishi bilan chag'ga qarab sijib boradi, to'yinish toki deyarli o'zgarmaydi:
 c) VAX ning to'yinish qismi ham, uning oxiri ham chastotaga proporsional o'zgarib boradi.
15. To'yinish fototoki yorug'likning ... bog'liq.
- a) Chastotasiga;
 b) Oqimiga;
 c) Spektral tarkibiga;
 d) Tabiiy yoki qutblanganligiga.
16. Qaysi holda Eynshteyn tenglamasi (fotoeffekt uchun) to'g'ri yozilganligini belgilang.
- a) $h\nu = \frac{mv^2}{2} + A$; b) $h\nu_0 = A + \frac{mv^2}{2}$; c) $h\nu = \frac{mv_{max}^2}{2} + A$; d) $h\nu_0 = \frac{mv_{max}^2}{2} + A_0$.
17. Photoeffekt vaqida fotokatod materiali o'zgarmasa, fotoelektronning kinetik energiyasi nimaga bog'liq bo'ladi?
- a) Elektronlarning chiqish ishiga:
 b) Elektronlarga beriladigan kuchlanishiga,
 c) Yorug'lik chastotasiga;
 d) Yorug'lik oqimiga.
18. Yorug'likning ko'zgu sirtga ko'rsatayotgan bosimi (boshoq shart sharoitlar o'zgarmaganda) absolyut qora jisnga ko'rsatayotgan bosimdan ... bo'ladi.
- a) 2 marta katta;
 b) 2 mana kichik;
 c) 4 marta katta:
- d) 4 mana kichik.
19. Yorug'likning qattiq jismlargacha ko'rsatayotgan bosimini sezish va o'chashdagj asosiy eksperimental qiyinchiliklar nimada?
- a) Yorug'likning bosimi molekulalar bosimidan kichikligida;
 b) Radiometrik effektni bartaraf qilishda;
 c) Yuqori vakuumni hosil qilishning qiyinchilikida;
 d) Lebedev burama tarozisida elastikligi katta bo'igan sim topilishining bosimi nimaga teng?
- a) Birlik yuzga to'g'ri kelgan yorug'lik energiyasiga:
 b) Birlik yuzga tushayotgan elektromagnit to'lqin energiyasiga:
 c) Hajm birligidagi elektromagnit to'lqin energiyasiga:
 d) Yorug'lik intensivligiga.
21. Lebedev tajribalarida radiometrik effekt qanday qilib yo'qotilgan?
- a) Doirachalar yupqa qilib olingan:
 b) Doirachalarning biri qoraga bo'yalgan:
 c) Konveksion oqim yo'qotilgan:
 d) Doirachalar ulangan moslama shishadan yasalgan.
22. Lebedev tajribalarida qanday fizik kattaliklar absolyut o'changan?
- a) Yorug'likning bosim kuchi burama tarozi (shishadan yasalgan moslama) ning buralish burchagi doirachalarining yuzi.
 b) Burama tarozi osilgan simming buralish burchagi:
 c) Burama tarozi qelib tushayotgan yorug'lik quvvati.
 d) Burama tarozi qelib tushayotgan yorug'lik quvvati.
23. Astrofizik hodisalarda yorug'lik bosimi qanday namoyon bo'ladi?
- a) Quyoshdan kelayotgan yorug'lik bosimi hisobiga kometalar dumining shakli o'zgaradi;
 b) Kometalar dumining hajmi o'zgaradi;
 c) Kometalarning shakli o'zgaradi;
 d) Kometalarning ham shakli, ham massasi o'zgaradi.
24. Yorug'lik bosimini ... nazariyasi asosida tushuntirish mumkin. To'g'ri va to'lqin javobni ko'rsating.
- a) Elektromagnit to'lqin;
 b) Fotonlar;
 c) Elektromagnit to'lqin hamda fotonlar;
 d) Kvantlar.
25. Moddalarining nurlanish qobiliyati deganda nima tushuniadi?

- a) Birlik vaqt oralig'ida modda sirtidan tarqaladigan energiya;
 b) Moddaning birlik sirtidan birlik vaqt oralig'ida nurlanadigan energiya;
 c) Modda sirtidan tarqaladigan quvvat;
 d) Energetik yorqinlik.
26. Absolyut qora jismning nur yutish qobiliyati ... teng.
 a) Nolga; b) Birga; c) Ikkiga; d) Birga teng emas.
27. Muvozanat nurlanish ... spektrga ega.
 a) Chiziqli; b) Tutash; c) Yo'l — yo'l; d) Ham chiziqli, ham tutash.
28. Muvozanat nurlanish xususiyati nurlanuvchi jismarning tabiatiga....
 a) Bog'liq; b) Bog'liq emas; c) Unchilik bog'liq emas; d) Qisman bog'liq.
29. Absolyut qora jismarning nurlanish qobiliyati nega boshqa birday haroratda turgan barcha jismarning nurlanish qobiliyatlaridan katta bo'ldi?
- a) Chunki nur yutish qobiliyati birga teng;
 b) Chunki nur yutish qibiliyati nolga teng;
 c) Chunki nur yutish qibiliyati birdan kichik;
 d) Chunki nur yutish qibiliyati birdan katta.
30. Absolyut qora jismning integral nurlanish qobiliyati spektral nurlanish qobiliyati bilan qanday bog'langan?
- a) $R_0 = \int_0^{\infty} r_0 d\lambda$; b) $R = \int_0^{\infty} r d\lambda$;
 c) $R_0 = \int_0^{\infty} r_0 dT$; d) $R = \int_0^{\infty} r dT$.
31. Absolyut qora jismning energiya zichligi uning harorati bilan ... ko'rinishda bog'langan.
 a) $R_0 = \sigma T^4$; b) $R \sim T^5$; c) $R_0 \sim \sigma T^4$; d) $R \sim T^2$.
32. $r_0(\lambda, T)$ egri chiziqning egallagan yuzi qanday fizik ma'noni anglatadi?
- a) Yuz nurlanish energiyasini anglatadi;
 b) Yuz integral nurlanish energiyasini anglatadi;
 c) Yuz nurlanish quvvatini anglatadi;
 d) Yuz spektral nurlanish qobiliyatini anglatadi.
33. $r_0(\lambda, T)$ egri chiziqning qaysi qismi Reley — Jins formulasi asosida tushuniriladi?
- a) Egri chiziqning uzun λ ga to'g'ri kelgan qismi;



- b) Egri chiziqning qisqa λ ga to'g'ri kelgan qismi;
 c) Egri chiziqning maksimum nuqtasi;
 d) Egri chiziqni Reley — Jins formulasi asosida tushunirib bo'lmaydi.
34. Absolyut qora jism qanday o'zgaradi?
 a) 4 marta ortadi; b) 8 marta ortadi; c) 8 marta kamayadi; d) 16 marta ortadi.
35. «Ultrabinafsa halokat» deb ... tushunamiz.
 a) Nurlanish energiyasini nolga intilishini;
 b) Nurlanish quvvatining cheksizlikka intilishini;
 c) Nurlanish energiyasining cheksizlikka intilishini;
 d) Nurlanish quvvatining nolga teng bo'lib qolishini.
36. Kirxgofning oshkormas universal funksiyasi qanday fizik ma'noni anglatadi?
- a) Moddalarning nurlanish qobiliyatini anglatadi;
 b) Absolyut qora jismning nurlanish qobiliyatini anglatadi;
 c) Absolyut qora jismning nurlanish quvvatini anglatadi;
 d) Moddalarning nurlanish energiyasini anglatadi.
37. Absolyut qora jism taqsimot funksiyasi maksimumining balandligini karakterlovchi to'lin uzunligi (ya'ni λ_{max}) harorat bilan ... ko'rimishda bog'langan.
 a) $\lambda_{max} = \sigma T^4$; b) $\lambda_{max} = \frac{c}{T^2}$; c) $\lambda_{max} = \frac{b}{T}$; d) $\lambda_{max} = \frac{c}{T^4}$,
38. Qora jism nurlanish spektridagi energiyaning taqsimlanish qonuni klassik nazariyaga asosan qanday formula bilan ifodalanshini belgilang.
- a) $r_{\theta, \lambda, T} = \frac{8\pi\nu^2}{c^3} kT dv$; b) $r_{\theta, \lambda, T} = r_{\theta, \lambda, T} \frac{c}{\nu^2}$;
- c) $r_{\theta, \lambda, T} = \frac{2\pi h\nu^3}{c^2} e^{h\nu/kT}$; d) $\lambda_{max} \cdot T = const$

39. Plank formulasidan Stefan — Bolsman qonuni qanday qilib keltirib chiqariladi?
- a) Spektral nurlanish qobiliyati ifodasini chastota bo'yicha 0 dan oo gacha integrallash natijasida keltirib chiqariladi;

- b) $r_{\theta,\lambda,T}$ ning ifodasidan chastota bo'yicha differensial olish natijasida ichidagi o'zgarishlar hisobiga elektromagnit to'lqinlarning yuzaga keltirib chiqariladi;
- c) $r_{\theta,\lambda,T}$ ning iiodasini to'lqin uzunligi bo'yicha integrallash natijasida keltirib chiqariladi;
- d) $r_{\theta,\lambda,T}$ ning ifodasini ham λ bo'yicha, ham T bo'yicha integrallash natijasida keltirib chiqariladi.
40. Plank formulasiдан Vin qonuni qanday qilib keltirib chiqariladi?
- a) Spektral nurlanish ifodasini to'lqin uzunligi bo'yicha 0 dan ∞ gacha integrallash natijasida keltirib chiqariladi;
- b) Spektral nurlanish qobiliyati ifodasidan λ bo'yicha differensial olish natijasida keltirib chiqariladi;
- c) Spektral nurlanish qibiliyati ifodasidan to'lqin uzunligi bo'yicha differensial olib, chiqqan natijani nolga tenglash bilan keltirib chiqariladi;
- d) $r_{\theta,\lambda,T}$ ning iiodasini ham λ bo'yicha, ham T bo'yicha integrallash natijasida keltirib chiqariladi.
41. Qachon va qaysi sharoitlarda Plank formulasi muvozanat nurlanish spektridagi energiyaning taqsimoti uchun olingan klassik ifodaga o'tadi?
- a) $\frac{hv}{kT} \gg 1$; b) $\frac{hv}{kT} \ll 1$; c) $\frac{hv}{kT} \approx 1$; d) $\frac{hv}{kT} \approx 1$.
42. Rentgen nayining ... rentgen nurlanishi generatsiyalanadi.
- a) katodida;
- b) anodida;
- c) antikatodida;
- d) katodida va anodida.
43. Tormozlanish nimadani iborat?
- a) Antikatoddan generatsiyalangan elektronlar oqimidan iborat;
- b) Antikatod atomlari orasida elektronlarning harakati natijasida generatsiyalangan elektromagnit to'lqlardan iborat;
- c) Antikatod atomlari ichiga kirib borgan elektronlarning yuzaga keltirgan elektromagnit to'lqlardan iborat.
- d) Katoddan chiqqan elektronlar oqimidan iborat.
44. Xarakteristik rentgen nurlanish mexanizmi nimadani iborat?
- a) Elektronlarning antikatod atomlari orasida tormozlanishi hisobiga elektromagnit to'lqlarning yuzaga kelishidan iborat;
- b) Elektronlarning antikatod atomlari ichiga kirib ketishi hisobiga, atom ichidagi o'zgarishlar hisobiga elektromagnit to'lqinlarning yuzaga kelishidan iborat;
- c) Kuchli elektr maydon hisobiga elektromagnit to'lqinlarning yuzaga kelishidan iborat;
- d) Katod va antikatod o'tasiga berilgan yuqori kuchlanish hisobiga elektromagnit to'lqinlarning yuzaga kelishidan iborat.
45. Rentgen nurlanining minimal to'lqin uzunligi ularni yuzaga keltiradigan anod kuchlanishining qiymati bilan qanday bog'langanligini belgilang.
- a) $\frac{hc}{\lambda_0} = eU$; b) $\frac{hc}{\lambda} = \frac{1}{eU}$; c) $\frac{hc}{\Delta\lambda} = eU$; d) $\frac{hc}{\lambda_0} = \frac{U}{e}$.
46. Vulf — Bregg sharti... ko'rinishida bo'ladi.
- a) $dsin\varphi = k\lambda$; a) $\frac{\sin\theta}{d} = k\lambda$; c) $2dsin\theta = k\lambda$; d) $dsin\theta = \frac{k\lambda}{2}$.
47. Tormozlanish rentgen nurlanish spektri ... bo'ladi.
- a) chiziqli;
- b) ma'lum shakldagi tutash;
- c) yo'l-yo'l;
- d) tutash spektr foni dagi chiziqli spektrdan iborat.
48. Xarakteristik rentgen nurlanishi ... bo'ladi.
- a) tutash spektr foni dagi chiziqli spektrdan iborat;
- b) tutash spektridan iborat;
- c) yo'l-yo'l spektridan iborat;
- d) ma'lum shakldagi tutash spektridan iborat.
49. Mozzi qonuning matematik ifodasi... ko'rinishiga ega.
- a) $v = R(Z - \sigma)^2$; b) $\omega = R(Z - \sigma)^2$; c) $v = R(Z - \sigma)$; d) $v = R'(Z - \sigma)$.
50. Kompton effektiida nurlanish chastotasi...
- a) o'zgarmaydi; b) $\Delta\lambda$ ga ortadi; c) $\Delta\lambda$ ga kamayadi; d) $v_0 + \Delta v$ ga ortadi.
51. Kompton effektiida nurlanish chastotasing o'zgarishiga sabab nima?
- a) Energiyaning saqlanish qonuni; b) Impulsning saqlanish qonuni;
- c) Energiya va impulsning saqlanish qonuni; d) Massaning saqlanish qonuni.
52. Nurlanishing moddaga ta'sirida qaysi hollarda Kompton effekti yuz beradi?
- a) Oq'ir moddalar bilan o'zaro ta'sirlashganda;

- b) Metallar bilan o'zaro ta'sirlashganda;
- c) Yarim o'tkazichilar bilan o'zaro ta'sirlashganda;
- d) Yengil moddalar bilan o'zaro ta'sirlashganda.
53. Tormozlanish nurlanish spektrlarining ko'rinishi antikatod moddasiga ...
- a) bog'liq; b) bog'liq emas; c) qisman bog'liq; d) katod moddasiga bog'liq.
54. Kompton effektida energiyaning saqlanish qonuning ifodasi qanday ekanligini belgilang.
- $$a) \frac{h\nu}{\lambda} = \frac{h\nu}{\lambda'} + m_0 v^2; \quad b) h\nu' = h\nu + m_0 v^2; \quad c) h\nu = h\nu' + \frac{m_0 v^2}{2}; \quad d) h\Delta\lambda = \frac{\lambda_0 \sin 2\theta}{2}$$
55. Kompton diagrammasida $m_0 v$... bildiradi.
- a) sochilgan foton energiyasini; b) sochilgan elektron energiyasini; c) sochilgan foton impulsini; d) sochilgan elektron impulsini.
56. Rentgen naviga beriladigan kuchlanish ... bo'iishi kerak.
- a) 20 V dan katta; b) 20 V gacha; c) 20 kV dan katta; d) 20 MV dan kichik.
- 57.. Frank va Gers tajribasi atomning ... tasdiqlaydi..
- a) impuls momentining kvantlanganligini;
- b) Energiyasining kvantlanganligini;
- c) Spinning kvantlanganligini;
- d) Magnit momentining kvantlanganligini.
58. Atomdagagi elektronning qabul qila oladigan energiyasining diskret xarakterida ekanligini... tajribasi tasdiqlaydi.
- a) Shtern — Gerlax; b) Devisson — Djermek; c) Frank va Gers; d) De — Broyl.
59. Atomdagagi elektron $E_k = 7,7 \cdot 10^{-19}$ J energiyali sattdan $E_n = 4,4 \cdot 10^{-19}$ J energiyali satnga o'tganda chiqariladigan elektromagnit nurlanishing to'lqin uzunligi necha nm ekanligi aniqlansin.
- a) 150; b) 300; c) 340; d) 600.
60. Atomda elektron spinga ega ekanligini ... tajribasi tasdiqlaydi. -
- a) Frank va Gers; b) Devisson — Djermek; c) Erenfest; d) Shtern — Gerlax;
61. Atomar vodorod gazi nurlanish spektrining ... seriyasi yaqin infraqizil nurlanish sohasida yotadi.
- a) Balmer; b) Paschen; c) Layman; d) Brekett.
62. Quyidagi formula ... Balmer seriyasining formulasi hisoblanadi.
- a) $\frac{1}{\lambda} = R \left(\frac{1}{3^2} - \frac{1}{n^2} \right); \quad b) \frac{1}{\lambda} = R \left(\frac{1}{2^2} - \frac{1}{n^2} \right); \quad c) \frac{1}{\lambda} = R \left(\frac{1}{1^2} - \frac{1}{n^2} \right); \quad d)$
- $$\nu = R \left(\frac{1}{5^2} - \frac{1}{n^2} \right);$$
63. Balmerning umumlashgan formulasi ko'rinishda bo'ladi.
- a) $\nu = R \left(\frac{1}{3^2} - \frac{1}{n^2} \right); \quad b) \nu = R \left(\frac{1}{2^2} - \frac{1}{n^2} \right); \quad c) \nu = R \left(\frac{1}{k^2} - \frac{1}{n^2} \right), k < n;$
- d) $\nu = R \left(\frac{1}{n^2} - \frac{1}{k^2} \right), k > n;$
64. Molekulalar spektrlar... bo'ladi.....
- a) chiziqli; b) tutash; c) yo'l — yo'l; d) ham tutash, ham chiziqli.

My-test dasturining javoblari

I -c	15 — b	29-a	43-b
2 — a	16 — d	30-a	44-b
3-b	17 — b	31 -a	45-a
4-c	18 — a	32-b	46-c
5-c	19-b	33-a	47-b
6-c	20-c	34-d	48-a
7-b	21-a	35-c	49-a
8-a	22-b	36-b	50-c
9 -b	23-a	37-c	51-a
10-b	24-c	38-a	52-d
11-c	25-b	39-a	53-b
12-d	26-b	40-c	54-c
13-c	27-b	41-b	55-d
14-b	28-b	42-c	56-c

Ilovalar Asosiy fizik doimiyliklar

Yorug'likning vakuuumdagi tezligi	$c = 2,99792 \cdot 10^8 \text{ m/s}$
Gravitatsiya doimiyisi	$\gamma = 6,672 \cdot 10^{-11} N \cdot m^2 / kg^2 (m^3 / kg \cdot sek^2)$
Normal sharoitlarda 1 kmol ideal gazning hajmi V_0	$V_0 = 22,4 m^3$
Ideal gazning molyar hajmi	$(T_0 = 273,15 K, P_0 = 1,01 \cdot 10^5 Pa)$
Universal gaz doimiyisi	$R = 8,314 J/(K \cdot mol)$
Faradey soni	$F = 96485 KJ/mol$
Avogadro doimiyisi	$N_A = 6,02204 \cdot 10^{23} mol^{-1}$
Bolsman doimiyisi	$k = 1,3806 \cdot 10^{-23} J/K$
Protomning tinchlikdag'i massasi	$m_p = 1,67265 \cdot 10^{-27} kg$
Elektronning tinchlikdag'i massasi	$m_e = 9,10953 \cdot 10^{-31} kg$
Neytronnинг tinchlikdag'i massasi	$m_n = 1,67495 \cdot 10^{-27} kg$
Proton bilan elektronning tinchlikdag'i massalarining nisbati	$m_p / m_e = 1836,1515$
Elektronning zaryadi	$e = 1,60219 \cdot 10^{-19} C$
Vin doimiyisi	$b = 0,0028978 m \cdot K$
Plank doimiyisi	$h = 6,6262 \cdot 10^{-34} J \cdot s$
Stefan-Bolsman doimiyisi	$\sigma = 5,67032 \cdot 10^{-8} W/(m^2 \cdot K^4)$
Ridberg doimiyisi	$R_\infty = 1,09737318 \cdot 10^7 m^{-1}$
Bor magnetoni	$\mu_B = 9,27408 \cdot 10^{-24} J/TI$
Yadro magnit momenti	$\mu_N = 5,05082 \cdot 10^{-27} J/TI$
Elektronning magnet momenti	$\mu_e = 9,28483 \cdot 10^{-24} J/TI$
Protomning magnit momenti	$\mu_p = 1,4106171 \cdot 10^{-28} J/TI$
Massanining atom birligi	$a.M\bar{\sigma} = 1,6605655 \cdot 10^{-27} kg$
Elektronning massasi	$m_e = 9,09534 \cdot 10^{-11} kg$
Elektronning solishirma zaryadi	$\frac{e}{m_e} = 1,7588047 \cdot 10 \frac{C}{kg}$
Bor radiusi	$a_0 = 5,291771 \cdot 10^{-11} m$
Erkin tushish tezlanishi	$g = 9,80665 m/s^2$

Suvning maksimal zichligi
($t = 3,98^\circ C$; $\rho = 101325 Pa$)

$$\rho_{H,O} = 999,973 kg \cdot m^{-3}$$

Normal atmosfera bosimi

$$\rho_{atm} = 101325 Pa$$

Tovushning havodagi tezligi

$$g = 331,46 m/s$$

Havoniq zichligi

$$\rho_{air} = 1,293 kg/m^3$$

Magnit doimiyisi

$$\mu_0 = 12,566371 \cdot 10^{-7} N/m$$

Elektr doimiyisi

$$\varepsilon_0 = 8,854188 \cdot 10^{-12} F/m$$

Loshmid soni

$$N_A = 2,68719 \cdot 10^{25} m^{-3}$$

Atomlar va molekulalarning diametrlari

Gelyj (He)	$2 \cdot 10^{-10} m$
Vodorod (H ₂)	$2,3 \cdot 10^{-10} m$
Kislород (O ₂)	$3 \cdot 10^{-10} m$
Azot (N ₂)	$3 \cdot 10^{-10} m$

Elektronlarning metallardan chiqishdagi ishi (eV da)

W	4,5
W+Cs	1,6
W+Th	2,63
Pt+Cs	1,40
Pt	5,3
Ag	4,74
Li	2,4
Na	2,3
K	2,0
Cs	1,9
Zn	4,2

Radioaktiv nuklidlarning gamma - kvantlari energiyasi

Nuklid	$E_\gamma(\Delta E_\gamma), keV$	Nuklid	$E_\gamma(\Delta E_\gamma), keV$	Nuklid	$E_\gamma(\Delta E_\gamma), keV$
¹ T	2	³ Li	4	⁵ Tb	6
¹⁸² Ta	31,7370(7)	¹⁷³ Lu	285,369(6)	¹⁶⁰ Tb	962,342(18)
¹⁸³ Ta	42,7143(9)	⁹² Ir	295,9483(52)	¹⁵² Eu	964,070(18)
²⁴¹ Am	59,5538(2)	¹⁶⁰ Tb	298,571(6)	¹⁶⁰ Tb	966,163(19)
¹⁶⁹ Yb	63,1182(11)	¹³³ Ba	302,850(6)	⁵⁶ Co	1037,841(18)
¹⁸² Ta	65,7219(13)	¹⁷⁵ Se	303,908(10)	⁸³ Br	1043,996(20)
¹⁸² Ta	67,7496(13)	¹⁶⁹ Yb	307,732(6)	²⁰⁷ Bi	1063,660(19)
¹⁸² Ta	84,2517(15)	¹⁹² Ir	308,4464(54)	¹⁵² Eu	1085,835(19)
¹⁸² Ta	84,6802(16)	¹⁹² Ir	316,4977(56)	¹⁵² Eu	1112,065(22)
¹⁶⁰ Tb	86,790(2)	¹⁵² Eu	344,267(7)	⁶⁵ Zn	1115,555(20)
¹⁰⁹ Gd	88,032(2)	¹³¹ Ba	356,005(7)	¹⁸² Ta	1121,290(20)
¹⁷⁹ Lu	88,367(3)	¹³¹ Ba	383,831(8)	⁶⁰ Co	1121,290(20)
⁷⁵ Se	96,734(3)	¹¹³ Sn	391,688(7)	⁵⁶ Co	1175,095(23)
¹⁰⁹ Gd	97,432(3)	⁷⁵ Se	400,650(8)	¹⁶⁰ Tb	1177,970(22)
¹⁸² Ta	100,1067(19)	¹³² Eu	411,084(10)	¹⁸² Ta	1177,970(22)
¹⁵³ Gd	103,181(2)	¹⁹⁸ Hg	411,794(7)	¹⁶⁰ Tb	1199,904(23)
¹⁶⁹ Yb	109,784(3)	¹⁹² Ir	416,4501(79)	¹⁵² Eu	1212,895(23)

Ba'zi izotoplarning massalari (m.a.b)

¹⁸² Ta	113,6677(22)	¹⁵² Eu	443,940(9)	¹⁸² Ta	1221,391(22)
¹⁸² Ta	116,4172(23)	¹¹⁰ Ag	446,802(11)	¹⁸² Ta	1230,988(23)
¹⁶⁹ Yb	118,191(3)	¹⁹² Ti	468,0546(82)	⁵⁶ Co	1238,271(22)
⁷⁵ Se	121,117(3)	⁸² Br	554,330(11)	¹⁸² Ta	1257,416(23)
¹³² Eu	121,782(3)	¹³⁴ Cs	563,231(11)	¹⁸² Ta	1271,896(24)
⁵⁷ Co	121,060(2)	¹³⁴ Cs	569,322(12)	¹⁸² Ta	1273,711(24)
¹⁶⁹ Yb	130,525(3)	²⁰⁷ Bi	569,683(11)	²² Na	1274,531(23)
¹⁴⁴ Ce	133,518(3)	¹⁹² Ti	588,5562(106)	¹⁸² Ta	1289,119(24)
⁷⁵ Se	136,000(3)	¹⁹² Ti	604,3942(106)	¹⁸² Ta	1289,119(24)
⁵⁷ Co	136,475(5)	¹³⁴ Cs	604,701(12)	¹⁶⁰ Tb	1312,174(26)
¹⁴¹ Ce	145,443(3)	¹⁹² Ti	612,4460(106)	⁸² Br	1317,459(25)
¹⁸² Ta	152,4298(29)	¹¹⁰ Ag	620,353(14)	⁶⁰ Co	1332,485(25)
¹⁸² Ta	156,3819(30)	¹⁷³ Lu	636,129(13)	⁵⁶ Co	1360,209(24)
¹³⁹ Ce	165,854(3)	¹¹⁰ Ag	657,744(13)	¹³⁴ Cs	1365,177(24)
¹⁷³ Lu	171,402(4)	¹³⁷ Cs	661,648(13)	²⁴ Na	1368,615(26)
¹⁶⁹ Yb	177,208(4)	¹¹⁰ Ag	677,613(14)	¹¹⁰ Ag	1384,285(26)
¹⁷³ Lu	179,363(4)	¹¹⁰ Ag	687,001(14)	¹⁵² Eu	1407,974(26)
¹⁸² Ta	179,3895(34)	¹⁴⁴ Ce	696,492(13)	¹¹⁰ Ag	1475,778(27)
¹⁶⁰ Tb	197,026(4)	⁸² Br	698,361(13)	¹⁴⁴ Ce	1489,132(27)
¹⁶⁹ Yb	197,948(4)	¹¹⁰ Ag	706,672(14)	¹¹⁰ Ag	1505,036(28)
¹⁸² Ta	198,3478(38)	¹¹⁰ Ag	744,271(15)	¹¹⁰ Ag	1562,303(29)
⁷⁵ Se	198,603(5)	¹¹⁰ Ag	763,936(16)	²⁰⁷ Bi	1770,253(34)
¹⁶⁷ Tm	207,797(4)	⁸² Br	776,516(14)	⁵⁶ Co	1771,347(32)
¹⁶⁰ Tb	215,641(4)	¹⁵² Eu	778,914(15)	⁵⁶ Co	1810,768(37)
⁸² Br	221,476(6)	^{95m} Br	786,188(15)	⁸⁸ Y	1836,074(34)
¹⁸² Ta	222,1037(42)	¹³⁴ Cs	795,856(16)	⁵⁶ Co	1963,760(38)
¹⁸² Ta	229,3162(52)	¹³⁴ Cs	801,957(16)	⁵⁶ Co	2015,196(40)
¹⁷³ Lu	233,603(5)	¹¹⁰ Ag	818,028(15)	⁵⁶ Co	2034,772(37)
¹³² Eu	244,691(5)	^{95m} Tc	820,632(19)	⁵⁶ Co	2113,154(48)
¹¹³ Sn	255,132(8)	⁸² Br	827,828(16)	¹⁴⁴ Ce	2185,607(41)
¹⁶⁹ Yb	261,069(9)	⁵⁴ Mn	834,858(15)	⁵⁶ Co	2212,859(55)
¹⁸² Ta	264,0711(50)	⁵⁶ Co	846,777(16)	⁵⁶ Co	2598,444(47)
⁷⁵ Se	264,652(5)	¹⁵² Eu	867,383(16)	²⁴ Na	2753,989(51)
¹⁷³ Lu	272,111(5)	¹⁶⁰ Tb	879,387(17)	⁵⁶ Co	3009,587(59)
¹³³ Ba	276,397(5)	¹¹⁰ Ag	884,695(16)	⁵⁶ Co	3201,987(60)
²⁰³ Hg	279,189(6)	⁸⁸ Y	898,048(19)	⁵⁶ Co	3253,414(60)

Sun'iy ravishda olingan radioaktiv elementlar

Ele- ment- ning tarrib raqami	Kimyoiy element nomi va formulasi	Element sintez qilingan yil	Nisbatan eng ko'p yashaydigan izotoplarning massa somi	Nisbatan eng ko'p yashaydigan izotoplarning yarim yemirilish davrlari
43	Texnetsi ^y	Tc	1937	97
61	Prometiy	Pm	1947	145
85	Astas	At	1940	210
87	Fransiy	Fr	1939	223
				2,6·10 ⁶ yil
				18 yil
				8 soat 18 daqqa
				21 daqqa

D.I.MENDELEYEVNING KIMYOVLY ELEMENTLAR DAVRIY JADVALI

DAVRLARI	GATORLARI	I	II	III	IV	V	VI	VII	(H)	VIII						
1	1	Li	Be	B	C	N	O	F		He						
2	2	Na	Mg	Al	Si	P	S	Cl	Ne	Ar						
3	3	K	Ca	Sc	Ti	Cr	Mn	Fe	Co	Ni						
4	4	Cu	Zn	Ga	Ge	As	Se	Br		Kr						
5	5	Rb	Sr	Y	Zr	Mo	Tc	Ru	Rh	Pd	Xe					
6	6	Ag	Cd	In	Su	Sb	Te									
7	7	Cs	Ba	La	Hf	Ta	W	Re	Os	Ir	Pt					
8	8	Au	Hg	Tl	Pb	Bi	Po	At			Rn					
9	9	Fr	Ra	Ac	Rf	Db	Sg	Bh	Hs	Mt	Ds					
10	10										Uuu					
		R ₂ O	RO	R ₂ O ₃	RO ₂	R ₂ O ₅	RO ₃	R ₂ O ₇		RO ₄						
					RH ₄	RH ₃	H ₂ R	HR								
		Ce	Pr	Nd	Pm	Sm	Eu	Gd	Tb	Dy	Ho	Er	Tm	Yb	Lu	
		Th	Pa	U	Np	Pu	Am	Cm	Bk	Cf	Es	Fm	Md	(No)	(Lr)	
		UCHUNCHAN VOLEMENDI BIRGEMALARI														

Kimyovly
belgisi

Tartib raqami

Fe 13
Tomin 57

Nisbiy atom
massasi

Element nomi

Energetik pog'ondagi
elektronlar soni

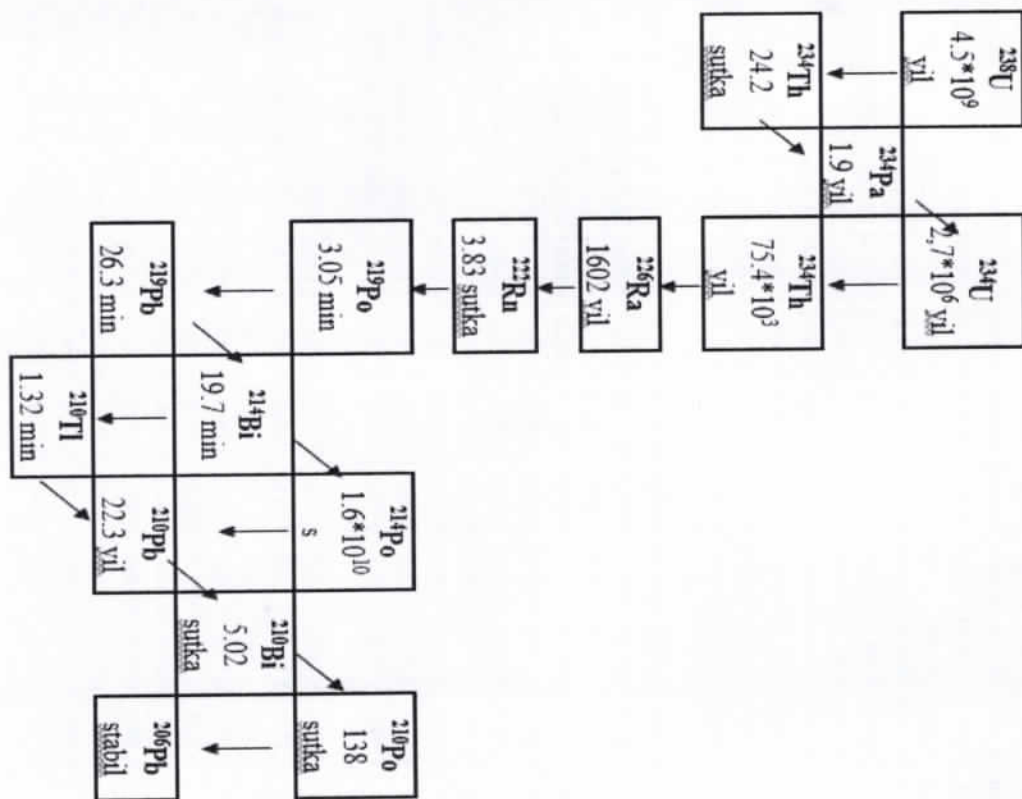
s - elementlar

p - elementlar

d - elementlar

f - elementlar

238U tabiiy radioaktiv oilasi



Natural logarifmlar jadvalı

N	0	1	2	3	4	5	6	7	8	9
1,0	0,0000	0,0100	0,0198	0,0296	0,0392	0,0488	0,0583	0,0677	0,0770	0,0862
1,1	0,0953	0,1044	0,1133	0,1222	0,1310	0,1398	0,1484	0,1570	0,1655	0,1740
1,2	0,1823	0,1906	0,1989	0,2070	0,2151	0,2231	0,2311	0,2390	0,2469	0,2546
1,3	0,2624	0,2700	0,2776	0,2852	0,2927	0,3001	0,3075	0,3148	0,3221	0,3293
1,4	0,3365	0,3436	0,3507	0,3577	0,3646	0,3716	0,3784	0,3853	0,3920	0,3988
1,5	0,4055	0,4121	0,4187	0,4253	0,4318	0,4383	0,4447	0,4511	0,4574	0,4637
1,6	0,4700	0,4762	0,4824	0,4886	0,4947	0,5008	0,5068	0,5128	0,5188	0,5247
1,7	0,5306	0,5365	0,5423	0,5481	0,5539	0,5596	0,5653	0,5710	0,5766	0,5822
1,8	0,5878	0,5933	0,5988	0,6043	0,6098	0,6152	0,6206	0,6259	0,6313	0,6366
1,9	0,6419	0,6471	0,6523	0,6575	0,6627	0,6678	0,6729	0,6780	0,6831	0,6881
2,0	0,6931	0,6981	0,7031	0,7080	0,7129	0,7178	0,7227	0,7275	0,7324	0,7372
2,1	0,7419	0,7467	0,7514	0,7561	0,7608	0,7655	0,7701	0,7747	0,7793	0,7839
2,2	0,7885	0,7930	0,7975	0,8020	0,8065	0,8109	0,8154	0,8198	0,8242	0,8286
2,3	0,8329	0,8372	0,8416	0,8459	0,8502	0,8544	0,8587	0,8629	0,8671	0,8713
2,4	0,8755	0,8796	0,8838	0,8879	0,8920	0,8961	0,9002	0,9042	0,9083	0,9123
2,5	0,9163	0,9203	0,9243	0,9282	0,9322	0,9361	0,9400	0,9439	0,9478	0,9517
2,6	0,9555	0,9594	0,9632	0,9670	0,9708	0,9746	0,9783	0,9821	0,9858	0,9895
2,7	0,9933	0,9969	1,0006	1,0043	1,0080	1,0116	1,0152	1,0188	1,0225	1,0260
2,8	1,0296	1,0332	1,0367	1,0403	1,0438	1,0473	1,0508	1,0543	1,0578	1,0613
2,9	1,0647	1,0682	1,0716	1,0750	1,0784	1,0818	1,0852	1,0886	1,0919	1,0953
3,0	1,0986	1,1019	1,1053	1,1086	1,1119	1,1151	1,1184	1,1217	1,1249	1,1282
3,1	1,1314	1,1346	1,1378	1,1410	1,1442	1,1474	1,1506	1,1537	1,1569	1,1600
3,2	1,1632	1,1663	1,1694	1,1725	1,1756	1,1787	1,1817	1,1848	1,1878	1,1909
3,3	1,1939	1,1969	1,2000	1,2030	1,2060	1,2090	1,2119	1,2149	1,2179	1,2208
3,4	1,2238	1,2267	1,2296	1,2326	1,2355	1,2384	1,2413	1,2442	1,2470	1,2499
3,5	1,2528	1,2556	1,2585	1,2613	1,2641	1,2669	1,2698	1,2726	1,2754	1,2782
3,6	1,2809	1,2837	1,2865	1,2892	1,2920	1,2947	1,2975	1,3002	1,3029	1,3056
3,7	1,3083	1,3110	1,3137	1,3164	1,3191	1,3218	1,3244	1,3271	1,3297	1,3324
3,8	1,3350	1,3376	1,3403	1,3429	1,3455	1,3481	1,3507	1,3533	1,3558	1,3584
3,9	1,3610	1,3635	1,3661	1,3686	1,3712	1,3737	1,3762	1,3788	1,3813	1,3838
4,0	1,3863	1,3888	1,3913	1,3938	1,3962	1,3987	1,4012	1,4036	1,4061	1,4085
4,1	1,4110	1,4134	1,4159	1,4183	1,4207	1,4231	1,4255	1,4279	1,4303	1,4327
4,2	1,4351	1,4375	1,4398	1,4422	1,4446	1,4469	1,4493	1,4516	1,4540	1,4563
4,3	1,4586	1,4609	1,4633	1,4656	1,4679	1,4702	1,4725	1,4748	1,4770	1,4793
4,4	1,4816	1,4839	1,4861	1,4884	1,4907	1,4929	1,4951	1,4974	1,4996	1,5019

8.2	2.1041	2.1054	2.1066	2.1078	2.1090	2.1102	2.1114	2.1126	2.1138	2.1150
8.3	2.1163	2.1175	2.1187	2.1199	2.1211	2.1223	2.1235	2.1247	2.1258	2.1270
8.4	2.1282	2.1294	2.1306	2.1318	2.1330	2.1342	2.1353	2.1365	2.1377	2.1389
8.5	2.1401	2.1412	2.1424	2.1436	2.1448	2.1459	2.1471	2.1483	2.1494	2.1506
8.6	2.1518	2.1529	2.1541	2.1552	2.1564	2.1576	2.1587	2.1599	2.1610	2.1622
8.7	2.1633	2.1645	2.1656	2.1668	2.1679	2.1691	2.1702	2.1713	2.1725	2.1736
8.8	2.1748	2.1759	2.1770	2.1782	2.1793	2.1804	2.1815	2.1827	2.1838	2.1849
8.9	2.1861	2.1872	2.1883	2.1894	2.1905	2.1917	2.1928	2.1939	2.1950	2.1961
9.0	2.1972	2.1983	2.1994	2.2006	2.2017	2.2028	2.2039	2.2050	2.2061	2.2072
9.1	2.2083	2.2094	2.2105	2.2116	2.2127	2.2138	2.2148	2.2159	2.2170	2.2181
9.2	2.2192	2.2203	2.2214	2.2225	2.2235	2.2246	2.2257	2.2268	2.2279	2.2289
9.3	2.2300	2.2311	2.2322	2.2332	2.2343	2.2354	2.2364	2.2375	2.2386	2.2396
9.4	2.2407	2.2418	2.2428	2.2439	2.2450	2.2460	2.2471	2.2481	2.2492	2.2502
9.5	2.2513	2.2523	2.2534	2.2544	2.2555	2.2565	2.2576	2.2586	2.2597	2.2607
9.6	2.2618	2.2628	2.2638	2.2649	2.2659	2.2670	2.2680	2.2690	2.2701	2.2711
9.7	2.2721	2.2732	2.2742	2.2752	2.2762	2.2773	2.2783	2.2793	2.2803	2.2814
9.8	2.2824	2.2834	2.2844	2.2854	2.2865	2.2875	2.2885	2.2895	2.2905	2.2915
9.9	2.2925	2.2935	2.2946	2.2956	2.2966	2.2976	2.2986	2.2996	2.3006	2.3016

- 13401/23 -

OZBEKISTON RESPUBLIKASI YUNAQAT
MAXSUS TALIM VA ZURUGI CHIRCHIG DAWLAT
PEDAGOGIKA UNIVERSITETI

AXBOROT RESURS MARKAZI

Adabiyotlar

1. Лавренчик В.Н. Постановка физического эксперимента и статистическая обработка его результатов. -М.: Энерготомиздат, 1996 г.
2. Фрауэнфельдер Г., Э.Хенни. Субатомная физика (пер. с англ)-М.: Мир, 1999 г.
3. Begimqulov U.Sh., Mahmudova X.M., Gadoyev O.A., Kamolov J., G'Obnazarova G.N., Toshxonova J.A. Fizikadan praktikum, Optika va kvant fizika. –Toshkent. Musiqa nashriyoti. 2007.
4. Бессонов А.А., Дергобузов К.А. Физика атома и ядра: виртуальная лаборатория. –Челябинск. 2018.
5. Xidaubyerdiyev E.N., Bissengnova B.T. Ulumiyu fizika (Yadro fizikasi)dan laboratoriya Ishlari. Uslibiyu qo'llanna. –Navoiy. 2017.
6. Мухин К.Н. Экспериментальная ядерная физика. Т.1-2. –Москва, Энергоатомиздат, 1993.
7. Бекжонов Р.Б. Атом ядро ва элементар зарранар физикиси. –Ташкент, Ўқитувчи, 1995.
8. Темабоеев С.Ш. Ядро ва элементар зарранар физикиси. –Ташкент, Ўқитувчи, 1992.
9. Мўминов Т.М., Хумидуродов Ш.Х., Холикулов А.Б. Атом ядро ва элементар зарранар физикиси маъризуни курси – Самарқанд. 2001.
10. бекжонов Р.Б. Элементар ядро физикиси. –Ташкент, Ўқитувчи, 1982.
11. Сипухин Д.В. Общий курс физики. –Москва. Наука. 1989.
12. Наумов А.И. Физика атомного ядра и элементарных частиц. –Москва, Прогрессиве, 1984.
13. Альфа, бета и гамма-спектроскопия. Пол редакцией К.Зигбана. Вып. 1,2,3,4. Перевод с англ. –Москва. Атомиздат. 1969.
14. Петрик Т.Б. и др. Лабораторный практикум по физике. Т-2. УТИ-УГТУ. – Екатеринбург-2009.
15. Айтеберов И., Грайнер В. Модели ядер коллективные и одиночественные явления. Перевод с англ. канд. ф.-м. наук С.П.Камердинцева и Б.А.Тулупова. –Москва, 1975.
16. Shpol'skiy E. V. Atom fizikasi. I том, –Toshkent, O'qituvchi, 1970.
17. Сиухин Д.В. Общий курс физики. Ч.1. –Москва, Наука, 1986.
18. Teshaboev Q.T. Yadro va elementar zarralar fizikasi. –Toshkent, O'qituvchi, 1992.
19. Bekjontov R., Akmadzhayev B. Atom fizikasi. –Toshkent, O'qituvchi, 1979.
20. Савицкий И.В. Курс общей физики в 4-х томах. Квантовая оптика. Атомная физика. Физика твердого тела. Физика атомного ядра и элементарных частиц. –М.: КниРус 2012. – Т.3. – 368 с.
21. Сиухин Д.В. Общий курс физики. Атомная и ядерная физика. –М.: ФИЗМАТЛИТ, МФТИ. 2006. – Т.5. – 784 с.
22. Трофимова Т.И. Курс физики. –20-е изл., стер. –М.: Академия, 2014. – 560 с.
23. Яворский Б.М., Дегнэр А.Д. Курс физики. –9-е изл., стер. –М.: Академия, 2014. – 720 с.
24. www.pedagog.uz
- www.ziyouz.net
- www.teachmen.ksu.ru
- www.edu.uz

E. N. XUDAYBERDIEV, K.R.NASRIDDINOV,
L. Q. SAMANDAROV

**UMUMIY FIZIKA (ATOM, YADRO VA
ELEMENTAR ZARRALAR.
FIZIKASIDAN LABORATORIYA
ISHLARI**

Muharrir: X. Tahirov

Texnik muharrir: S. Meliquiziyeva

Musahih: M. Yunusova

Sahifalovchi: A. Muhammad

Nashr. lits № 2244. 25.08.2020.

Bosishga ruxsat etildi 02.08.2022.

Bichimi 60x84 1/16. Ofis qog'ozzi. "Times New Roman",
garniturası. Hisob-nashr tabog'i. 11,25.
Adadi 100 dona. Buyurtma № 62.

«ZEBO PRINT» MCHJ bosmaxonasida chop etildi.

Manzil: Toshkent sh., Yashnobod tumani, 22-harbiy shaharcha